

JAIM



ISSN: 1810-4959

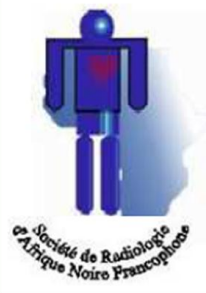
eISSN: 2790-9840

Journal Africain
d'Imagerie Médicale

Résumés des Communications orales Jranf 2022

Table des matières

Résumés.....	82
LISTE DES COMMUNICATIONS	82
CO1 : CLASSIFICATION MOLECULAIRE DES CANCERS DU SEIN DE LA FEMME JEUNE AU TOGO : ETUDE PRELIMINAIRE A PROPOS DE 35 CAS.....	82
CO2 : LE CANCER DU SEIN CHEZ LES FEMMES TOGOLAISES : IMAGERIE ET DONNEES CLINICOPATHOLOGIQUES	82
CO3 : ASPECTS ECHOGRAPHIQUES DES GOITRES THYROÏDIENS A CONAKRY: A PROPOS DE 134 CAS	83
CO4 : CORRELATION ECHO-CYTOLOGIQUE DES NODULES THYROÏDIENS A PROPOS DE 24 CAS	84
CO5 : ETUDIER LES ASPECTS TOMODENSITOMETRIQUES DES SINUSITES DANS LE SERVICE D'ORL ET CCF DU CENTRE HOSPITALIER UNIVERSITAIRE DEPARTEMENTAL BORGOU- ALIBORI (CHUD-B/A).....	84
CO6 : APPORT DU SCANNER THORACO-ABDOMINO-PELVIEN DANS LE BILAN D'EXTENSION DU CANCER DU SEIN	85
CO7 : LE SCANNER DU ROCHER AU CHU DE BOGODOGO A PROPOS DE 38 CAS.....	85
CO8 : IMAGERIE PRE IMPLANTATION COCHLEAIRE : NOTRE EXPERIENCE A L'HME DE BINGERVILLE	86
CO9 : BIOMETRIE ECHOGRAPHIQUE DE LA THYROÏDE ET PROFIL DOPPLER DE L'ARTERE THYROÏDIENNE SUPERIEURE CHEZ L'ADULTE AU TOGO	86
CO10 : ASPECTS TOMODENSITOMETRIQUES DE LA PNEUMOPATHIE A COVID-19 A PARAKOU	87
CO11 : APPORT DU SCANNER DANS LE DIAGNOSTIC DES LESIONS SEQUELLAIRES PULMONAIRES A COVID 19 A LA POLYCLINIQUE PASTEUR.....	88
CO12 : IMPACT DE LA COVID-19 SUR LA FREQUENTATION DU SERVICE DE RADIOLOGIE DANS UN HOPITAL DE REFERENCE DE LA VILLE DE DOUALA.	89
CO13 : CORRELATION ENTRE LES SEQUELLES PLEUROPULMONAIRES DE LA TUBERCULOSE PULMONAIRE A LA RADIOGRAPHIE DU THORAX ET LES TROUBLES FONCTIONNELS RESPIRATOIRES A LA SPIROMETRIE.....	89
CO14 : ASPECTS TDM DES LESIONS PULMONAIRES LIEES AU COVID-19 PENDANT LES DEUX PREMIERES VAGUES A L'HOPITAL DU MALI.....	90
CO15 : LES HERNIES DIAPHRAGMATIQUES POST-TRAUMATIQUES : A PROPOS DE 12 CAS DANS LE SERVICE DE CHIRURGIE GENERALE DU CENTRE HOSPITALO-UNIVERSITAIRE SYLVANUS OLYMPIO (CHU-SO) DE LOME.....	91



JAIM

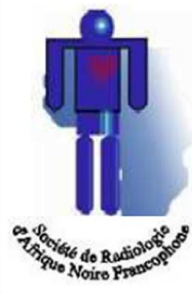


ISSN: 1810-4959

eISSN: 2790-9840

Journal Africain d'Imagerie Médicale

CO16 : VARIANTES ANATOMIQUES DU POLYGONE DE WILLIS EN ANGIOGRAPHIE PAR RESONNANCE MAGNETIQUE A PROPOS DE 120 CAS AU CHNU DE FANN.....	91
CO17 : APPORT DU SCANNER CÉRÉBRAL DANS LE DIAGNOSTIC ÉTIOLOGIQUE DU SYNDROME D'HYPERTENSION INTRA-CRANIENNE A CONAKRY.....	92
CO18 : TITRE : ASPECT TOMODENSITOMETRIQUE DES TRAUMATISMES CRANIO-ENCEPHALIQUES DE L'ENFANT A LA CAISSE NATIONALE DE SECURITE SOCIALE DE CONAKRY.....	93
CO19 : ASPECTS TOMODENSITOMETRIQUES DES CEPHALEES AU CENTRE DIAGNOSTIC DE LA CNSS, CONAKRY.....	93
CO20 : CONTRIBUTION DU SCANNER DANS LE DIAGNOSTIC DES PATHOLOGIES CEREBRALES DE L'ENFANT A BANGUI.....	94
CO21 : ASPECTS TOMODENSITOMETRIQUES DES PATHOLOGIES CEREBRALES NON TRAUMATIQUES A BANGUI.....	94
CO22 : LES ASPECTS TOMODENSITOMETRIQUES DES TRAUMATISMES CRANIO ENCEPHALIQUES A BANGUI	95
CO23IRM MULTIPARAMETRIQUE DE L'HYPOPHYSE : TECHNIQUES ET RESULTATS A PROPOS DE 60 CAS COLLIGES DANS UN SERVICE DE RADIODIAGNOSTIC ET IMAGERIE MEDICALE /ABIDJAN (COTE D'IVOIRE).....	95
CO 23 : IRM multiparamétrique de l'hypophyse : techniques et résultats à propos de 60 cas colligés dans un service de radiodiagnostic et imagerie médical/ Abidjan (côte d'ivoire).....	96
CO24 : HEMATOME SOUS-DURAL AU DECOURS D'UNE RACHIANESTHESIE POUR CESARIENNE A PROPOS D'UN CAS.	96
CO25 : APPORT DE LA TOMODENSITOMETRIE DANS LA PRISE EN CHARGE DES TRAUMATISMES CRANIO ENCEPHALIQUES AU CHU DE YOPOUGON.....	96
CO26 : APPORT DE L'ECHOGRAPHIE DANS LA PRISE EN CHARGE DES URGENCES COVID-19 A LOME.	97
CO27 : RESULTATS ECHOGRAPHIQUES DU BILAN PRE-THERAPEUTIQUE DES INFECTIONS CHRONIQUES PAR LES VIRUS DE L'HEPATITE B ET/OU C AU CHUD-B/A	98
CO28 : BILAN EN IMAGERIE PAR RESONANCE MAGNÉTIQUE DE LA PATHOLOGIE GYNÉCOLOGIQUE A LOMÉ.....	98
CO29 : PLACE DE LA TOMODENSITOMETRIE THORACO-ABDOMINO-PELVIENNE DANS LA PRISE EN CHARGE DES CANCERS DE L'ESTOMAC A BOUAKE	99
CO30 : TELE EXPERTISE MOBILE EN ONCOLOGIE : POINT DE VUE DU RADIOLOGUE AU BURKINA FASO	99
CO31 : TRAITEMENT PERCUTANE PAR MICRO-ONDE DES CARCINOMES HEPATOCELLULAIRES A ABIDJAN : UNE ETUDE PRELIMINAIRE DE 17 CAS.	100
CO32 : BIOPSIE ECHOGUIDEE DANS LE DIAGNOSTIC DES TUMEURS ABDOMINALES AU SERVICE DE RADIOLOGIE DU CHU DE TREICVILLE : A PROPOS DE 62 CAS	100



JAIM

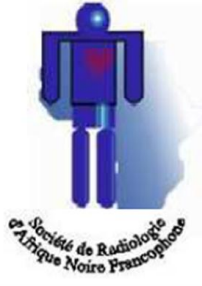


ISSN: 1810-4959

eISSN: 2790-9840

Journal Africain d'Imagerie Médicale

CO33 : IRM DYNAMIQUE DU PLANCHER PELVIEN : FAISABILITE ET RESULTATS	101
CO34 : PANORAMA IRM DES CANCERS DU COL DE L'UTERUS AU CHU D'ANGRE ABIDJAN COTE D'IVOIRE.	101
CO35 : PROFIL IRM DES CANCERS DE L'ENDOMETRE AU CHU D'ANGRE ABIDJAN COTE D'IVOIRE.	102
CO36 : CONTRIBUTION DU SCANNER DANS LE DIAGNOSTIC DES MASSES ABDOMINOPELVIENNES. A PROPOS DE 137 CAS A L'HOPITAL NATIONAL AMIROU BOUBACAR DIALLO (HNABD) DE NIAMEY.....	102
CO37 : PLACE DU CATHETERISME TUBAIRE SELECTIF DANS LA PRISE EN CHARGE DE L'INFERTILITE FEMININE AU TOGO.....	103
CO38 : APPORT DE L'ECHOGRAPHIE ABDOMINOPELVIENNE DANS LE DIAGNOSTIC ETIOLOGIQUE DES DOULEURS DE LA FID CHEZ LA FEMME EN ACTIVITE GENITALE A CONAKRY.....	103
CO39 : INDICES DOPPLER DES ARTERES OMBILICALE ET CEREBRALE MOYENNE FETALE AU COURS D'UNE GROSSESSE NORMALE DANS UNE POPULATION DE FEMMES NOIRES AFRICAINES : UNE ETUDE PILOTE	104
CO40 : APPORT DE L'HYSTEROSALPINGOGRAPHIE DANS LE BILAN DE L'INFERTILITE FEMININE DANS LE SERVICE DE RADIODIAGNOSTIC ET D'IMAGERIE MEDICALE AU CHUDE TRECHVILLE A PROPOS DE 100 CAS	105
CO41 : APPORT DE L'ECHOGRAPHIE DOPPLER OBSTETRICALE DANS LA PRISE EN CHARGE DE LA PREECLAMPSIE AU 3EME TRIMESTRE DE GROSSESSE AU CHU DE BOGODOGO.	105
CO42 : EXPLORATION DE L'INFERTILITE FEMININE PAR L'HYSTEROSALPINGOGRAPHIE AU SERVICE DE RADIOLOGIE DU CHU DE TREICHVILLE : A PROPOS DE 100 CAS.....	106
CO 43 : Apport diagnostique étiologique de l'échographie dans les ictères pathologiques néonataux et leur retentissement cérébral aux centre hospitalier universitaire pédiatrique Charles de Gaulle (CHUP-CDG) ET Hospitalier Universitaire Yalgado Ouédraogo (CHU-YO) : à propos de 57 cas	106
CO44 : PARCOURS DES PATIENTS OPERES POUR UNE URGENCE ABDOMINALE NON TRAUMATIQUE AU CHU SYLVANUS OLYMPIO DE LOME (TOGO).....	107
CO45 : PROFIL EPIDEMIO-ECHOGRAPHIQUE DES LESIONS TRAUMATIQUES ABDOMINALES A MOPTI	107
CO 46 : Tomodensitométrie thoraco-abdomino-pelvienne dans le bilan d'extension des cancers de la tête du pancréas à Lomé au Togo.....	108
CO47 : PROFIL EN IMAGERIE DE LA PATHOLOGIE ABDOMINALE NON TRAUMATIQUE DU SUJET AGE A LOME.....	108
CO48 : IMAGERIE DANS LES CONTUSIONS ABDOMINALES DE L'ADULTE AU CHU SYLVANUS OLYMPIO DE LOME	108



JAIM

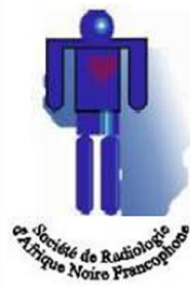


Société Togolaise de Radiologie et Imagerie Médicale
IV^e Journées Togolaises de Radiologie
XVII^e Jranf 2022
Lomé - TOGO
Société de Radiologie d'Afrique Noire Francophone

ISSN: 1810-4959
eISSN: 2790-9840

Journal Africain d'Imagerie Médicale

CO49 : GROSSESSE ABDOMINALE GEMELLAIRE : ENJEUX D'UN DIAGNOSTIC TARDIF EN IMAGERIE.....	109
CO50 : CONTRIBUTION DU SCANNER DANS LE DIAGNOSTIC DES MASSES ABDOMINOPELVIENNES. A propos de 137 cas à l'Hôpital National Amirou Boubacar Diallo (HNABD) de Niamey.	109
CO51 : UTILISATION DE LA MAMMOGRAPHIE DANS LA REGION DU SUD-OUEST DU CAMEROUN : UNE ETUDE MIXTE EXPLICATIVE.	110
CO52 : PROFIL MAMMOGRAPHIQUE DES FEMMES DANS LE SERVICE DE RADIOLOGIE D'UN HOPITAL DE 1E CATEGORIE DE LA VILLE DE DOUALA.	111
CO53 : BILAN ECHO-MAMMOGRAPHIQUE DANS LA PATHOLOGIE MAMMAIRE AU TOGO A PROPOS DE 4703 CAS.	111
CO54 : APPORT ET ACCESSIBILITE DE L'IMAGERIE DANS LA PRISE EN CHARGE DES CANCERS DU SEIN EN MILIEU HOSPITALIER AU BENIN EN 2019.....	112
CO55 : PREVALENCE DES ANOMALIES RADIOLOGIQUES DANS LE CADRE DE LA MAMMOGRAPHIE DU DEPISTAGE INDIVIDUEL DU CANCER DU SEIN A YAOUNDE .	112
CO56 : APPORT DU COUPLE ECHOGRAPHIE-MAMMOGRAPHIE DANS LE DIAGNOSTIC DES PATHOLOGIES MAMMAIRES AU C. I. D « TERIYA » DE BAMAKO.....	113
CO57 : CONTRIBUTION DU SCANNER DANS LE DIAGNOSTIC DES PATHOLOGIES CEREBRALES DE L'ENFANT A BANGUI.....	114
CO58 : SYNDROME DE « BURNOUT » CHEZ LES MEDECINS-RADIOLOGISTES : UNE REALITE EN EVOLUTION	114
CO59 : DEMANDES D'EXAMENS TDM « NON PERTINENTES » : CONSEQUENCE INATTENDUE DE L'ACCES UNIVERSEL AUX SOINS.....	115
CO60 : DIFFICULTES DE FONCTIONNEMENT DES SERVICES DE RADIOLOGIE EN ZONES SEMI-URBAINES ET RURALES : ANALYSE SITUATIONNELLE ET PISTES DE SOLUTIONS.....	115
CO61 : QUALITE DES DEMANDES D'EXAMEN D'IMAGERIE MEDICALE A L'HOPITAL GENERAL DE REFERENCE DE NIAMEY.....	116
CO62 : INFECTIONS OSTEOARTICULAIRES DES MEMBRES AU CENTRE HOSPITALIER NATIONAL D'ENFANTS ALBERT ROYER DE DAKAR : APPORT DE L'ECHOGRAPHIE ET DE LA RADIOGRAPHIE.....	117
CO63 : PROFIL REMNOLOGIQUE DE L'EPAULE DOULOUREUSE NON TRAUMATIQUE A LOME (TOGO)	117
CO64 : APPORT DU BODYSCANNER DANS LES POLYTRAUMATISMES	118
CO65 : BILAN D'ACTIVITE D'UNE IRM 1.5T DANS LA PATHOLOGIE DU GENOU	118
CO66 : PROFIL RADIOGRAPHIQUE ET TOMODENSITOMETRIQUE DES METASTASES VERTEBRALES : CAS DU CHU SYLVANUS OLYMPIO LOME (TOGO)	119



JAIM

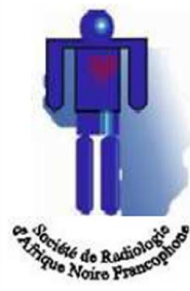


ISSN: 1810-4959

eISSN: 2790-9840

Journal Africain
d'Imagerie Médicale

CO67 : PROFIL IRM DES GONALGIES POST TRAUMATIQUES : NOTRE EXPERIENCE A PROPOS DE 70 CAS.	119
CO68 : ASPECTS TOMODENSITOMETRIQUES DE LA PATHOLOGIE LOMBAIRE CHEZ LE SUJET JEUNE (ETUDE MULTICENTRIQUE)	120
CO69 : LIPOMATOSE EPIDURALE REVELEE PAR UN SYNDROME DE LA QUEUE DE CHEVAL.	120
CO70 : ASPECT IRM DE LA MYELOPATHIE CERVICARTHROSIQUE A L'HOPITAL DU MALI.	121
CO71 : PROFIL TOMODENSITOMETRIQUE DE LA STENOSE DU CANAL LOMBAIRE A LA CAISSE NATIONALE DE SECURITE SOCIAL DE CONAKRY (CNSS).	122
CO72 : ANALYSE SEMI-QUANTITATIVE D'UN «SUPERSCAN» METASTATIQUE OBSERVE SUR UNE SCINTIGRAPHIE OSSEUSE CORPS ENTIER D'UN ADENOCARCINOME PROSTATIQUE AVEC UN SCORE DE GLEASON A 10 (5+5).....	122
CO73 : ASPECTS IRM DES LESIONS DU GENOU DANS LE SERVICE D'IMAGERIE MEDICALE DU CNHU/HKM EN 2022	123
CO74 : APPORT DE L'IRM DANS LE DIAGNOSTIC DES COMPRESSIONS MEDULLAIRES DANS LE SERVICE D'IMAGERIE MEDICALE DU CNHU/HKM EN 2022	124
CO75 : ASPECT IRM DES MYOCARITES : A PROPOS DE 15 CAS COLLIGES A ABIDJAN	124
CO76 : CARTOGRAPHIE VASCULAIRE PAR ECHOGRAPHIE DOPPLER DANS LE CADRE DU BILAN PRE-FAV AU CHNU DE FANN.....	125
CO77 : COMMENT JE FAIS UN PRELEVEMENT VEINEUX PAR CATHETERISME DES SINUS PETREUX INFERIEURS	125
CO78 : PREMIERES EMBOLISATIONS DE FIBROMES UTERINS A DAKAR (SENEGAL) : A PROPOS DE TROIS CAS.....	126
CO 79 : Embolisation prostatique pour hypertrophie bénigne de la prostate (HBP) : Première expérience sénégalaise.....	126
CO80 : APPORT DE L'ANGIO TOMODENSITOMETRIE (TDM) DANS LA PRISE EN CHARGE DEL'ARTERIOPATHIE OBLILATERANTE DES MEMBRES INFERIEURS AU CENTRE HOSPITALIER UNIVERSITAIRE MERE-ENFANT « Le Luxembourg »	126
CO81 : BILAN DE L'ACTIVITÉ DES PRÉLÈVEMENTS PERCUTANÉS GUIDÉS PAR IMAGERIE AU SERVICE DE RADIOLOGIE DU CHU ARISTIDE LE DANTEC : À PROPOS DE 181 CAS	127
CO82 : EMBOLISATION EQUITABLE GRACE AUX FILS DE SUTURE : EST-CE POSSIBLE ?	128
CO83 : TRAITEMENT ENDOVASCULAIRE DE LA VARICOCELE AU SENEGAL.....	128
CO 84 : PROFIL CLINIQUE ET ECHOGRAPHIQUE DES AOMI DANS LE DIABETE DE TYPE 2 AU CHU DE BRAZZAVILLE	129



JAIM

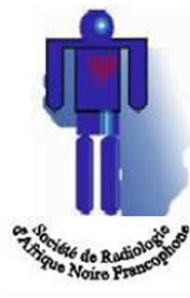


ISSN: 1810-4959

eISSN: 2790-9840

Journal Africain
d'Imagerie Médicale

CO85 : PHLEBITE DE MONDOR POST-COITALE DE LA VERGE A PROPOS D'UN CAS AU CHU DE BRAZZAVILLE	129
CO86 : COROSCANNER DANS LE DIAGNOSTIC DES CARDIOPATHIES ISCHEMIQUES : CAS DE LA POLYCLINIQUE LE CŒUR	130
CO87 : PERFORMANCES DE LA CLASSIFICATION PI-RADS-V2.1 DANS LA DETECTION DU CANCER DE LA PROSTATE CLINIQUEMENT SIGNIFICATIF.	130
CO88 : CARACTERISTIQUES SCANNOGRAPHIQUES DES CARCINOMES RENAUX A CELLULES CLAIRES : A PROPOS DE 26 CAS	131
CO89 : PLACE DE L'UCR DANS LE DIAGNOSTIC DE LA PATHOLOGIE DU BAS APPAREIL URINAIRE AU CHU DE KATI	132
CO90 : TOMODENSITOMETRIE DANS LE DIAGNOSTIC DU SYNDROME OBSTRUCTIF DE L'ARBRE URINAIRE CHEZ L'ADULTE A LOME (TOGO).....	132
CO91 : L'ARCHTHERAPIE VOLUMETRIQUE DANS LES CANCERS DE LA PROSTATE : EXPERIENCE DU CENTRE INTERNATIONAL DE CANCEROLOGIE DE LOME	133
CO92 : ANALYSE SEMI-QUANTITATIVE DES HYPERFIXATIONS METASTATIQUES EN SCINTIGRAPHIE OSSEUSE CORPS ENTIER DANS LE BILAN D'EXTENSION DES ADENOCARCINOMES PROSTATIQUES A HAUT RISQUE DE MALIGNITE : Étude préliminaire sur 10 ans au Sénégal.	134
CO93 : APPORT DE L'IRM DANS L'EXPLORATION DES PATHOLOGIES DE LA PROSTATE : EVALUATION PRELIMINAIRE DANS L'UNITE D'IRM DU CNHU/HKM en 2022	134
CO94 : ETUDE ECHOGRAPHIQUE DE L'INDICE DE PROTRUSION PROSTATIQUE	135
CO95 : EMBOLISATION DES FIBROMES UTERINS : BILAN DE DIX ANNEES D'ACTIVITE EN COTE D'IVOIRE	136
CO96 : ETUDE DE L'EFFICACITE DES PARAVENTS PLOMBES UTILISES DANS LES SERVICES D'IMAGERIE MEDICALE DES CENTRES HOSPITALIERS PUBLICS DE LA REGION MARITIME DU TOGO	136
CO97 : CARACTERISTIQUES SCANNOGRAPHIQUES THORACIQUES DES PATIENTS HOSPITALISES POUR COVID-19 A GOLDEN LIFE AMERICAN HOSPITAL.....	137
CO98 : IMPORTANCE DE L'IMAGERIE CEREBRALE CHEZ LE MIGRAINEUX.....	137
CO99 : INFECTIONS OSTEOARTICULAIRES DES MEMBRES AU CENTRE HOSPITALIER NATIONAL D'ENFANTS ALBERT ROYER DE DAKAR : APPORT DE L'ECHOGRAPHIE ET DE LA RADIOGRAPHIE.....	138
CO100 : ÉVALUATION IRM DES LESIONS MUSCULO-TENDINEUSES TRAUMATIQUES DU SPORTIF PROFESSIONNEL LORS D'UNE COMPETITION DE HAUT NIVEAU : CAS DE LA CAN TOTAL ENERGIES CAMEROUN 2021	138
CO101 : LES VARIATIONS ANATOMIQUES DU POLYGONE DE WILLIS : UN FACTEUR DE RISQUE DE LÉSIONS CÉRÉBRALES CHEZ LE PATIENT DRÉPANOCYTAIRE ?	139



JAIM



Société Togolaise de Radiologie et Imagerie Médicale

IV^e Journées Togolaises de RadiologieXVII^e Jranf 2022

Lomé - TOGO

Société de Radiologie d'Afrique Noire Francophone

ISSN: 1810-4959

eISSN: 2790-9840

Journal Africain
d'Imagerie Médicale

CO102 : PROFIL IRM DES LESIONS MEDULLAIRES NON TRAUMATIQUES À L'HÔPITAL GÉNÉRAL DE YAOUNDÉ (CAMEROUN) : ETUDE PRÉLIMINAIRE À PROPOS DE 20 CAS	140
CO103 : INTERET DE L'ARCTHERAPIE VOLUMETRIQUE AVEC BOOST INTEGRE SIMULTANE DANS LES CANCERS DU COL UTERIN : EXPERIENCE DU SENEGAL.....	141
CO104 : ETUDE COMPARATIVE DES DOSES DELIVREES AUX PATIENTS PEDIATRIQUES PAR RAPPORT A LA DOSE DE REFERENCE, AU SCANNER DE L'HOPITAL DU MALI.....	141
CO105 : ASSOCIATION ENTRE FACTEURS DE RISQUE CARDIOVASCULAIRES ET LA MALADIE CORONARIENNE EVALUEE A L'AIDE DU SCORE CAD-RADS A YAOUNDE	142
CO106 : TUMEUR NEURONALE MULTINODULAIRE ET VACUOLAIRE : A PROPOS DE DEUX CAS AU CNHU-HKM	143
CO107 : RUPTURE TRACHEALE PAR ACCIDENT DE LA VOIE PUBLIQUE : A PROPOS DE 02 CAS AU CNHU-HKM DE COTONOU AU BENIN	144
CO108 : PLACE DU SCANNER ABDOMINAL DANS LES COMPLICATIONS DE LA MALADIE DE CROHN	144
CO109 : VOLUMINEUSE MASSE MEDIASTINALE REVELEE PAR UNE DYSPNEE CHEZ UN ENFANT DE 3 ANS.....	145
CO110 : ETUDE COMPARATIVE DES DOSES DELIVREES AUX PATIENTS PEDIATRIQUES PAR RAPPORT A LA DOSE DE REFERENCE, AU SCANNER DE L'HOPITAL DU MALI.....	145
CO111 : CONTRIBUTION DE L'ECHOGRAPHIE DANS LA PRISE EN CHARGE DES DOULEURS ABDOMINALES DE L'ENFANT. A PROPOS DE 401 CAS.....	146
CO112 : INVAGINATION INTESTINALE AIGUË SUR DIVERTICULE DE MECKEL : A PROPOS D'UN CAS AU CNHU-HKM DE COTONOU	147
CO113 : FIBROMATOSIS COLLI : A PROPOS D'UN CAS AU CNHU-HKM DE COTONOU AU BENIN	147
CO114 : RADIOGRAPHIE DU THORAX EN PÉDIATRIE : JUSTIFICATION ET DOSES D'ENTRÉE À PARAKOU EN 2021.....	148
CO115 : EVALUATION DES CONNAISSANCES DES RESIDENTS EN RADIOLOGIE ET IMAGERIE MEDICALE D'AFRIQUE FRANCOPHONE SUR L'ANNONCE DES RESULTATS DES EXAMENS INDIQUES POUR CANCER	148
CO116 : DYSTROPHIE MUSCULAIRE DE DUCHENNE (DMD). A PROPOS D'UN CAS CHEZ UN GARÇON DE 10 ANS.....	149
CO117 : PRATIQUE DE LA BIOPSIE SCANNOGUIDEE AU CENTRE HOSPITALIER UNIVERSITAIRE MERE-ENFANT "LE LUXEMBOURG"	149
CO118 : APPORT DE L'ECHOGRAPHIE AU DIAGNOSTIC DES DOULEURS ABDOMINALES AIGUES NON TRAUMATIQUES AU CHU DEPARTEMENTAL BORGOU-ALIBORI A PARAKOU (BENIN)	150



The banner features the JAIM logo on the left, a central box with the Togolese Radiology and Medical Imaging Society logo and text, and the journal title 'Journal Africain d'Imagerie Médicale' on the right. The ISSN and eISSN numbers are also displayed.

CO119 : TUMEUR STROMALE GASTRO-INTESTINALE DU CANAL ANAL : RAPPORT DE CAS.	150
CO120 : ASPECTS ECHO-MAMMOGRAPHIQUES ET ANATOMO-PATHOLOGIQUES DU CANCER DU SEIN CHEZ L'HOMME AU TOGO.....	151
CO121 : PROFIL IRM DE L'INFARCTUS MEDULLAIRE A LOME.....	151
CO122 : BILAN TOMODENSITOMETRIQUE DE L'ABDOMEN AIGU NON TRAUMATIQUE CHEZ L'ADULTE A LOME	152
CO123 : BILAN D'ACTIVITES DE L'UNITE D'IRM DE LA POLYCLINIQUE INTERNATIONALE SAINT JOSEPH DE LOME (TOGO).....	152
CO124 : PLACE DE L'ECHOGRAPHIE DANS LE DIAGNOSTIC DES DOULEURS ABDOMINALES AIGUES ET CHRONIQUES DE L'ENFANT A PROPOS DE DE 185 CAS A LA CNSS DE CONAKRY.	153
CO125 : PROFIL IRM DES TUMEURS DE LA FOSSE POSTERIEURE DE L'ENFANT A LOME.	153
CO126 : PROFIL DES RESULTATS DES EXAMENS RADIOGRAPHIQUES STANDARDS ABANDONNÉS PAR LES PATIENTS AU SERVICE DE RADIOLOGIE ET D'IMAGERIE MEDICALE EN 2019 AU CHU-SO (TOGO)	154
CO127 : PANORAMA DES EXAMENS RADIOLOGIQUES DE GARDE : CAS DU SERVICE DE RADIOLOGIE ET IMAGERIE MEDICALE AU CHU SYLVANUS OLYMPIO DE LOME (TOGO).....	154



Résumés

LISTE DES COMMUNICATIONS

CO1 : CLASSIFICATION MOLECULAIRE DES CANCERS DU SEIN DE LA FEMME JEUNE AU TOGO : ETUDE PRELIMINAIRE A PROPOS DE 35 CAS

Auteurs : DJIWA Toukilnan
E-mail : constantdjiwa@gmail.com
Pays : Togo

Objectif : L'objectif de cette étude était de contribuer à l'amélioration de la prise en charge du cancer du sein de la femme jeune au Togo, en établissant la classification moléculaire de ces cancers.

Méthodologie : il s'est agi d'une étude rétrospective descriptive et analytique sur 10 ans, allant du 1er janvier 2010 au 31 décembre 2020. La collecte des données a été faite à partir du registre du laboratoire d'anatomie pathologique du Centre Hospitalier Universitaire Sylvanus Olympio de Lomé. Le volet technique de l'examen immunohistochimique a été réalisé au sein du laboratoire d'anatomie pathologique du Centre Hospitalier Universitaire de Cocody à Abidjan.

Résultats : 35 cas de cancers du sein ont été recensés chez les femmes de moins de 40 ans. La moyenne d'âge était de 35,4±3,5 ans avec des extrêmes de 27 ans et 39 ans. Le sein droit était touché dans 18 cas (51,43%) et le sein gauche dans 17 cas (48,57%). Le diagnostic a été posé sur des biopsies dans 11 cas (31,43%) et sur des pièces opératoires dans 24 cas (68,57%). Au plan histologique, il s'agissait de 30 cas (85,72%) de carcinomes invasifs de type non spécifique, de 2 cas (5,71%) de carcinomes lobulaires et de carcinomes papillaires chacun, et d'un cas (2,86%) de carcinome tubuleux. On a retrouvé 6 cas (17,1%) de grade I, 25 cas (71,4%) de grade II et 4 cas (11,4%) de grade III.

Les explorations moléculaires ont montré 20 cas (57,1%) de sous type triple négatif, de 6 cas (17,1%) de sous type Luminal B, de 05 cas (14,3%) de sous type HER2 enrichie et de 4 cas (11,4%) de sous type

Luminal A. Il existait une corrélation statistiquement significative entre le sous type moléculaire et le type histologique de cancers (P-value= 4,88.10-16).

Conclusion : le cancer du sein de la femme jeune longtemps sous-estimé demeure un problème quotidien chez la femme jeune togolaise. Au plan moléculaire, ces tumeurs expriment très faiblement les récepteurs hormonaux, avec prédominance du sous type triple négatif.

Mots clés : cancer, sein, femme jeune, immunohistochimie, Togo.

CO2 : LE CANCER DU SEIN CHEZ LES FEMMES TOGOLAISES : IMAGERIE ET DONNEES CLINICOPATHOLOGIQUES

Auteurs : DJIWA Toukilnan
E-mail : constantdjiwa@gmail.com
 Laboratoire d'Anatomie et Cytologie Pathologiques du Centre Hospitalier Universitaire de Lomé-Togo

Introduction : Le cancer du sein est le cancer le plus fréquent chez la femme, et l'on s'attend à ce que son incidence et son taux de mortalité augmentent considérablement au cours des prochaines années. Le but de cette étude était de décrire les caractéristiques épidémiologiques, cliniques, radiologiques, histopathologiques et pronostiques du cancer du sein au Togo.

Méthodologie : il s'est agi d'une étude rétrospective, transversale sur tous les cas de cancers du sein chez les femmes togolaises, sur une période de 20 ans (2000-2019). Les données ont été recueillies à partir des registres du laboratoire d'anatomie pathologique du CHU Sylvanus Olympio de Lomé. Les données recueillies concernaient des données sociodémographiques (fréquence, âge, localisation, statut matrimonial, antécédents familiaux de cancers, circonstances de découverte) et des données anatomopathologiques (nature du prélèvement,



groupe histologique, type histologique, grade de Nottingham, stade pTNM, profil moléculaire et existence de mutations des gènes BRCA2 et BRCA1).

Résultats : Nous avons recueilli 804 cas de cancer du sein chez la femme. L'âge médian était de 46,7 ans (12-86 ans). Les patientes âgées de moins de 40 ans représentaient 48,38 % des cas, et le sein gauche était plus touché (51,24 %). La plupart des femmes étaient sexuellement actives (71,52 %) et résidaient en milieu urbain (66,29 %). Les carcinomes représentaient le groupe histologique prédominant (796 cas, 99,00 %) avec une prédominance des carcinomes invasifs de type non spécifique (92,34 %). Ces cancers étaient de grade III selon la classification de Nottingham (55,10%). La classification TNM a montré une prédominance des grades T2NxMx (72,45%) et T4N1Mx (17,76%). Le profil luminal B (40,85%) a été retrouvé majoritairement, et la mutation des gènes BRCA2 et BRCA1 a été trouvée dans 2,61% des cas.

Conclusion : Le cancer du sein est une pathologie fréquente chez la femme togolaise, prédominante chez les jeunes adultes, souvent diagnostiquée à un stade tardif avec des possibilités de traitement limitées. La mise en place de programmes de prise en charge précoce est indispensable.

Mots-clés : Cancer du sein, femme, carcinome, Togo, Afrique sub-saharienne.

CO3 : ASPECTS ECHOGRAPHIQUES DES GOITRES THYROÏDIENS A CONAKRY: A PROPOS DE 134 CAS

BAH OA1, 2,3, DIALLO M 1, BALDE AA 1,3, DIALLO MM3, SONHAYE L4, BALDE NM1,5

(1) Faculté des Sciences et Techniques de la Santé (FSTS), Université GAN de Conakry, Guinée.

(2) Centre d'Imagerie de Référence des Armées (CIRA) Conakry Guinée

(3) Centre de Diagnostic de la Caisse Nationale de Sécurité (CNSS) Conakry-Guinée.

(4) Service de Radiologie CHU Campus, Université de Lomé-Togo

(5) Service de Diabéto-Endocrinologie Maladie Métaboliques et Nutrition HN Donka CHU de Conakry Guinée

Correspondant :

Dr Ousmane Aminata BAH

Maitre-Assistant Radiologie Imagerie Médicale

Faculté des Sciences et Techniques de la Santé (FSTS), UGAN Conakry Guinée

Centre d'Imagerie de Référence des Armées (CIRA) Conakry Guinée.

Centre de Diagnostic de la Caisse Nationale de Sécurité Sociale (CNSS) Conakry

E. mail oabah81@gmail.com ; Tel (00224) 627 606095

BP: 1000 Conakry, République de Guinée

No ORDIC 000000021447662

RESUME

Objectif : Décrire le profil sociodémographique des patients et les aspects échographiques des goitres thyroïdiens au centre de diagnostic de la Caisse Nationale de Sécurité Sociale (CNSS) de Conakry.

Méthodes : Il s'est agi d'une étude transversale, descriptive portant sur les examens échographiques des goitres thyroïdiens réalisés du 1er août 2019 au 31 Juillet 2020 au centre de diagnostic de la Caisse Nationale Sécurité Sociale de Conakry. Les variables d'études étaient sociodémographiques (âge, sexe et provenance) ; échographiques (indication, aspect des goitres) et biologique (bilan hormonal thyroïdien, CRP et VS).

Résultats. L'âge moyen des patients était 42 ans avec des extrêmes 8 et 72 ans. Le sexe féminin a été le plus représenté avec un sex-ratio de 7/1. La majorité des patients provenaient de Conakry soit 63,43% (n=85). Au total 171 échographies thyroïdiennes ont été réalisées dont 134 goitres soit 78,36 %.

Parmi les 77 patients qui avaient réalisés le bilan hormonal thyroïdien, 42 (54,54%) étaient en euthyroïdie, 29 (37,66 %) en hyperthyroïdie et 6 (7,79%) en hypothyroïdie. Le goitre multi nodulaire était le plus fréquent avec 58 cas soit 43,28 % suivi du goitre diffus, 36 cas soit 26,87%. La thyroïdite 8 cas soit 5,97% et la maladie de Basedow 6 cas soit 4,47% étaient rares.

Conclusion L'échographie reste utile pour la précision diagnostique des goitres thyroïdiens et doit être intégrée dans les algorithmes de diagnostic et de prise en charge. La couche féminine était la plus



représentée. Le goitre multi nodulaire a été le plus fréquent et représentait la majorité des patients en hyperthyroïdie.

Mots clés : Echographie, Thyroïde, Goitre

CO4 : CORRELATION ECHO-CYTOLOGIQUE DES NODULES THYROÏDIENS A PROPOS DE 24 CAS

GUI-BILE LN1,2, ACKO-OHUI E1,2, KABAS RM1,2, KOUAO JPS2, DIAMBRA LMA2, MEITE M2, DIABATE AS1,2.

1 : UFR Sciences Médicales ; Université Félix Houphouët Boigny

2 : Service de Radiodiagnostic et Imagerie Médicale CHU de Treichville

Auteur correspondant : Pr GUI-BILE Lynda

lynda_gui@yahoo.fr E-mail : lynda_gui@yahoo.fr

Pays : Côte-d'Ivoire

Résumé

Introduction : De nombreuses pathologies thyroïdiennes se révèlent par l'apparition de nodules thyroïdiens avec pour principale hantise la survenue d'un cancer ; Le système TIRADS à l'échographie et la classification Bethesda à la cytologie, permettent de stratifier le risque de malignité. Notre objectif était d'évaluer la corrélation écho-cytologique des nodules thyroïdiens.

Matériels et Méthodes : Il s'agissait d'une étude transversale à visée descriptive et analytique, qui s'est déroulée sur une période de six mois au CHU de Treichville (Abidjan). Ont été inclus les patients adressés pour une cytoponction échoguidée et ayant présenté un nodule classé au moins EU-TIRADS 3.

Résultats : L'âge moyen était de 53,3 ans +/- 9,6. La taille moyenne des nodules était de 33,9 mm. Les nodules étaient classés EU-TIRADS 4 dans 50% des cas, EU-TIRADS 3 dans 45,8% des cas et EU-TIRADS 5 dans 4,2% des cas. Dans 75% des cas, ces nodules étaient bénins à la cytologie avec un aspect colloïde et vésiculaire classé C2. Un seul patient a présenté une lésion suspecte de malignité à la cytologie (C5). Une association statistiquement significative avait été retrouvée entre le score EU-TIRADS 5 et la catégorie C3 de Bethesda.

Conclusion : Cette étude a montré une bonne corrélation entre la classification échographique EU-TIRADS et le score cytologique de Bethesda. Ces résultats obtenus sur un faible échantillon seront améliorés par l'harmonisation des pratiques échographiques dans l'utilisation systématique de la classification EU-TIRADS pour la caractérisation des nodules thyroïdiens.

Mots clés : nodule thyroïdien, échographie, EU-TIRADS, Bethesda.

CO5 : ETUDIER LES ASPECTS TOMODENSITOMETRIQUES DES SINUSITES DANS LE SERVICE D'ORL ET CCF DU CENTRE HOSPITALIER UNIVERSITAIRE DEPARTEMENTAL BORGOU- ALIBORI (CHUD-B/A).

Auteurs : KIKI SMHG, AKANNI DMMW, FLATIN MC, BOURAIMA FA, HOUNKPATIN SHR, SAVI de TOVE KM

E-mail : gracekik@yahoo.fr

Pays : Benin

Objectif: Etudier les aspects tomodensitométriques des sinusites dans le service d'ORL et CCF du Centre Hospitalier Universitaire Départemental Borgou-Alibori (CHUD-B/A).

Méthodologie : Étude transversale descriptive à collecte rétrospective réalisée au CHU-B/A de mars 2017 à août 2021. Les patients atteints de sinusite confirmée au scanner et disposant d'un dossier médical complet, ont été inclus.

Résultats : L'âge moyen des 78 patients inclus était de 42,28 ± 14,93 ans. Le sex ratio (H/F) était de 1,29. Les principaux motifs de consultation étaient la rhinorrhée (78,21%), l'obstruction nasale (73,08%) et les céphalées (69,23%). La tomodensitométrie a objectivé une sinusite chronique dans 93,59% des cas et une sinusite aiguë dans 6,41% des cas. Les sinus atteints par ordre de fréquence étaient maxillaires (94,87%), ethmoïdales (61,54%), frontales (35,90%) puis sphénoïdales (29,49%). L'épaississement muqueux polyploïde (42,31%) était l'atteinte muqueuse la plus fréquente. La lyse osseuse était la seule lésion osseuse retrouvée (6,41%). Les principales variantes anatomiques retrouvées étaient



la déviation septale (19,23%), la cellule de Haller (6,41%) et le concha bullosa (6,41%). Une complication à type d'abcès cérébral a été enregistrée chez 3 patients (3,85%).

Conclusion : La sinusite constitue une affection fréquente en ORL et peut survenir à tout âge. Le scanner constitue la technique de référence dans l'exploration des sinusites, dont la forme chronique est la plus fréquente.

Mots clés : Sinusite, scanner, épaissement muqueux, variante anatomique.

CO6 : APPORT DU SCANNER THORACO-ABDOMINO-PELVIER DANS LE BILAN D'EXTENSION DU CANCER DU SEIN

Auteurs : T. SIDIBE, I. BAKO, A. ADAMOU, S. GUIDA

E-mail : sidibetaher@yahoo.fr

Pays : Niger

Objectif : Place du scanner dans le bilan d'extension du cancer de sein au centre national de lutte contre le cancer pour une meilleure prise en charge.

Méthodologie : Étude prospective et rétrospective sur 3 ans 10mois réalisée au centre national de lutte contre le cancer chez 77 patients ayant réalisés un scanner thoraco-abdomino-pelvien.

Résultats : L'âge moyen de notre population est de 49,10 ans

59,74% de métastases à distance au scanner:

39,13% pulmonaire

19,57% hépatique

8,7% osseuse

30% ADP profonde

Conclusion : La fréquence des métastases du cancer de sein est très élevée au Niger. Les localisations secondaires les plus fréquentes sont le poumon, le foie et les os

Mots clés : TDM, cancer, sein, métastases, bilan, extension

CO7 : LE SCANNER DU ROCHER AU CHU DE BOGODOGO A PROPOS DE 38 CAS.

Auteurs : Adjirata KOAMA1, Bénilde Marie-Ange TIEMTORE-KAMBOU1,5, Moussa KADIOGO2, Donald BAYALA1, Issouf Franck SIEBA1, Karim ILBOUDO1, Nina Astrid OUEDRAOGO NDE1,5, Madina NAPON4,5, Moustapha SEREME2,5, Ousséni DIALLO3,5, Rabiou CISSE.3,5

Affiliations : 1 : Service d'imagerie médicale et de radiologie interventionnelle du CHU de BOGODOGO, Burkina Faso. 2 : Service d'Oto-Rhino-Laryngologie et chirurgie cervico-faciale du CHU de BOGODOGO, Burkina Faso. 3 : Service de radiologie, CHU Yalgado Ouédraogo, Burkina Faso. 4 : Service de radiologie, CHU Pédiatrique Charles de Gaulle, Burkina Faso, 5 : Université Joseph Ki Zerbo de Ouagadougou, Burkina Faso.

Correspondant : Dr KOAMA Adjirata. Téléphone : 0022670177667

Email: adjikoama@gmail.com ORCID: 0000 - 0001 - 5626 - 3561

Résumé

Introduction : Le rocher est une région anatomique complexe peu explorée en routine dans notre contexte. Sa pathologie est riche et variée. Le scanner est l'imagerie de première intention.

L'objectif de ce travail était de décrire les pathologies du rocher, rencontrées dans notre pratique.

Matériel et méthode : Il s'est agi d'une étude transversale descriptive menée sur une période de 22 mois de juin 2020 à février 2022 au Centre Hospitalier Universitaire de Bogodogo à Ouagadougou. Nous avons inclus tous les patients qui ont bénéficié d'un scanner des rochers.

Résultats : Nous avons réalisé 38 scanners du rocher sur un total de 6823 scanners réalisés pendant notre période d'étude, soit une proportion de 0,56 %. L'âge moyen des patients était de 30,5 ans avec des extrêmes de 07 jours et de 85 ans. On notait une prédominance masculine avec un sex ratio de 1,92. Les indications du scanner étaient dominées par les traumatismes du rocher dans 63,15%. Ces traumatismes étaient associés à des signes otologiques dans 33,33% des cas et à une paralysie faciale dans 4,16% des cas. On retrouvait des troubles de l'audition dans 18,41 % des cas ; il



s'agissait d'hypoacousie dans 10,52% des cas et de surdit  dans 7,89% des cas. Une otorrh e purulente, des acouph nes, des vertiges, une masse du conduit auditif externe et une malformation de l'oreille  taient retrouv s respectivement dans 10,52% ; 10,52% ; 5,26% ; 7,89% et 2,63% des cas. Le scanner retrouvait une fracture du rocher dans 52,63% des cas ; il s'agissait de fracture longitudinale extra-labyrinthique dans 26,31% des cas, de fracture transversale extra-labyrinthique dans 15,79 % des cas, de fracture longitudinale trans-labyrinthique dans 7,89% des cas et de fracture transversale trans-labyrinthique dans 2,63% des cas. On retrouvait une luxation ossiculaire dans 10,52% des cas et une fracture du canal facial dans 5,26% des cas. Les infections  taient repr sent es par le cholest atome dans 10,52% des cas, l'oto-mastoidite chronique dans 5,26% des cas. Une malformation de l'oreille externe a  t  retrouv e dans 2,63% des cas. Le scanner  tait normal dans 15,79% des cas.

Conclusion : La pathologie du rocher est domin e dans notre contexte par les traumatismes suivis de infections chroniques. Le scanner du rocher permet de diagnostiquer les atteintes ossiculaires et labyrinthiques pourvoyeuses de troubles auditifs.

Mots-cl s : scanner des rochers, fracture, cholest atome, Ouagadougou.

COS : IMAGERIE PRE IMPLANTATION COCHLEAIRE : NOTRE EXPERIENCE A L'HME DE BINGERVILLE

Auteurs : Hou nou Ass bian Corine Marie Olga 1; Tra Bi Zamble Olivier 2; Anoh Tanin Marie Jos e 3; Gui Bil  Linda 4
E-mail : corinas@hotmail.fr
Pays : C te-d'Ivoire

Objectif : Pr ciser la place de l'imagerie dans le bilan pr  implantation cochl aire chez l'enfant

M thodologie : Nous avons r alis  une  tude transversale, r trospective   vis e descriptive de janvier 2020   d cembre 2021 en collaboration avec le service d'ORL   l'h pital m re enfant de Bingerville

Appareillage: scanner 16barrettes et IRM 1,5 T avec antenne d di e.

Crit res d'inclusion : bilan pr  implantation/ TDM et IRM syst matiques.

R sultats : La population  tait de 58 enfants  g s de 2ans 5mois   10 ans avec une moyenne d' ge de 4ans et 4 mois et une pr dominance masculine. L'imagerie avait observ  chez 17% des enfants des contre-indications majeures domin es par les anomalies malformatives; ils  taient d clar s inaptes   l'implantation. Les enfants jug s aptes et qui avaient effectivement b n fici s de l'implantation repr sentaient 58,62% de la population cible avec un taux de r ussite satisfaisant de 97,14%.

Conclusion : L'implantation cochl aire d sormais disponible en Afrique sub saharienne est conditionn e en par une analyse morphologique pr cise du rocher et des voies auditives au scanner et   l'IRM. Le co t  lev  demeure un frein   l'accessibilit    cette technologie.

Mots cl s : Implantation cochl aire, IRM et Scanner, enfant.

CO9 : BIOMETRIE ECHOGRAPHIQUE DE LA THYRO DE ET PROFIL DOPPLER DE L'ARTERE THYRO DIENNE SUPERIEURE CHEZ L'ADULTE AU TOGO

Dosseh D. Fafa, PihouGbande, TchaouMazamaesso, LantamSonhaye, Lama-KegdigomaAgoda-Koussema, Komlanvi Adjenou.
 Facult  des Sciences de la Sant / Universit  de Lom  (Togo)
Mail : cinafa2@gmail.com

Introduction : l' valuation du volume thyro dien est importante dans le diagnostic, la prise en charge et la surveillance des pathologies thyro diennes. L' chographie Doppler permet l' tude de la vascularisation thyro dienne qui a un int r t au stade pr coce des thyrotoxicoses et dans leur diagnostic diff rentiel. Notre  tude avait pour but d' tablir la biom trie thyro dienne et le profil Doppler normal de l'art re thyro de sup rieure au Togo.



Méthodes : étude prospective et descriptive couvrant une période de 6 mois allant de Mai 2021 à Novembre 2021 qui consistait à réaliser une échographie thyroïdienne en mode B et Doppler chez tout patient venu en consultation pour une échographie autre que thyroïdienne.

Résultats : nous avons réalisé une échographie thyroïdienne à 75 patients dont 10 présentaient une anomalie focale de structure les excluant de l'étude. Nous avons noté une prédominance féminine (70,77 %) dans notre étude avec un sexe ratio H/F de 0,41. La tranche d'âge de 25 à 35 ans était la plus représentée avec une fréquence de 30,8 %. La valeur moyenne du volume thyroïdien total était de $10,27 \pm 3,27$ mm pour l'homme et de $8,14 \pm 2,74$ mm chez la femme. Plus de la moitié de notre population d'étude avait un volume thyroïdien global de $9,67 \pm 3,09$ ml. Il augmentait avec le poids et la taille. La valeur de la vélocité systolique maximale de l'artère thyroïdienne supérieure était de $22 \pm 9,3$ cm/s à droite et $22,1 \pm 9,6$ cm/s à gauche. Quant à l'index de résistance, sa valeur était de $0,6 \pm 0,10$ à droite et $0,57 \pm 0,10$ à gauche. Nous avons trouvé un lien significatif entre l'index de résistance gauche et le sexe masculin.

Conclusion : cette étude constitue une base indicative qui pourrait servir de référence pour la réalisation future d'études sur un échantillon plus important, avec un recrutement multicentrique et un dosage préalable des hormones thyroïdiennes.

Mots clés : échographie Doppler, thyroïde, biométrie, Lomé

CO10 : ASPECTS TOMODENSITOMETRIQUES DE LA PNEUMOPATHIE A COVID-19 A PARAKOU

AKANNI Djivèdé*1, ADJADOHOUN Sonia2, KIKI Miralda1, AHISSOU Espérant1, SAVI de TOVE Kofi-Mensa1, BIAOU Olivier 2, BOCO Vicentia2
Faculté de Médecine, Université de Parakou
Faculté des Sciences de la Santé, Université d'Abomey Calavi

*Auteur Correspondant : Akanni Djivèdé, Médecin radiologue, djivakanni@yahoo.fr

RESUME

Objectifs : Étudier les lésions de tomomodensitométries de la pneumopathie à COVID-19 à Parakou de 2020 à 2021.

Méthodes : Il s'agissait d'une étude transversale descriptive et analytique effectuée du 31 mars 2020 janvier au 31 mai 2021. Tous les patients suspects d'une pneumopathie à COVID-19 et chez qui un scanner thoracique a été réalisé ont été inclus. Les lésions tomomodensitométriques, et les indicateurs de performance du scanner thoracique ont été étudiés.

Résultats : Au total 53 patients ont été inclus. L'âge médian était de $57 \pm 19,01$ ans. La sex-ratio (H/F) était de 2,31. Le scanner thoracique était normal chez trois patients (5,66 %), évocateur de la pneumopathie à COVID-19 chez 41 patients (77,35 %) et non évocateur chez neuf patients (16,98 %). Les lésions évocatrices étaient les opacités en verre dépoli (84%) sous pleurales (57,78%) avec une prédominance postérieure (77,78%). La dilatation vasculaire, le signe du halo et du halo inversé étaient présentes respectivement dans 31,11%, 25%, et 6,82%. Elles étaient associées au crazy paving (69,81%) de siège sous pleurale (67,57%) et à prédominance postérieure (75,58%) et aux condensations (66,04%) sous pleurale (52,94%). Le grade de sévérité étendu était le plus fréquent (25,56%). Les signes atypiques et les anomalies cardiovasculaires étaient retrouvés respectivement dans 49,05% et 7,14% des cas. La sensibilité de la TDM était de 97,5% et sa VPP de 75%. Il existait une corrélation radio-clinique de la sévérité des atteintes ($p=0,001$).

Conclusion : Le scanner thoracique constitue un outil diagnostique et pronostic performant dans la prise en charge de la pneumopathie à COVID-19 à Parakou.

Mots clés : Pneumopathie à COVID-19, scanner thoracique, Parakou



CO11 : APPORT DU SCANNER DANS LE DIAGNOSTIC DES LÉSIONS SÉQUELLAIRES PULMONAIRES A COVID 19 A LA POLYCLINIQUE PASTEUR.

Auteurs : Camara Mamoudou^{1*}, Koné Abdoulaye Chomba¹, TOURE Cheick Oumar², Koné Youssouf³, Konaté Moussa¹, Cissé Issa², Mariko Mahamane², Sidibé Siaka¹.

E-mail : camaramamoudou97@gmail.com

Pays : Guinée

Objectif : déterminer la fréquence des lésions séquellaires pulmonaires à covid19 au scanner à la polyclinique Pasteur de Bamako et décrire les aspects scanographiques des lésions séquellaires pulmonaires à covid19.

Méthodologie : Il s'agit d'une étude prospective, descriptive, transversale portant sur les patients ayant réalisés un scanner thoracique initial et de contrôle à 06 mois après la guérison dans le service d'Imagerie médicale de la clinique Pasteur pendant la période d'étude de 12 mois de janvier 2021 à décembre 2021.

Résultats : Pendant la période d'étude, nous avons noté 48,2% de survenue des lésions séquellaires pulmonaires à Covid 19. La tranche d'âge de 40 à 60 ans était la plus représentée soit 51,7%, avec une moyenne de 47ans. On a noté un sex-ratio de 2,2 en faveur des hommes. 72,4% de nos patients avaient un facteur dominant de comorbidité avec le diabète dans 32,7%. La toux était le signe clinique le plus retrouvé soit 67,2%. Nous avons remarqué que 31,03% de nos patients ayant la toux ont développé des séquelles pulmonaires post traitement Covid 19. 50% de nos patients avec séquelle pulmonaire post traitement Covid 19 faisaient de la fièvre à l'admission. Le signe TDM initiale le plus retrouvé dans notre étude était les opacités en verre dépoli soit 62%. La fibrose pulmonaire a été retrouvée comme séquelle pulmonaire post traitement Covid 19 la plus représentée soit 35,7% suivie des HTAP avec 17,8% des cas. La tranche d'âge de 40-60 ans ont plus développés les lésions séquellaires à Covid 19 13cas. Nous avons noté une relation entre l'âge de nos patients et les séquelles post Covid 19 avec une prédominance de la tranche d'âge de 40-60 ans (13patients) ayant développés les lésions séquellaires à Covid 19. Nous avons noté une relation entre

l'existence des signes cliniques à l'admission et l'apparition des séquelles, sur 10 patients admis avec des signes cliniques, 7 ont présenté des fibroses pulmonaires à la TDM post-thérapeutique. Nous avons noté une relation entre les anomalies TDM initiales et les types de séquelles post Covid 19 observées, sur 10 TDM initiales ayant présenté des lésions pulmonaires en verre dépoli, 6 ont présenté sur la TDM de contrôle des lésions séquellaires à type de fibrose pulmonaire. Nous avons noté une relation entre l'apparition des séquelles thoraciques de Covid19 et la dyspnée des patients à l'admission, sur 10 patients admis avec dyspnée, 8 ont développés la fibrose pulmonaire. On a noté une relation entre le résultat TDM initiale et les séquelles post-Covid19 à la TDM, sur 10 patients présentant des signes TDM post thérapeutiques de fibrose, 6 patients présentaient des signes TDM initiales de verre dépoli. Au cours de notre étude, les 10 patients ayant présentés des séquelles de fibrose pulmonaire, 6 parmi eux étaient admis avec la notion de fièvre. Au cours de notre étude, sur les 10 patients présentant des séquelles pulmonaires à Covid 19 de fibrose, 6 patients parmi eux présentaient des toux à l'admission. Nous avons noté une légère relation entre les douleurs abdominales et les séquelles thoraciques post-Covid-19, seuls 2 patients ayant présentés des séquelles pulmonaires à type de nodules calcifiés ont présenté des douleurs abdominales à l'admission. On a noté une relation entre le SDRA à l'admission et l'apparition des lésions séquellaires à Covid 19, sur 10 patients admis avec le SDRA, 6 patients ont développé la fibrose pulmonaire post thérapeutique à Covid 19. Nous avons noté une relation entre l'AEG de nos patients et l'apparition des séquelles pulmonaires post thérapeutiques, sur 10 patients admis avec l'altération de l'état général, 5 patients ont présenté des séquelles pulmonaires à type de fibrose pulmonaire.

Conclusion : La pneumonie à Covid-19 est une nouvelle pandémie mondiale dont la présentation clinico-radiologique n'est pas spécifique. La TDM thoracique a une bonne sensibilité pour le diagnostic des lésions séquellaires pulmonaires à COVID-19.

Mots clés : Covid-19, Scanner, lésions séquellaires pulmonaires.



CO12 : IMPACT DE LA COVID-19 SUR LA FREQUENTATION DU SERVICE DE RADIOLOGIE DANS UN HOPITAL DE REFERENCE DE LA VILLE DE DOUALA.

Auteurs : Yannick Onana, Joshua Tambe, Mohamadou Aminou, Jeremie Mbo Amvene, Boniface Moifo, Emile Telesphore Mboudou
E-mail : yannickonana@yahoo.fr
Pays : Cameroun

Objectif : Le but de notre étude était d'évaluer l'impact de la pandémie à COVID-19 sur la fréquentation du service de radiologie d'un hôpital de référence à Douala (Cameroun).

Méthodologie : Il s'est agi d'une étude observationnelle, rétrospective, et descriptive durant la période du 1^{er} mars à 30 août, des 3 années successives (2019, 2020 et 2021), concernant le nombre de patients ayant effectué un examen au service de radiologie (radiologie conventionnelle, échographie, et scanner). La saisie et l'analyse ont été effectuées par EPI Data version 3.1.

Résultats : En 2020, nous observons une baisse du nombre d'échographie en 2020 (25,73%), avec une réelle reprise de l'activité en 2021 (29,39%). Cette réduction concernait surtout les bilans de consultations prénatales (CPN) qui constituent les principales indications de l'échographie. Le nombre de radiographie conventionnelle était en baisse (18,26%), suivi d'une reprise en 2021 (19,94 %). Concernant la fréquentation au scanner en 2020, son augmentation est chiffrée à 55%, notamment aux mois de mai et surtout de juin, ce qui correspond à un délai de 2 mois après de diagnostic du 1^{er} cas confirmé au Cameroun, le 6 mars 2020. Il nous a été difficile de comparer l'activité du scanner en 2021 en raison d'une panne prolongée de l'appareil.

Conclusion : Cette étude nous a permis de relever les effets délétères que cette nouvelle pandémie a eu sur la fréquentation de notre service de radiologie et d'imagerie médicale, et de relever l'impact négatif de cette dernière sur l'offre des soins.

Mots clés : COVID-19, fréquentation, radiologie

CO13 : CORRELATION ENTRE LES SEQUELLES PLEUROPULMONAIRES DE LA TUBERCULOSE PULMONAIRE A LA RADIOGRAPHIE DU THORAX ET LES TROUBLES FONCTIONNELS RESPIRATOIRES A LA SPIROMETRIE

Auteurs : Sylviane Dongmo Fomekong, Jean-Roger Mouliom Tapouh, Francine Kouna Abene, Virginie Poka-Mayap, Eric Walter Pefura-Yone, Boniface Moifo
E-mail : dongfosyl@yahoo.fr
Pays : Cameroun

Objectif : Établir une corrélation entre l'extension radiographique des séquelles pleuro-parenchymateuses de tuberculose pulmonaire et la fonction respiratoire par spirométrie à l'Hôpital Jamot de Yaoundé.

Méthodologie : Une étude transversale analytique incluant des patients ayant été traités pour TP bactériologiquement prouvée et déclarés guéris a été menée à l'Hôpital Jamot de Yaoundé (HJY). Le pourcentage d'extension radiographique des SPP était déterminé après subdivision en zones de chaque champ pulmonaire. La spirométrie a été réalisée selon les normes recommandées par l'ATS (American Thoracic Society) 2005. La recherche d'une corrélation linéaire entre les paramètres ventilatoires et l'extension radiographique des SPP a été effectuée par le coefficient de corrélation r de Pearson ou ρ de Spearman pour chaque paire de variables en fonction de la distribution normale ou non de celles-ci. Une équation de régression linéaire a été établie. Le seuil de significativité choisi était de 5 %.

Résultats : La majorité des 200 patients inclus dans cette étude était de sexe masculin (108 patients soit 54%) avec un ratio H/F de 1,17. L'âge variait de 18 à 83 ans pour une médiane (1^{er}-3^{ème} quartile) de 40 (30-75) ans. A l'analyse radiographique, les lésions étaient prédominantes dans les zones supérieures des champs pulmonaires, soit sur 165 radiographies (82,5 %). Les lésions parenchymateuses observées étaient dominées par les infiltrats interstitiels (73,5%), les atélectasies (avec bandes de fibrose rétractile dans 41,5%) et les lésions cavitaires (16%). Le pourcentage médian (1^{er}-3^{ème} quartile) d'extension



radiographique des SPP était de 10 (1,5-20)%. A l'analyse spirométrique, le trouble ventilatoire à tendance restrictive ou pattern restrictif était le plus observé (108 patients soit 54 %). Cinquante-huit patients (29%) avaient une spirométrie normale. Il existait une corrélation linéaire négative entre le pourcentage d'extension radiographique des SPP et les variables spirométriques notamment le VEMS (rho de Spearman = -0,613), la CVF (rho de Spearman = -0,566) et le rapport VEMS/CVF (rho de Spearman = -0,229). Après analyse uni variée, l'équation de régression linéaire se libellait comme suit : %VEMS prédit = 84,234 - (0,599 x % d'extension radiographique des lésions).

Conclusion : Il existe une corrélation linéaire négative entre le pourcentage d'extension radiographique des SPP de TP et la fonction respiratoire. Des études ultérieures étendues à une plus large population ou de validité de l'équation de régression linéaire restent indiquées.

Mots clés : Tuberculose pulmonaire, Radiographie, Séquelles, Fonction respiratoire, Spirométrie, Corrélation.

CO14 : ASPECTS TDM DES LÉSIONS PULMONAIRES LIÉES AU COVID-19 PENDANT LES DEUX PREMIÈRES VAGUES A L'HOPITAL DU MALI

CAMARA M. A1 TRAORE M.M1 DIARRA H1, TOURE B.M1 SIMPARA S1 NDIAYE M4, TRAORE S3 COULIBALY S5 GUINDO I5 KONE A6 SIDIBE S6

Auteur correspondant : Dr CAMARA Mody Abdoulaye, Radiologiste, CHU Hôpital du Mali. Bamako, république Mali.

Adresse : drmacamara@Yahoo.fr / +22366722580

- 1 Service d'Imagerie Médicale Hôpital du Mali
- 2 Service d'imagerie Médicale CHU du Kati
- 3 Unité d'Imagerie Médicale du CSREF CV
- 4 Hôpital infirmerie de Bamako Unité d'Imagerie Médicale
- 5 Service d'Imagerie Médicale CHU BBS KATI
- 6 Service d'imagerie Médicale de la polyclinique Pasteur

Introduction

En décembre 2019, une nouvelle maladie virale SARS-CoV des voies respiratoires responsables de pneumonie, apparue à Wuhan (Chine). Elle est déclarée pandémie à Covid 19 par l'OMS en Mars 2020, Le diagnostic repose sur le test PCR et la TDM thoracique s'est très rapidement imposé depuis le début de l'épidémie comme un outil diagnostique intéressant avec une sensibilité supérieure à 90%. Nous avons entrepris cette étude dans le but de décrire la sémiologie TDM des lésions pulmonaires liées au covid-19 à l'Hôpital du Mali.

Méthode

Etude prospective et descriptive réalisée dans le service d'Imagerie Médicale de l'Hôpital du Mali. Ont été retenus tous les patients présentant les signes pulmonaires covid-19 dont la confirmation TDM a été obtenue. Nous avons utilisé un scanner Siemens 16 slices.

Résultats

Nous avons colligé 217 cas sur 2520 TDM thoraciques pour la première vague et 331 cas sur 3520 TDM réalisées pour la deuxième vague soit une fréquence de 9,07%. Le sexe masculin représentait 58,8%, avec un âge moyen de 60 ans. La clinique était dominée par la toux et la dyspnée. Les lésions pulmonaires retrouvées étaient de type : verre dépolie, du crazy paving et des condensations. L'évaluation de la gravité étaient : I (14,34%), II (30,62%), III (29,07%), IV (15,12%), V (10,85%). Les lésions associées étaient la pleurésie, cardiomégalie et l'embolie pulmonaires

Conclusion

La maladie à covid-19 est une pandémie grave. Le scanner reste un outil indispensable dans le diagnostic et l'évaluation de la gravité des pulmonaires. Cependant il existe quelques cas de discordance entre les résultats TDM et le PCR.

Mots clés : Lésions pulmonaires - Covid-19 - TDM - Hôpital du Mali



CO15 : LES HERNIES DIAPHRAGMATIQUES POST-TRAUMATIQUES : A PROPOS DE 12 CAS DANS LE SERVICE DE CHIRURGIE GENERALE DU CENTRE HOSPITALO-UNIVERSITAIRE SYLVANUS OLYMPIO (CHU-SO) DE LOME

Auteurs : Lamboni D, Alassani T, Bignandi K, Keheou P, Tchangai B, Dosseh E

E-mail : damsane@yahoo.fr

Pays : Togo

Objectif : Décrire les caractéristiques cliniques, paracliniques et thérapeutiques des hernies diaphragmatiques post-traumatiques au CHU Sylvanus Olympio de Lomé

Méthodologie : étude transversale rétrospective et descriptive sur une période de 05ans des hernies diaphragmatiques prise en charge dans le service de chirurgie générale du centre hospitalo-universitaire Sylvanus Olympio (CHU-SO).

Résultats : 12 cas de hernie diaphragmatique post-traumatique ont été diagnostiqués au cours de la période d'étude. L'âge moyen était de 41,25 +/- 7.75ans avec des extrêmes de 30 à 55ans

On notait une prédominance masculine à 75% avec un Sex-ratio de. Les accidents de la voie publique occupaient le premier rang des circonstances avec 66.67% des cas. Le mécanisme majoritaire était la rupture diaphragmatique suite à une contusion dans 75% des cas. Nous avons noté 33.33% de hernie diaphragmatique diagnostiquée tardivement. Cinquante-huit virgule trente-trois pourcent (58.33%) des patients avaient un état hémodynamique instable à l'admission et ont bénéficiés des mesures de réanimation. Les signes pleuro-pulmonaires étaient présents chez tous les patients, les signes cardio-vasculaires dans 91.67% des cas et les signes digestifs dans 58.33% des cas. Le diagnostic a été posé par le scanner chez 66.67% des patients et par la thoracotomie et laparotomie dans 8.33% des cas chacun. Les lésions associées étaient présentes chez 50% des patients. Onze patients soit 91.67% ont été opérés sous anesthésie générale. La laparotomie était la voie d'abord dans 63.64%, la thoracotomie dans 36.36% des cas. La taille de la brèche diaphragmatique était en moyenne de 13cm avec des extrêmes de 5 à 25 cm et était située en majorité sur

la coupole gauche dans 75% des cas. L'estomac était l'organe le plus fréquemment hernié dans 72.73%. Nous avons noté une nécrose de la grêle chez un seul patient (9.09%). La fermeture de la brèche a été faite par suture simple dans 81.82% des cas et par prothèse dans 18.18%. Le drainage thoracique était systématique chez les 11 patients (100%) opérés. L'évolution était bonne chez 10 patients (90.91%) avec une durée d'hospitalisation moyenne de 9.1 jours. Un patient (9.09%) a présenté une complication post opératoire prolongeant sa durée d'hospitalisation à 40 jours. Un patient (8.33) était décédé avant la chirurgie. Il n'y a pas eu de décès parmi les patients opérés. L'évolution à 6 mois était bonne chez tous les patients opérés.

Conclusion : Une attention particulière doit être portée sur une probable lésion diaphragmatique lors des traumatismes thoraco-abdominaux, surtout dans le cas de plaie pénétrante thoraco-abdominale. La prise en charge est chirurgicale et la voie d'abord est choisie en fonction du stade de diagnostic.

Mots clés : hernie diaphragmatique- traumatisme-chirurgie

CO16 : VARIANTES ANATOMIQUES DU POLYGONE DE WILLIS EN ANGIOGRAPHIE PAR RESONNANCE MAGNETIQUE A PROPOS DE 120 CAS AU CHNU DE FANN

A D DIOP², J C N DIOUF¹, I DIALLO¹, M LY¹, M THIAM¹, K N DIOUF¹, G AKPO¹, N BADJI³, H DEME³, A LY⁴, S BA¹

Service de radiologie et imagerie médicale du CHNU de FANN

Service de radiologie et imagerie médicale de l'hôpital Dalal Jamm

Service de radiologie et imagerie médicale du CHU Aristide Le Dantec Dakar

Service de radiologie et imagerie médicale de l'hôpital Albert Royer

Objectifs :

Déterminer à l'ARM 3D TOF les variantes anatomiques et le diamètre moyen des vaisseaux du polygone de Willis ainsi que leur corrélation avec les données épidémiologiques.



Matériel et méthode : Il s'agissait d'une étude rétrospective, descriptive et analytique sur une période de 4 mois ayant inclus tous les patients reçus pour une IRM cérébrale et chez qui une séquence 3D TOF a été réalisée.

Les paramètres étudiés étaient les données démographiques, les variantes anatomiques du polygone de Willis et les diamètres des vaisseaux du polygone de Willis.

Résultats : L'âge moyen des patients était de 43 ans avec un sexe ratio de 1,06.

Les configurations antérieure et postérieure du polygone de Willis étaient respectivement complètes chez 69 patients (57,5%) et 47 patients (39%).

La partie antérieure du polygone de Willis était complète chez 50% des hommes et 65,5% des femmes ; chez 56% des sujets de moins de 40 ans et 58% chez les sujets âgés de 40 ans et plus.

La partie postérieure du polygone de Willis était complète chez 43,5% des hommes et 34% des femmes ; chez 47% des sujets de moins de 40 ans et 34% des sujets de plus de 40 ans.

Le polygone de Willis était complet chez 31 patients soit 26%. Il était complet chez 27% des hommes et 24% des femmes ; chez 31% des sujets de moins de 40 ans et 25% des sujets de plus de 40 ans.

Le diamètre moyen des artères carotides internes présentait des différences significatives en fonction du sexe. Les diamètres moyens des artères cérébrales postérieures et des artères communicantes postérieures présentaient des différences significatives en fonction de l'âge.

Conclusion : Les variations morphologiques du polygone de Willis sont communes à l'âge et au sexe. Certains diamètres des vaisseaux du polygone de Willis présentent des différences significatives en fonction de l'âge ou du sexe.

Mots clés : ARM 3D TOF, Polygone de Willis, Variante anatomique, diamètre

CO17 : APPORT DU SCANNER CÉRÉBRAL DANS LE DIAGNOSTIC ÉTIOLOGIQUE DU SYNDROME D'HYPERTENSION INTRACRANIENNE A CONAKRY.

Auteurs : Alpha Abdoulaye BALDE*, Ousmane Aminata BAH, Ibrahima Sory SQUARE, Thierno Souleymane DIALLO, Mamadou Diallo, Housseine ChALLOUB.

E-mail : aabalde90@gmail.com

Pays : Guinée

Objectif : Etudier l'apport du scanner cérébral dans le diagnostic étiologique du syndrome d'hypertension intracrânienne.

Méthodologie : L'étude s'est déroulée au service d'imagerie médicale du centre de diagnostic de la caisse nationale de sécurité sociale (CNSS) de Conakry. Il s'agissait d'une étude prospective transversale d'une durée de six (06) mois allant du 11 décembre 2017 au 11 juin 2018. Étaient concernés par l'étude, tous les patients admis dans le centre pour un scanner cérébral et présentant au moins deux (2) signes cliniques et/ou scanographiques du syndrome d'hypertension intracrânienne. Le scanner utilisé était de marque Toshiba Alexion 16 barettes Advanced version 2016.

Résultats : 440 cas ont répondu à nos critères d'inclusion. Nous avons noté une prédominance masculine (51,36%) avec un sex ratio de 1,05. L'âge moyen était de $39,99 \pm 21,50$ ans avec des extrêmes de 03 jours et 97 ans. Les céphalées ont constitué le principal signe clinique avec 79,55%. Le scanner cérébral a déterminé 6 entités pathologiques : les AVC (27,95%), les lésions traumatiques (17,95%), les hydrocéphalies (8,18%), les tumeurs cérébrales (6,14%), les lésions infectieuses (2,95%) et les lésions malformatives (0,68%). Le scanner était normal chez 27,05% de nos patients. Le syndrome de masse (48,86%) était le signe scanographique le plus observé suivi du syndrome de dilatation ventriculaire (8,18%).

Conclusion : La TDM permet de confirmer l'HTIC et d'en déterminer la cause. Néanmoins, la clinique doit guider ses indications pour une bonne justification d'examen.

Mots clés : HTIC, scanner cérébral, lésions cérébrales.



**CO18 : TITRE : ASPECT
TOMODENSITOMETRIQUE DES
TRAUMATISMES CRANIO-
ENCEPHALIQUES DE L'ENFANT A LA
CAISSE NATIONALE DE SECURITE
SOCIALE DE CONAKRY.**

Auteur : BALDE Hamidou, DOUMBOUYA IS, SACKHO A, DIALLO AI, BALDE AA AGODAKOUSSEMA.

Affiliation: Faculté des Sciences de la Santé de Conakry;

Hôpital: CHU Ignace DEEN

Contacts: marioury13@gmail.com; tel : 00224610015007

RESUME

Introduction : les traumatismes crâniencéphaliques de l'enfant sont fréquents. Ils représentent, un réel problème de santé publique. L'objectif général était d'étudier l'apport de la tomodensitométrie dans le bilan lésionnel des traumatismes crâniencéphaliques de l'enfant à l'unité de radiologie de la caisse nationale de sécurité sociale de Conakry.

Méthodologie : il s'agissait d'une étude transversale menée sur une période de six (6) mois allant du 1er octobre 2020 au 31 mars 2021 portant sur 115 cas de TCE de l'enfant au centre de diagnostic de la CNSS de Conakry. L'étude concernait tous les patients âgés de 0 à 17ans ayant bénéficié une TDM cérébrale, à la suite d'un TCE. Les examens étaient réalisés avec un TDM 16 barrettes TOSHIBA sans injection de produit de contraste. Les variables étudiées étaient: les données sociodémographiques, les circonstances de survenu du traumatisme, le score de Glasgow et les résultats tomodensitométriques. Résultats : parmi les 4585 examens tomodensitométriques réalisés, 115 TDM cérébrales étaient pour TCE de l'enfant soit une prévalence de 2,5%. L'âge moyen de nos patients était 10,4 ans avec des extrêmes de 1 mois à 17 ans. On notait une prédominance masculine avec un sex-ratio de 3,26. Les accidents de la voie publique représentaient 68% des étiologies. Le résultat du scanner était normal dans 40% des cas. Les principales lésions plus rencontrées au scanner étaient dominées par les lésions osseuses crâniennes (53,43%). Les lésions associées étaient faites de 20%

de fractures maxillo-faciales et 2% de lésions du rachis cervical.

Conclusion : Les traumatismes crâniens de l'enfant sont relativement fréquents en Guinée. Le scanner cérébral est un outil performant pour le bilan lésionnel des traumatismes crâniencéphaliques.

Mots clés : TDM cérébral, TCE, enfant, CNSS, Conakry

**CO19 : ASPECTS
TOMODENSITOMETRIQUES DES
CEPHALEES AU CENTRE DIAGNOSTIC DE
LA CNSS, CONAKRY**

Auteurs : Sakho A., Doumbouya I.S., Baldé H., Diallo A.I., Bah O. Agoda-Koussema L.K.

E-mail : aminatasakho91@gmail.com

Pays : Guinée

Objectif : Le but de ce travail était de déterminer les causes des céphalées et leurs aspects à la tomodensitométrie. (TDM).

Méthodologie : Nous avons réalisé une étude descriptive transversale sur une période de 6 mois allant du 15 janvier au 15 juin 2020 dans le centre de radiodiagnostic et d'imagerie médicale de la Caisse Nationale de Sécurité Sociale de Conakry.

Ont été inclus les patients ayant bénéficié d'une tomodensitométrie cérébrale pour des céphalées. Les autres indications de la TDM cérébrale étaient exclues.

Résultats : Pendant la période d'étude, 1350 TDM cérébrales ont été réalisées dont 150 (11,1%) pour des céphalées.

L'examen tomodensitométrique était normal dans 55,3% (n=83), soit dans 73,4% (n=61) des céphalées chroniques et dans 26,5% (22) des céphalées récentes. Les aspects tomodensitométriques étaient représentés par les Lésions vasculaires 14,6% (n=22) ; lésions traumatiques 11,3% (n=17) ; lésions sinusiennes 9,3% (n=14), lésions infectieuses 3,3% (n=5) et autres 6 % (n=9) (leucopathies vasculaires et atrophie cortico-sous corticale).



Conclusion : Il ressort de cette étude que la TDM retrouve 44,7% des causes de céphalées, cependant un bon examen clinique doit justifier ces indications en tenant compte du coup et des irradiations qui en résultent. Une étude ultérieure sur l'indication de l'imagerie pour le diagnostic d'une céphalée diminuerait ce taux de 55,3 % de TDM normale.

Mots clés : Céphalées, TDM, cérébrale.

CO20 : CONTRIBUTION DU SCANNER DANS LE DIAGNOSTIC DES PATHOLOGIES CÉRÉBRALES DE L'ENFANT A BANGUI

Auteurs : Kouandongui Bangué Songrou F, Mobima T, Sombot Soule Y, Tambala B, Guiba Kette J.
E-mail : fkouando@gmail.com
Pays : Centrafrique

Objectif : décrire les pathologies cérébrales rencontrées chez l'enfant à Bangui à l'aide du scanner. Méthodologie : étude transversale réalisée au Centre National d'Imagerie de Bangui, centre de référence de la Centrafrique. Elle a concerné tous les sujets de 0 à 16 ans, ayant réalisé des scanners crano encéphaliques entre le 1er mars 2021 et le 28 février 2022. L'examen était réalisé avec un scanner de marque HITACHI SUPRIA 16 barrettes. Résultats : 51 scanners cérébraux ont été réalisés sur un ensemble de 64 scanner chez l'enfant soit une fréquence de 79,7%. L'âge moyen était de 10,7 ans (extrêmes 2 -16 ans). Les patients de 10 à 14 ans étaient les plus représentés (60,8%). Le sexe masculin prédominait avec 56,9%. Les principales indications étaient la recherche d'un processus expansif (29,4%) suivies de traumatisme crano encéphalique (23,5%). Dans 76,5% des cas l'examen a été réalisé avec une injection du produit de contraste. La prémédication a été réalisée dans 15,7% des cas. L'examen scannographique était pathologique dans 60,8% dans cas. Ces pathologies étaient représentées par des lésions post traumatiques (29,3%) dont les hématomes intra parenchymateux (7,8%), les hématomes extra duraux (5,9%), les hématomes sous duraux, les contusions hémorragiques, les fractures de la voute du crâne et les corps étrangers intra cérébraux, chacune de ces lésions représentées à hauteur de 3,9%. Les hydrocéphalies non communicantes étaient représentées à 19,6%. Les

autres anomalies observées étaient des malformations de la fosse postérieure (9,8%), les tumeurs cérébrales (5,9%) et des cavités porencéphaliques (5,9%). Conclusion : le scanner cérébral est très contributif dans l'exploration des pathologies cérébrales de l'enfant à Bangui

Mots clés : scanner cérébral, enfant, Bangui

CO21 : ASPECTS TOMODENSITOMETRIQUES DES PATHOLOGIES CÉRÉBRALES NON TRAUMATIQUES A BANGUI

Auteurs : Timothée MOBIMA; Francky KOUANDONGUI BANGUE SONGROU
E-mail : docmobima5@gmail.com
Pays : Centrafrique

Objectif : Décrire le profil épidémiologique et tomographique (TDM) des pathologies cérébrales non traumatiques à Bangui.

Méthodologie : Il s'agissait d'une étude transversale descriptive menée dans le service de radiologie et d'imagerie médicale de Bangui du 1er mars au 31 décembre 2021 soit 10 mois. Ont été retenus dans l'étude, tous les patients de deux sexes quel que soit l'âge ayant une pathologie cérébrale non traumatique diagnostiquée à la TDM. Le scanner utilisé est de 16 barrettes de marque HITACHI. L'analyse des données a été faite à l'aide du logiciel Epi info.

Résultats : Cinq cent huit (508) patients ont été retenus dont 54 % de sexe féminin et 46% de sexe masculin soit un sex ratio F/H= 1,17. L'âge moyen des patients était de 52 ans. La tranche d'âge la plus touchée était située entre 51-75 ans représentant 48,4% des cas. L'hémiplégie (54,5%) était le principal signe clinique suivi de céphalée (15,4%) et du trouble de la conscience ou de la mémoire (14%). Dans 81% des cas (N= 411/508), le scanner était pathologique et montrait des lésions de localisation sus tentorielle dans 68,6% des cas. Ces lésions étaient dominées par les accidents vasculaires cérébraux le plus souvent de type ischémique dans 33,8% des cas, l'atrophie cortico sous corticale dans 11,4% des cas et l'association AVC ischémique atrophie cortico sous



corticale dans 11,7% des cas. Le scanner était normal dans 19% des cas (N=97/508).

Conclusion : Les pathologies cérébrales non traumatiques sont fréquentes et dont les étiologies sont dominées par les AVC de type ischémique le plus souvent l'atrophie cortico sous corticale et l'association AVC ischémique atrophie cortico sous corticale.

Mots clés : Pathologies cérébrales non traumatiques, TDM, Bangui

CO22 : LES ASPECTS TOMODENSITOMETRIQUES TRAUMATISMES DES ENCEPHALIQUES A BANGUI CRANIO

Auteurs : Timothée MOBIMA; Francky KOUANDONGUI BANGUE SONGROU
E-mail : docmobima5@gmail.com
Pays : Centrafrique

Objectif : Répertoire les lésions traumatiques cranio encéphaliques et décrire leurs aspects tomodensitométriques.

Méthodologie : Il s'agissait d'une étude transversale réalisée dans le service de radiologie et d'imagerie médicale de Bangui du 1er mars au 31 décembre 2021. Nous avons inclus les patients de deux sexes quel que soit l'âge, ayant réalisés une TDM cérébrale pour traumatisme cranio encéphalique pendant la période d'étude. L'analyse des données a été faite à l'aide d'un logiciel Epi info.

Résultats : Pendant la période d'étude, 593 TDM cérébrales ont été réalisées dont 84 répondaient à nos critères d'inclusion soit une fréquence de 14,2%. Il y avait une prédominance masculine avec un sex ratio de 2,8. La moyenne d'âge était de 26 ans avec des extrêmes de 6 à 39 ans. Les signes cliniques étaient dominés par le groupe 1 de Master avec Glasgow entre 15 et 9 (52,4%). Les accidents de la voie publique étaient la cause prédominante avec 81% des cas. Dans 61,9% des cas, l'examen TDM est réalisé dans un délai de plus de 24 heures après le traumatisme. Les principales lésions à la TDM étaient

dominées par les fractures de la voûte du crâne et du massif facial (42,8%). L'hématome sous dural, les contusions œdemato-hémorragiques et l'hématome extra dural étaient les principales lésions péri-cérébrales et intra cérébrales avec respectivement 38,1% ; 23,8% ; et 9,5%. Dans 42,8% des cas la TDM était normale.

Conclusion : La TDM est un examen de première intention pour le bilan lésionnel en cas de traumatisme cranio encéphalique. Ces lésions sont dominées par les fractures de la voûte du crâne et du massif facial. L'hématome sous dural, les contusions œdemato-hémorragiques et l'hématome extra dural sont les principales lésions péri-cérébrales et intra cérébrales observées.

Mots clés : Traumatisme cranio encéphalique, tomodensitométrie, Ba ngui.

CO23 : IRM MULTIPARAMETRIQUE DE L'HYPHYPHYSE : TECHNIQUES ET RESULTATS A PROPOS DE 60 CAS COLLIGES DANS UN SERVICE DE RADIODIAGNOSTIC ET IMAGERIE MEDICALE /ABIDJAN (COTE D'IVOIRE).

Auteurs : N'tamon Bruno Baudelaire (1), Touré Abdoulaye (1), Gnaoule Débato Tina (1), N'dja Ange Patrick (1), Zouzou Ange Eric (1), Le Dion Anicet (1), Fatto N'guessan Ebeys (1),
E-mail : ntamonbrunobaudelairealex@gmail.com
Pays : Côte-d'Ivoire

Objectif : Evaluer le profil de l'IRM multiparamétrique dans l'exploration des tumeurs hypophysaires.

Méthodologie : Les examens ont été réalisés sur une IRM (1.5 T). Il s'agissait d'une étude rétrospective, descriptive sur une période de 24 mois à Abidjan à partir de 60 dossiers.

Résultats : La tranche d'âge 20 à 40 ans était dominante, l'âge moyen était de 42 ans. Il y avait une prédominance féminine (70%). Les troubles endocriniens constituaient les indications les plus fréquentes (55%) entête l'hyperprolactinémie (17%). Les microadénomes étaient la lésion dominante



(45,8%) avec une topographie latérossellaire dans 54,2 % des cas. Ils étaient fréquemment observés chez les patients de moins de 40 ans, alors que les macroadénomes étaient retrouvés chez les patients plus de 40 ans. Les picoadénomes et microadénomes étaient hyposignal en T1 (53%) et hypersignal en T2 (41%). La convexité du diaphragme sellaire était fréquemment observée (67%). Les macroadénomes comprimaient le chiasma optique (100%), le sinus caverneux (57%). Le remaniement nécrotico-hémorragique était prédominant dans 38%.

Conclusion : Les microadénomes étaient en hyposignal T1 en perfusion et les macroadénomes comprimaient tous le chiasma optique et sinus caverneux (57%). Grâce à l'émergence de l'IRM multiparamétrique, la séquence dynamique constitue un outil de pertinence diagnostique des microadénomes.

Mots clés : IRM, Multiparamétrique, Hypophyse, Techniques.

CO 23 : IRM multiparamétrique de l'hypophyse : techniques et résultats à propos de 60 cas colligés dans un service de radiodiagnostic et imagerie médical/ Abidjan (côte d'ivoire)

CO24 : HEMATOME SOUS-DURAL AU DECOURS D'UNE RACHIANESTHESIE POUR CESARIENNE A PROPOS D'UN CAS.

Auteurs : Ornéla ASSIOBO-TIPOH (1), Augustin KABASSEM (1), Kossivi APETSE (1, 2), Jonathan Pierre Denis NJEMBE (1), Marzouk Koumateh AFODA(1), Kokouvi Panabalo WAKLATSI (1), Komi ASSOGBA (1, 2), Agnon Koffi BALOGOU (1, 2)

E-mail : ornellatipoh@gmail.com

Pays : Togo

Objectif : rapporter un hématome sous dural compressif, une complication rare mais potentiellement grave de la rachianesthésie.

Méthodologie : il s'agit d'un rapport d'un cas clinique recueilli dans un centre de santé de Lomé.

Résultats : une patiente de 31 ans, primigeste, séropositive au VIH1 a été admise pour une altération brutale de la conscience sans notion de crises épileptiques. Elle a bénéficié 20 jours plus tôt d'une rachianesthésie pour césarienne prophylactique. La ponction lombaire a été réalisée en position assise avec approche médiane à l'espace L3-L4, à l'aide d'une aiguille Quincke de calibre 25. Dès le lendemain, elle a des céphalées inhabituelles avec aggravation secondaire au 10^e jour, malgré les antalgiques usuels administrés. La survenue d'une altération de la conscience au 21^e jour a motivé l'admission. L'examen notait un score de Glasgow à 8/15 (Y2V2M4), une mydriase réactive droite et une hémiparésie gauche. Le scanner cérébral réalisé en urgence à l'admission, montrait un volumineux HSD compressif fronto pariéto-occipital droit subaigu avec engagement sous falcoriel. L'interrogatoire, l'examen physique et les explorations n'ont pas identifié d'autre étiologie que la rachianesthésie. La patiente a bénéficié d'une craniotomie urgente avec évacuation de l'hématome. Les suites opératoires étaient simples sans séquelles.

Conclusion : après une rachianesthésie la possibilité de survenue d'hématome sous dural implique la nécessité d'identifier les patients à risque en vue des moyens préventifs et d'une surveillance post procédurale.

Mots clés : Césarienne, rachianesthésie, hématome sous-dural, Togo

CO25 : APPORT DE LA TOMODENSITOMETRIE DANS LA PRISE EN CHARGE DES TRAUMATISMES CRANIO ENCEPHALIQUES AU CHU DE YOPOUGON

Auteurs : A.W.B. BATCHAM, A.N. KONAN, N. KOUAME, A.V. KONAN

E-mail : wilsonbatcham@yahoo.fr

Pays : Côte-d'Ivoire

Objectif : Démontrer l'apport du scanner dans la prise en charge des traumatismes cranio encéphaliques.

Méthodologie : Notre étude était rétrospective sur 12 mois dans le service de radiologie du CHU de



Yopougon, intéressant 93 scanners. Les paramètres cliniques recueillis ont été : âge, sexe, indication, le protocole, le type de lésion observée. Les examens ont été réalisés avec un appareil scanner de marque TOSHIBA Acquillon 64 barettes.

Résultats : Nous avons retrouvé que les 93 scanners représentaient 15,9% de tous les scanners crânio encéphaliques de la période d'étude. Et 58% des scanners était pathologique. Le sexe ratio était de 1,34 en faveur des hommes. Les populations de moins de 15ans et celle de 30 à 44ans étaient les plus atteintes. Les accidents de la voie publique étaient le motif le plus fréquent. Les atteintes osseuses et les contusions hémorragiques étaient les plus fréquentes.

Conclusion : les TCE sont un motif fréquent de réalisation de TDM au service de radiologie du CHU de Yopougon et la population jeune est la plus exposée.

Mots clés : Tomodensitométrie, traumatisme crânio encéphalique.

CO26 : APPORT DE L'ECHOGRAPHIE DANS LA PRISE EN CHARGE DES URGENCES COVID-19 A LOME.

Auteurs : Awèréou KOTOSSO^{1,2}, Lidaw D. BAWÉ^{1,2}, Yaovi M. TSEVI^{1,2}, Gani WATARA², Zouwera SESSO^{2,3}, Wiyao KAZIGA², Sarakawabalo ASSENOUWE^{2,3}, Gnimdou TCHAMDJA⁴, Koffi A. AZIAGBE^{1,2}, Akouda A. PATASSI^{1,5}, Bawoubadi ABALTOU², Laroutoki MACAMANZI², Séraphin ADJOHI^{1,6}, Majesté I. WATEBA^{1,4}, Awalou Mohaman DJIBRIL¹, 4, 7.

1 Faculté des Sciences de la Santé, Université de Lomé, Togo

2 Centre hospitalier régional Lomé commune, Lomé, Togo

;

3 Faculté des Sciences de la Santé, Université de Kara, Togo.

4 Clinique médico-chirurgicale, CHU Sylvanus Olympio, Lomé, Togo.

5 Service des maladies infectieuses, CHU Sylvanus Olympio, Lomé, Togo.

6 Service de pneumophtisiologie, CHU Sylvanus olympio, Lomé, Togo.

7 Coordination Nationale de la Gestion de la Riposte contre le Covid-19, Togo.

Résumé

Contexte : la maladie à coronavirus -19 (COVID-19) est une infection d'expression clinique dominée par l'atteinte respiratoire dans sa forme commune. Cette symptomatologie peut cependant être modifiée par les complications évolutives propres au COVID-19 ou par la présence de pathologies sous-jacentes nécessitant des explorations échographiques en urgence. L'objectif de cette étude était de décrire l'apport de l'échographie dans la prise en charge des patients hospitalisés pour COVID-19 au Centre Hospitalier Régional Lomé Commune.

Méthodes : Il s'est agi d'une étude de série de cas portant sur l'ensemble des patients admis entre mars 2020 et décembre 2021 au Centre Hospitalier Régional Lomé Commune (CHR-LC), centre national de référence pour la prise en charge des patients atteints de COVID-19 et chez qui une échographie a été réalisée.

Résultats : Au total 2054 patients ont été admis avec une sex-ratio H/F = 1,3 (1159/895). L'âge moyen était de $44 \pm 17,8$ ans. Les principales explorations étaient l'échodoppler cardiaque, l'échographie abdominale, l'échodoppler des vaisseaux des membres inférieurs, et l'échographie obstétricale. La recherche d'une complication thromboembolique, l'exploration de l'insuffisance rénale, et le bilan de retentissement des comorbidités figuraient en tête des indications de demande d'échographie. Dans 5% des cas l'échodoppler cardiaque a été indiquée devant une contre-indication du transport du patient au scanner.

Conclusion : l'échographie a permis l'exploration des complications de covid-19, mais aussi la recherche étiologique et l'évaluation du retentissement des comorbidités.

Mots clés : échographie, urgence Covid-19, Lomé.



CO27 : RESULTATS ECHOGRAPHIQUES DU BILAN PRE-THERAPEUTIQUE DES INFECTIONS CHRONIQUES PAR LES VIRUS DE L'HEPATITE B ET/OU C AU CHUD-B/A

Auteurs : AKANNI Djivèdé, ADJADOHOUN Sonia, KIKI Miralda, AKABASSI Ruth, YEKPE Patricia, SAVI de TOVE, BIAOU Olivier, BOCO Vicentia
E-mail : djivakanni@yahoo.fr
Pays : Bénin

Objectif : Etudier les différents aspects échographiques que revêtent les infections chroniques par les virus de l'hépatite B et/ou C lors du bilan pré-thérapeutique au CHUD-B/A.

Méthodologie : Il s'agissait d'une étude transversale descriptive réalisée dans le service d'imagerie médicale du CHUD-B/A du 1er février au 30 août 2021. Elle a inclus tous les patients reçus pour une échographie abdominale, pré-thérapeutique d'une infection chronique par les virus de l'hépatite B et/ou C.

Résultats : Au total 170 patients ont été inclus. L'âge moyen des patients était de $40,4 \pm 13,2$ ans avec des extrêmes 12 et 80 ans. L'échographie abdominale était pathologique dans 66,5%. 38 patients (22,4%) présentaient des signes de dysmorphie hépatique ; l'hypertrophie du foie droit étant le plus fréquent (20,0%). Les pathologies morphologiques retrouvées étaient la cirrhose (11,2%), la stéatose hépatique (7,7%), l'hépatomégalie homogène (5,9%), l'hépatosplénomégalie homogène (5,9%), les nodules suspects de carcinome hépatocellulaire (4,1%), l'hépatomégalie stéatosique (4,1%) et la splénomégalie homogène (3,5). Sur le plan vasculaire, une hypertension portale a été retrouvée chez 74 patients (43,5%) ; l'élévation de l'index de pulsatilité de l'artère hépatique étant le signe dominant (36,5%).

Conclusion : La fréquence élevée d'anomalies échographiques lors du bilan pré-thérapeutique des infections chroniques par les virus de l'hépatite B et/ou C traduit un diagnostic tardif. Une sensibilisation sur l'importance du dépistage précoce des patients est souhaitable.

Mots clés : Echographie, hépatite B , hépatite C ; Parakou

CO28 : BILAN EN IMAGERIE PAR RESONANCE MAGNETIQUE DE LA PATHOLOGIE GYNÉCOLOGIQUE A LOMÉ

Auteurs : V. K. ADJENOU, L. K. AGODAKOUSSEMA, L. SONHAYE, A. AMADOU, M. DAGBE, P. GBANDE, B. KOLOU, B. SOUHO
E-mail : benesouho@yahoo.com
Pays : Togo

Objectif : Etablir le bilan en IRM de la pathologie gynécologique à Lomé.

Méthodologie : Il s'est agi d'une étude transversale à visée descriptive des résultats d'IRM pelviens de 2013 à 2020 (08 ans), dans deux centres de radiologie et d'imagerie médicale disposant d'une unité d'IRM au Togo. Étaient incluses toutes les femmes ayant effectué une IRM pelvienne quel que soit l'âge, l'indication durant la période d'étude.

Résultats : 8999 examens IRM avaient été réalisés et 131 (16,38%) examens d'IRM pelviennes (1,4%) des IRM totales. La moyenne d'âge des patientes était de 49,07 ans \pm 15,78. L'IRM était pathologique (80,15%). Les myomes dominaient les lésions du myomètre (88%). Les lésions endométriales étaient le cancer de l'endomètre (53,8%) et l'adénomyose (6,2%). Une extension locorégionale était retrouvée (85,7%). Les stades retrouvés étaient les stades II, III, IV, avec (33,33%) chacun. L'atteinte du col utérin était retrouvée (23,8%) et dominée par le cancer du col (96%). Les stades I et II de la classification FIGO étaient retrouvés avec respectivement (33,3%) et (29%).

Conclusion : Il ressort de cette étude que la prescription des IRM pelviennes au Togo est faible et une demande plus fréquente chez les personnes adultes. Les pathologies myométriales étaient les plus explorées avec une importante fréquence de myomes utérins. Les pathologies du col et de l'endomètre, dominées par les néoplasies.

Mots clés : IRM, femmes, pelvienne, Togo, Lomé



CO29 : PLACE DE LA TOMODENSITOMETRIE THORACO-ABDOMINO-PELVIENNE DANS LA PRISE EN CHARGE DES CANCERS DE L'ESTOMAC A BOUAKE

Auteurs : A.E.B BRAVO-TSRI, K.P.B KOUASSI, K.E. TANO, L.B. YAO, K.D.M BOUASSA, S.C. SANOGO, M. SORO, I. KONATE, K. N'DRI

E-mail : bravotsri2006@yahoo.fr

Pays : Côte-d'Ivoire

Objectif : Décrire les lésions des cancers gastriques
Monter le rôle de la tomodensitométrie dans leur prise en charge.

Méthodologie : Etude rétrospective sur 5 ans intéressant 31 cas de tumeurs gastriques confirmées colligés au Centre Hospitalier universitaire de Bouaké. Il s'agissait de 18 hommes et 13 femmes explorées par un scanner thoracoabdominopelvien dans le cadre d'un bilan d'extension.

Résultats : L'âge moyen de nos patients a été de 60,3 ans. Le mode de révélation a été dominé par des épigastries (70%) et l'amaigrissement (50%). Une endoscopie digestive haute a été réalisée chez tous nos patients, dont l'étude anatomopathologique des biopsies a objectivé 26 cas d'adénocarcinomes, 4 cas de lymphomes et 1 cas de GIST. La tumeur a été visualisée en TDM dans tous les cas, dont le diagnostic de la malignité a été évoqué dans 88,8%. Elle a été sous forme d'un épaissement pariétal dans 91%, d'aspect bourgeonnant dans 41,6%, elle a des contours irréguliers dans 88,8 %, mal limitée dans 72,2% et se rehaussant de façon hétérogène dans 69,4%. La tumeur a été envahissante les organes de voisinage dans 16%, métastatique dans le foie dans 41% et les poumons dans 60 %, les adénopathies ont été retrouvées dans 46% et une carcinose péritonéale dans 38 % des cas. 94 % des patients atteints d'adénocarcinome étaient inopérables et plus 50 % étaient au stade IV selon la classification TNM.

Conclusion : La TDM est nécessaire dans le bilan pré-thérapeutique des cancers de l'estomac. Elle permet de faire le staging TNM utile à la décision thérapeutique

Mots clés : Cancer, estomac, tomodensitométrie

CO30 : TELE EXPERTISE MOBILE EN ONCOLOGIE : POINT DE VUE DU RADIOLOGUE AU BURKINA FASO

Auteurs : Ouédraogo Nina-Astrid, Bambara Augustin Tozoula, Cissé Rabiou

E-mail : astridouedraogo2020@gmail.com

Pays : Burkina Faso

Objectif : présenter le point de vue du radiologue concernant la télé expertise mobile en oncologie au Burkina Faso.

Méthodologie : Etude transversale descriptive déroulée du mois d'avril au mois de mai 2021. Echantillon constitué de médecins généralistes, spécialistes ou en spécialisation exerçant sur le territoire burkinabè, consentant à participer à l'étude. Leurs habitudes ainsi que leurs avis sur les avantages, limites et risques relatifs à la TEM ont été recueillis. Les données des radiologues ont été comparées aux autres sujets enquêtés. Le test du Khi carré (ou de Fisher) et le test de Student ont servi à ces comparaisons.

Résultats : Les radiologues représentaient 19% de l'échantillon. La TEM en cancérologie concernait 67,2% des médecins enquêtés. La proportion de radiologues ayant recours à la TEM en oncologie ne différait pas significativement de celle des autres médecins ($p=0,59$). Les radiologues recevaient en moyenne plus de demandes de TEM par semaine (1,55 versus 0,55, $p = 0,02$). Ils ne formulaient pas en moyenne plus de demandes que les autres médecins. Les radiologues notaient comme avantage à l'utilisation de la TEM la rapidité (9/20) et la meilleure prise en charge (7/20). Le principal risque à l'utilisation de la TEM était le manque de confidentialité dans 9 cas sur 20. L'instabilité de la connexion internet était la limite la plus évoquée par les radiologues (6/20).

Conclusion : Les radiologues relèvent des avantages mais aussi des limites et des risques à l'exercice de la téléexpertise mobile en oncologie. D'où l'intérêt de la mise en place d'un cadre réglementaire afin de mieux encadrer cette pratique

Mots clés : téléradiologie, confidentialité, cancérologie, Burkina Faso



CO31 : TRAITEMENT PERCUTANE PAR MICRO-ONDE DES CARCINOMES HEPATOCELLULAIRES A ABIDJAN : UNE ETUDE PRELIMINAIRE DE 17 CAS.

Auteurs : TRA BI ZOD, KONAN ANHUM NICAISE, GARBA IDRISSE, ESSOTE ALAIN, KOUAME N'GORAN

E-mail : traolivier818@gmail.com

Pays : Côte-d'Ivoire

Objectif : L'objectif de ce travail était d'analyser les premiers résultats des patients traités par micro-onde pour carcinome hépatocellulaire.

Méthodologie : Nous avons inclus 17 patients avec CHC de moins de 6 centimètres de diamètre traités à la clinique médicale DANGA à Abidjan (Côte d'Ivoire) de Janvier 2019 à Février 2022.

Résultats : Il y avait 11 patient avec cirrhose en Child-Pugh A, 4 patients en Child Pugh B et 2 patients sans cirrhose.

Tous les patients ont réalisé une imagerie pré-thérapeutique : échographie (100%), IRM associée à la TDM (29.4%), TDM (70.5%).

La taille moyenne des CHC était de 33mm.

Le CHC était unique dans 88.2%, et multiple dans 11.2% et siégeait au segment III (35.3%), V (29.4%), VII (23.5%) et VIII (11.8%).

Un scanner post-interventionnel immédiat montrait une zone d'ablathermie moyenne de 47mm sans foyer d'hyper vascularisation tumoral.

Une IRM de surveillance était réalisée à 6 semaines post-interventionnel.

Un scanner ou une IRM était réalisé en alternance à 3 mois, 6mois, 12mois, 18mois et 24mois.

Conclusion : La thermo-ablation par micro-onde des CHC a montré de bons résultats préliminaires et mériterait d'être encouragé.

Mots clés : Carcinome hépatocellulaire, Traitement par micro-onde, Cirrhose.

CO32 : BIOPSIE ECHOGUIDEE DANS LE DIAGNOSTIC DES TUMEURS ABDOMINALES AU SERVICE DE RADIOLOGIE DU CHU DE TREICHVILLE : A PROPOS DE 62 CAS

Méité M2, Gui-Bilé LN1, 2, Kouao JP2, Diambra LM-A2, Diabaté AS1,2, Yapo P 1, 2

1 : UFR des sciences médicales d'Abidjan

2 : Service de Radiodiagnostic et Imagerie du CHU de Treichville.

Auteur correspondant : meitemoman@gmail.com

Résumé

Introduction : La ponction biopsie échoguidée abdominale est un acte de pratique croissante, dans le diagnostic des tumeurs abdominales en Afrique et plus particulièrement en Côte d'Ivoire. Son intérêt réside dans le diagnostic précoce pour un traitement adéquat des patients. Notre étude avait pour objectif d'évaluer l'apport diagnostique de la ponction-biopsie échoguidée dans le diagnostic des tumeurs abdominales.

Matériel et Méthode : étude transversale, rétrospective à visée descriptive réalisée sur une période de 12 mois. Ont été inclus 62 dossiers de patients ayant bénéficié d'une biopsie échoguidée et dont le résultat histologique était disponible. Ces biopsies ont toutes été réalisées dans le service de radiologie du CHU de Treichville à l'aide de pistolets semi-automatiques ou automatiques de 14 G ou 16 G de type ESTACORE (selon le type de masse).

Résultats : l'âge moyen de nos patients était de 46 ans \pm 15,2. A l'échographie, la masse siégeait au niveau du foie dans ...% des cas, suivie de (...%) et de (...%). Le nombre de prélèvement effectué était trois carottes dans 69,4% et 2 carottes dans ...% des cas. La lipothymie était la principale complication mineure. Aucun incident majeur n'a été observé (choc anaphylactique, hémorragie ou infection). Le délai moyen entre le prélèvement et le rendu des résultats était de 15 jours dans 58% des cas. Les lésions malignes représentaient 78% des cas. Elles étaient dominées par les carcinomes notamment le carcinome hépato-cellulaire du foie (44%), suivis des lymphomes dans 11 % des cas. Les lésions bénignes constituaient 16% des effectifs, dominées par les angiomes hépatiques.



Conclusion : La ponction biopsie échoguidée apparaît comme une méthode simple, efficace et fiable pour établir le diagnostic des masses abdominales et par conséquent leur prise en charge précoce.

Mots-clés : Tumeur abdominale, Biopsie échoguidée, Echographie, Histologie.

CO33 : IRM DYNAMIQUE DU PLANCHER PELVIEN : FAISABILITE ET RESULTATS

Auteurs : R-M. KABAS, J-P.S. KOUAO, L.M-A DIAMBRA, M. MEITE, B. N'TAMON, A. TOURE, A.S. DIABATE, Z. OUALID

E-mail : rmkabas@gmail.com

Pays : Côte-d'Ivoire

Objectif : Montrer la faisabilité de l'IRM du plancher pelvien, notamment de la déféco-IRM et son intérêt dans le dépistage de la pathologie du plancher pelvien

Méthodologie : Nous avons mené une étude prospective chez 9 patients adressés pour des troubles du plancher pelvien. Les examens ont été réalisés sur un appareil de marque Philips Multiva 1.5T. L'étude du plancher pelvien se faisait en séquence EST2 d'abord statique puis dynamique avec poussée et défécographie. Une étude morphologique était faite systématiquement avant l'étude dynamique afin d'apprécier les parties molles et les os. La mesure des lignes et des angles avait été faite.

Résultats : Il y avait 7 femmes pour 2 hommes (sexe ratio : 0,28) et l'âge moyen était de 39 ans avec des extrêmes de 25 et 62 ans. Les motifs de consultations étaient une suspicion d'anomalie rectale dans 5 cas (55,55%) et d'anomalie vésicale dans 4 cas (44,44%). L'étude montrait un prolapsus rectal dans 4 cas (44,44%) au repos et dans 6 cas (66,66%) en dynamique. La ptose vésicale était retrouvée dans 4 cas en dynamique. Un rectocèle était retrouvé dans 3 cas pendant la défécographie chez les patients ayant le prolapsus rectal. La ptose vaginale était retrouvée chez une patiente. Les anomalies morphologiques

retrouvées étaient l'hypotrophie musculaire et sphinctérienne dans respectivement 1 cas.

Conclusion : L'IRM dynamique du plancher pelvien nécessite une courbe d'apprentissage avec une bonne connaissance de la technique. Elle nous a permis de mettre en évidence avec précision les anomalies suspectées et de retrouver des lésions associées pouvant expliquer la symptomatologie. Cette technique encore méconnue de nos confrères nécessite une collaboration multidisciplinaire.

Mots clés : IRM, Dynamique, plancher, pelvien, défécographie

CO34 : PANORAMA IRM DES CANCERS DU COL DE L'UTERUS AU CHU D'ANGRE ABIDJAN COTE D'IVOIRE.

Auteurs : I. Garba, A. Bamba, A.M.Y Tchimou, R.T Kouame-Akpegni, M. Soro
A. Coulibaly.

Service d'Imagerie médicale- CHU d'Angré – Abidjan - Cote d'Ivoire

Adresse e-mail : toudouidriss@gmail.com

RESUME

Introduction :

Le cancer du col de l'utérus représente le deuxième cancer de la femme en Côte d'Ivoire. Son diagnostic est le plus souvent fait tardivement. L'IRM permet de faire le bilan d'extension.

Matériels et méthodes : Il s'est agi d'une étude monocentrique transversale descriptive d'une durée de 24 mois dans le service d'imagerie médicale du CHU d'Angré.

Nous avons inclus 175 comptes rendus d'IRM du pelvis dont 141 pour un bilan d'extension et 34 pour un contrôle post thérapeutique d'un cancer du col de l'utérus prouvé histologiquement.

Les examens ont été effectués à l'aide d'un appareil NEUSOFT 1,5 Tesla.

Résultats : La moyenne d'âge était de 54,94 ans avec des extrêmes de 26 et 85 ans.

Le diamètre tumoral moyen était de 4,6 cm. Les paramètres étaient infiltrés dans 60,28% des cas, le



vagin dans 70,21% des cas, la vessie dans 38,30% des cas.

Les adénopathies étaient retrouvées dans 42,55% des cas. Le stade IV FIGO était le plus représentatif dans 36,17% des cas.

Pour le suivi post thérapeutique, une rémission totale était observée dans 29,41% des cas, une régression tumorale dans 11,77% des cas et une récurrence tumorale dans 58,82% cas.

Conclusion : Dans notre série l'IRM 1.5 Tesla a permis de faire le bilan initial et un suivi post thérapeutique des cancers du col utérin.

MOTS CLES : Cancers, Col utérin, IRM.

CO35 : PROFIL IRM DES CANCERS DE L'ENDOMETRE AU CHU D'ANGRE ABIDJAN COTE D'IVOIRE.

Auteurs : I. Garba, A. Bamba, R.T Kouame-Akpegni, A.M.Y Tchidou, M. Soro A. Coulibaly.

Service d'Imagerie médicale- CHU d'Angré – Abidjan - Côte d'Ivoire

Adresse e-mail : toudouidriss@gmail.com

RESUME

Introduction :

Le cancer de l'endomètre représente le quatrième cancer de la femme au plan mondial. En Côte d'Ivoire, il représente 10,2 % de l'ensemble des masses pelviennes. L'examen histologique permet de faire le diagnostic. L'imagerie par résonance magnétique permet de faire le bilan d'extension et le suivi post thérapeutique.

Matériels et méthodes :

Il s'est agi d'une étude monocentrique transversale descriptive d'une durée de 24 mois dans le service d'imagerie médicale du CHU d'Angré. Nous avons inclus 48 comptes rendus d'IRM du pelvis dont 37 pour un bilan d'extension 11 pour un suivi post chirurgical d'un cancer de l'endomètre prouvé histologiquement. Les examens ont été effectués à l'aide d'un appareil NEUSOFT 1,5 Tesla.

Résultats :

L'âge moyen était de 62,21 ans avec des extrêmes de 30 et 89 ans. Le myomètre était infiltré dans 70,27% des cas. La tumeur était étendue au col et à la séreuse respectivement dans 37,84% et 21,62% des cas. Le stade I FIGO était le plus représentatif avec 54,05%. Parmi les 11 patientes réalisant l'IRM pour le suivi post chirurgical, on notait 09 cas de rémission totale et 02 cas de récurrence.

Conclusion :

Dans notre série l'IRM 1.5 Tesla a permis de faire le bilan initial et un suivi post thérapeutique des cancers de l'endomètre.

Mots-clés : Cancers, Utérus, Endomètre, IRM.

CO36 : CONTRIBUTION DU SCANNER DANS LE DIAGNOSTIC DES MASSES ABDOMINOPELVIENNES. A PROPOS DE 137 CAS A L'HOPITAL NATIONAL AMIROU BOUBACAR DIALLO (HNABD) DE NIAMEY.

S GUIDAH1, I BAKO2, B ABDOULKARIM1.

1. Service de radiologie, Hôpital National Lamoré (HNABD) de Niamey.

2. Service de radiologie, Hôpital Général de Référence (HNGR) de Niamey.

Introduction : Les masses abdominopelviennes sont des processus occupant, bénins ou malins développés au dépend d'un des compartiments de l'abdomen et ou du pelvis. Leur étude est aujourd'hui facilitée par les techniques d'imagerie en coupe notamment le scanner. Au Niger peu d'études ont été réalisées sur les MAP.

Objectifs : Dégager les aspects épidémiologiques, cliniques et radiologiques des MAP au Niger. **Résultats :** 130 patients ont été concernés par cette étude : 70 hommes (53,85%) et 60 femmes (46,15%). L'âge moyen était de 42,20 ans avec une légère variation en fonction du sexe : 41,91 ans chez les hommes et 45,40 ans chez les femmes. 125 scanners sur 130 avaient retrouvé une masse soit 96,15% des cas. Le nombre total de masses retrouvées étaient de 137 avec souvent des associations chez un même patient. 63,50 % des masses étaient de siège intra péritonéales. Elles étaient dominées par les masses



tumorales (47,44 % plus fréquentes dans les tranches de 40-49 et 50-59 ans) suivies par les kystes (24,09% plus fréquents aux tranches extrêmes) et les organomégalies (16,79% plus fréquentes entre 60-69 ans).

Conclusion : Les masses abdominopelviennes étaient plus fréquentes dans la région intra péritonéale. Le scanner est une technique d'imagerie disponible qui permet leur localisation et surtout de déterminer leur nature kystique ou solide. Elles étaient dominées par les masses tumorales suivies par les kystes et les organomégalies.

Mots clés : Masses abdominopelviennes, scanner, Niger.

CO37 : PLACE DU CATHETERISME TUBAIRE SELECTIF DANS LA PRISE EN CHARGE DE L'INFERTILITE FEMININE AU TOGO

Sabi HC1, Kpoghomou JS1, Sonhaye L2, Agoda-Koussema LK3, Adjenou K1.

1. Service de radiologie, Hôpital privé « Autel d'Elie », Lomé – Togo
2. Service de radiologie, CHU Campus, Lomé – Togo
3. Service de radiologie, CHU - SO, Lomé – Togo

Mail : kadjenou@yahoo.fr

Objectif : Déterminer l'efficacité du cathétérisme tubaire sélectif dans la prise en charge de l'infertilité féminine au Togo.

Méthode : Il s'agissait d'une étude descriptive longitudinale, de 24 mois (Juin 2019 à Mai 2021), ayant colligé des patientes présentant une obstruction tubaire proximale bilatérale à l'HSG.

Résultats : l'âge de nos patientes était compris entre 24 et 42 ans avec une moyenne de 34 ans. La durée moyenne d'infertilité était de 4 ans, avec une prédominance de l'infertilité primaire dans 83,56% des cas. L'interruption volontaire de grossesse (38,89%) et les myomes (33,33%) ont été les antécédents gynéco-obstétricaux les plus représentés. Après cathétérisme tubaire sélectif, 92,14% des

trompes ont été canalisées (bilatérale dans 93,02% et unilatérale dans 6,98%). L'HSG de confirmation a permis une opacification spontanée de 4,10 % des trompes. Au terme de la procédure, toutes les trompes recanalisées ont été opacifiées ; 62,01% d'entre elles étaient normales, contre 37,99% de pathologiques avec une prépondérance de trompes inflammatoires 26,61% suivie d'hydrosalpinx dans 5,03 % des cas. Aucune complication majeure n'a été rencontrée. Le taux de fertilité était de 23,29%.

Conclusion : le cathétérisme tubaire sélectif est une technique simple, sans complication majeure avec une efficacité proche de la fécondité naturelle. Elle devrait être proposée en première intention avant tout autre acte dans le traitement de l'infertilité par obstruction tubaire proximale.

Mots clés : Infertilité féminine, cathétérisme tubaire sélectif, Togo.

CO38 : APPORT DE L'ECHOGRAPHIE ABDOMINOPELVIENNE DANS LE DIAGNOSTIC ETIOLOGIQUE DES DOULEURS DE LA FID CHEZ LA FEMME EN ACTIVITE GENITALE A CONAKRY

Auteurs : AA BALDE *, OA BAH, TH BALDE, M DIALLO, TIT DIALLO, AGODA KOUSSEMA L.K

E-mail : aabalde90@gmail.com

Pays : Guinée

RÉSUMÉ

But : Etudier l'apport de l'échographie abdominopelvienne dans le diagnostic étiologique des douleurs de la fosse iliaque droite chez la femme en activité génitale.

Patientes et méthode : Il s'agissait d'une étude transversale de type descriptif d'une durée de six (6) mois allant du 01 septembre 2020 au 28 février 2021 réalisée au centre de diagnostic de la Caisse Nationale de Sécurité Sociale de Conakry (République de Guinée). Ont été enrôlées dans l'étude, une série de cent trente-cinq (135) femmes en activité génitale ayant bénéficié d'une échographie abdominopelvienne pour douleur de la fosse iliaque droite. Les paramètres étudiés étaient l'âge, la situation



matrimoniale, le médecin prescripteur, la douleur à la fosse iliaque droite (unique ou associées), les signes échographiques rencontrés (digestifs, urologiques ou gynécologiques) et le diagnostic final retenu.

Résultats : la fréquence des échographies abdominopelviennes dans le diagnostic étiologique des douleurs de la fosse iliaque droite chez la femme en activité génitale était de 13,2%. L'âge moyen des patientes était de 26,8 ans avec des extrêmes de 13 ans – 49 ans. La tranche d'âge de 22 ans – 30 ans était prédominante avec 37,1%. Les douleurs de la FID étaient localisées dans 58,5%, diffuses dans 19,3%, et associées à d'autres signes dans 22,2% de cas. Les médecins généralistes et gynéco-obstétriciens étaient ceux qui prescrivaient le plus d'échographie soit respectivement 60% et 15,6%. L'examen était pathologique chez 91,9% de cas. Les lésions gynécologiques et digestives étaient les plus représentées dans notre série soit respectivement 48,9% et 39,3%. Parmi les lésions gynécologiques, les lésions ovariennes étaient prédominantes (39,3%) avec respectivement 24,5% de kystes ovariens droits, 14,1% de dystrophies ovariennes droites et 0,7% de tumeur ovarienne droite. On avait noté 5,9% d'hydrosalpinx droit et 2,2% de GEU. L'appendicite aigue dans sa forme simple et les adénolymphites mésentériques étaient les lésions digestives prédominantes soit respectivement 19,3% et 5,9%

Conclusion : La variété de lésions échographiques retrouvées prouve à suffisance que l'échographie est d'un bon apport diagnostique dans cette population de femmes.

Mots clés : échographie abdominopelvienne, femme, activité génitale, douleurs de la FID, Centre de Diagnostic de la CNSS de Conakry.

CO39 : INDICES DOPPLER DES ARTERES OMBILICALE ET CEREBRALE MOYENNE FŒTALE AU COURS D'UNE GROSSESSE NORMALE DANS UNE POPULATION DE FEMMES NOIRES AFRICAINES : UNE ETUDE PILOTE

Auteurs : Pihou Gbande1, Josette Christiane Ngnintedemo Kanouo2, Mazamaesso Tchaou1,

Lantam Sonhaye2, Lama Kegdigoma Agoda-Koussema3, Komlanvi Adjenou2
E-mail : gbandepihou@yahoo.fr
Pays : Togo

Objectif : Établir les valeurs de référence des indices Doppler des ACM et AO et du RCP dans le contexte togolais.

Méthodologie : Étude monocentrique prospective, observationnelle et analytique menée dans les services de radiologie et de gynéco-obstétrique du centre hospitalier régional d'Atakpamé (Togo) du 1er mai au 30 septembre 2021. Les grossesses d'évolution normale à partir de la 21ème semaine ont été incluses. Les données ont été traitées par le logiciel EPI Info 7.1.3.3. Un seuil de significativité de 5 % a été considéré.

Résultats : L'âge moyen des gestantes était de 27,09±6,46 ans. La parité moyenne était de 1,54±1,46. Il existait une faible corrélation linéaire positive entre la VSM de l'ACM et l'âge de la grossesse ($r=0,28$; $p<10^{-5}$), allant de 23,32 cm/s à 56,13 cm/s. L'IR et l'IP de l'ACM n'avait pas montré de lien statistiquement significatif avec l'âge de la grossesse. La VSM de l'AO variait de 33,19 cm/s à 53,75 cm/s avec une moyenne globale de 45,9 cm/s. Par contre l'IR et l'IP de l'AO avait montré une faible corrélation linéaire négative avec l'âge gestationnel de la grossesse avec une relation statistiquement significative avec respectivement, ($r= -0,21$; $p<10^{-5}$) et ($r= -0,25$; $p<10^{-5}$). Il existait une relation statistiquement significative entre le RCP et l'âge gestationnel ($p<10^{-5}$) avec une faible corrélation linéaire positive ($r=0,15$).

Conclusion : Les données doivent être validées dans une étude multicentrique pour une généralisation des résultats à toute la population togolaise.

Mots clés : Echographie-Doppler, artère cérébrale moyenne, artère ombilicale, indices Doppler, Togo.



CO40 : APPORT DE L'HYSTÉROSALPINGOGRAPHIE DANS LE BILAN DE L'INFERTILITÉ FÉMININE DANS LE SERVICE DE RADIODIAGNOSTIC ET D'IMAGERIE MÉDICALE AU CHU DE TRECHVILLE A PROPOS DE 100 CAS

Auteurs : Méité M2, Gui-Bilé LN1,2, N'Tamon B2, Kouao JP2, Diambra LM-A2, Diabaté AS1,2, Yapo P1,2

E-mail : meitemoman@gmail.com

Pays : Côte-d'Ivoire

Objectif : revisiter la place de l'hystérosalpingographie dans le bilan l'infertilité féminine au service d'imagerie et de radiodiagnostic au CHU de Treichville.

Méthodologie : Etude transversale, rétrospective à visée descriptive réalisée sur une période de 12 mois. Ont été inclus par échantillonnage de convenance, 100 patientes reçues au service de radiologie du CHU de Treichville pour un bilan d'infertilité.

Résultats : L'âge moyen de nos patientes était de $35,9 \pm 6,3$. L'HSG a permis de mettre en évidence des anomalies pouvant être en rapport avec une infertilité féminine chez 73,7% des patientes. Les anomalies tubaires représentaient 73% dominées par les obstructions tubaires postérieures unilatérales (45,3%). Les anomalies utérines étaient représentées 60% dominées par les myomes sous muqueux (41,1%) et les synéchies (14,7%). Les anomalies péritonéales étaient représentées dans 4% des cas et dominée par l'adhérence péritonéale unilatérale (5,3%).

Conclusion : L'hystérosalpingographie reste un examen de base dans l'évaluation initiale de la femme infertile. Elle a permis de mettre en évidence des anomalies utérines, tubaires et péritonéales.

Mots clés : Infertilité, Hystérosalpingographie, Trompe.

CO41 : APPORT DE L'ECHOGRAPHIE DOPPLER OBSTÉTRICALE DANS LA PRISE EN CHARGE DE LA PREECLAMPSIE AU 3EME TRIMESTRE DE GROSSESSE AU CHU DE BOGODOGO.

Auteurs : Adjirata KOAMA1, Bénilde Marie-Ange TIEMTORE-KAMBOU1,5, Djamila Carine SINARE1, Adama OUATTARA2,5, Nina Astrid OUEDRAOGO NDE1,5, Lydia KERE NIDJERGOU1, Madina NAPON4,5, Yobi SAWADOGO2,5, Charlemagne OUEDRAOGO2,5, Ousséni DIALLO3,5, Claudine LOUGUE SORGH04,5, Rabiou CISSE3,5

Affiliations : 1 : Service d'imagerie médicale et de radiologie interventionnelle du CHU de BOGODOGO, Burkina Faso. 2 : Service de gynécologie obstétrique du CHU de BOGODOGO, Burkina Faso. 3 : Service de radiologie, CHU Yalgado Ouédraogo, Burkina Faso. 4 : Service de radiologie, CHU Pédiatrique Charles de Gaulle, Burkina Faso, 5 : Université Joseph Ki Zerbo de Ouagadougou.

Correspondant : Dr KOAMA Adjirata. Téléphone : 0022670177667

Email: adjikoama@gmail.com ORCID: 0000 - 0001 - 5626 - 3561

Introduction : La prééclampsie (PE) est l'association à partir de 20 semaines d'aménorrhée (SA) d'une hypertension artérielle (HTA) et d'une protéinurie $\geq 0,3$ g/24 heures [12]. Elle représente une complication redoutable pendant la grossesse avec une lourde morbidité et mortalité materno-fœtale. L'échographie doppler permet de diagnostiquer les anomalies de perfusion materno-fœtale. Objectif : Etudier l'apport du doppler obstétrical à la prise en charge des patientes au 3ème trimestre de grossesse au CHU-Bogodogo.

Méthodologie : Il s'est agi d'une étude transversale descriptive et analytique à collecte rétrospective sur la période du 1er septembre 2019 au 30 septembre 2021. Elle a inclus les patientes dont l'âge gestationnel au moment de la réalisation du doppler était supérieur à 28 SA qui avaient pour indication de l'échographie un bilan de prééclampsie et ayant accouché à la maternité du CHU de Bogodogo. Résultats : Nous avons inclus 92 patientes. L'âge moyen des gestantes était de 30,24 ans. La tranche



d'âge de [26-36 ans] était la plus représentée à 39,13%. Les patientes étaient des femmes au foyer (53,26%), mariées (57,61%). Le nombre de grossesse moyen était de 3,06 et 33,70% des patientes étaient nullipares. Un antécédent de mort fœtale in-utéro a été noté chez 7,60% d'entre elles. A la clinique, 57,61% des patientes avaient une HTA sévère. A l'échographie doppler, 49,49% des fœtus avaient un doppler pathologique et l'âge gestationnel moyen était de 34,78 SA. L'index de résistance cérébral était bas pour 36,08% des fœtus et l'index de résistance ombilical était élevé dans 49,48% des cas. L'index cérébro-placentaire était < 1 chez 40,21% patients. L'HTA sévère était un facteur de risque de doppler pathologique. La césarienne était le mode d'accouchement le plus fréquent (70,65%). Nous avons enregistré 12,37% de mort-né, 59,76% de prématuré, 51,81% de faible poids de naissance parmi les nouveau-nés vivants, 34,11% de transferts en néonatalogie et 9,41% de décès néonataux précoces. Au test de Khi2, un doppler pathologique était un facteur de mauvais pronostic périnatal ($p < 0,05$; $OR > 1$). Conclusion : Au 3ème trimestre de la grossesse, la survenue de perturbations des dopplers ombilicaux, cérébraux ainsi que l'ICP a été un élément d'une prédiction de mauvais pronostic périnatal. Le doppler obstétrical permettrait d'améliorer le pronostic périnatal par un diagnostic précoce des complications en informant sur la qualité des échanges entre le fœtus et la mère au cours de la prééclampsie améliorant ainsi leur prise en charge.

Mots-clés : Echographie, Doppler, Grossesse, obstétrique, CHU-Bogodogo.

CO42 : EXPLORATION DE L'INFERTILITE FEMININE PAR L'HYSTEROSALPINGOGRAPHIE AU SERVICE DE RADIOLOGIE DU CHU DE TREICHVILLE : A PROPOS DE 100 CAS

Méité M2, Gui-Bilé LN1,2 , N'Tamon B2, Kouao JP2, Diambra LM-A2, Diabaté AS1,2, Yapo P1,2

1 : UFR des sciences médicales d'Abidjan

2 : Service de Radiodiagnostic et Imagerie du CHU de Treichville.

Auteur correspondant : meitemoman@gmail.com

INTRODUCTION : L'infertilité du couple constitue un véritable problème de santé publique. Malgré les nombreuses explorations modernes, l'hystérosalpingographie garde toujours ses indications dans la recherche d'une cause tubaire. L'objectif de notre étude était de revisiter la place de l'hystérosalpingographie dans le bilan l'infertilité féminine au service d'imagerie et de radiodiagnostic au CHU de Treichville

METHODOLOGIE : étude transversale, rétrospective à visée descriptive réalisée sur une période de 12 mois. Ont été inclus par échantillonnage de convenance, 100 patientes reçues au service de radiologie du CHU de Treichville pour un bilan d'infertilité.

RESULTATS : L'âge moyen de nos patientes était de $35,9 \pm 6,3$. L'HSG a permis de mettre en évidence des anomalies pouvant être en rapport avec une infertilité féminine chez 73,7% des patientes. Les anomalies tubaires représentaient 73% dominées par les obstructions tubaires postérieures unilatérales (45,3%). Les anomalies utérines étaient représentées 60% dominées par les myomes sous muqueux (41,1%) et les synéchies (14,7%). Les anomalies péritonéales étaient représentées dans 4% des cas et dominée par l'adhérence péritonéale unilatérale (5,3%).

CONCLUSION : L'hystérosalpingographie reste un examen de base dans l'évaluation initiale de la femme infertile. Elle a permis de mettre en évidence des anomalies utérines, tubaires et péritonéales.

MOTS-CLES : Infertilité, Hystérosalpingographie, Trompe.

CO 43 : Apport diagnostique étiologique de l'échographie dans les ictères pathologiques néonataux et leur retentissement cérébral aux centre hospitalier universitaire pédiatrique Charles de Gaulle (CHUP-CDG) ET Hospitalier Universitaire Yalgado Ouédraogo (CHU-YO) : à propos de 57 cas



CO44 : PARCOURS DES PATIENTS OPERES POUR UNE URGENCE ABDOMINALE NON TRAUMATIQUE AU CHU SYLVANUS OLYMPIO DE LOME (TOGO)

Tchangai Boyodi, Alassani Foussemi, Dosseh Ekoue D

Correspondance : Dr Boyodi TCHANGAI BP 57 Lomé Togo. Tel. 0022891863414

E.mail: botchangai@yahoo.fr

Introduction : l'objectif était de quantifier les différents délais entre le début des signes et la prise en charge des urgences chirurgicales abdominales non traumatiques et analyser les facteurs associés à ces délais.

Méthode d'étude: Il s'est agi d'une étude prospective observationnelle qui s'est déroulée du 01 octobre 2020 au 30 septembre 2021 soit une période de 12 mois. Les paramètres étudiés étaient : les données sociodémographiques, le parcours de soins avant la prise en charge aux urgences

Résultats : Nous avons inclus un total de 135 cas soit 57 femmes et 78 hommes, l'âge moyen était de 37,32 ± 14,38 ans en moyenne. Cent vingt-neuf patients (95,5%) n'avaient pas d'assurance maladie. Les étiologies les plus fréquentes étaient la péritonite aiguë généralisée, 43 cas, l'appendicite, 38 cas et l'occlusion intestinale aiguë, 30 cas. Parmi les patients 68 (50,3 %) avaient eu recours à l'automédication. Cent vingt-quatre patients (91,8 %) ont consulté dans une ou plusieurs autres formations sanitaires avant leur admission au CHU SO. Cent neuf (80,7%) ont consulté la première formation sanitaire dans un délai inférieur ou égal à 12 heures. Le délai entre l'apparition des symptômes et la consultation au CHUSO était supérieure à 72 heures chez 67 patients (49,6 %). La consultation dans une structure publique, l'absence d'assurance, et la réalisation d'une imagerie dans le parcours extra hospitalier étaient significativement associées à un délai extra hospitalier plus élevé ($p < 0,05$).

Conclusion : Le parcours des patients qui présentent une UCANT n'est pas optimal. Une meilleure organisation du système de santé est nécessaire pour amoindrir les différents délais dans le parcours du patient.

Mots-clés : Urgence chirurgicale, abdomen aigu, délai diagnostique, Togo.

CO45 : PROFIL EPIDEMIO-ECHOGRAPHIQUE DES LESIONS TRAUMATIQUES ABDOMINALES A MOPTI

Sanogo Souleymane^{1,3}, Kouma Alassane³, Guindo Ilias³, Cissé Issa³, Traoré Ousmane³, Koné Abdoulaye³, Diarra Oncoumba³, Dembélé Mamadou³, Traoré Bréhima², Sidibé Siaka³

1. Service de radiologie, Hôpital Sominé Dolo de Mopti, Mali
2. Service de chirurgie, Hôpital Sominé Dolo de Mopti, Mali
3. Faculté de Médecine et d'Odontostomatologie (FMOS), Bamako, Mali

Objectif: décrire le profil épidémio-échographique des lésions traumatiques abdominales à Mopti.

Méthodologie: Il s'agissait d'une étude descriptive transversale allant du 1er janvier au 30 avril 2019 soit 4 mois à l'hôpital de Mopti. Cette étude a concerné tous les patients avec un traumatisme abdominal ayant bénéficié une échographie abdominale pendant la période d'étude. Les variables analysées étaient l'âge, le sexe, l'étiologie, le diagnostic échographique et les caractéristiques sémiologiques (le siège, l'échogénicité et l'échostructure des lésions). L'enregistrement et l'analyse des données ont été faits avec les logiciels SPSS version 20 et Excel 2016.

Résultats: sur un total de 50 patients, la tranche d'âge de 15-29 ans a prédominé avec 42%. Le sexe masculin représentait 80%. Les armes à feu représentaient 56% des étiologies. La perforation d'un viscère creux digestif était la lésion fréquente avec 24%. L'aspect sémiologique échographique évocateur le plus fréquent était l'épanchement péritonéal avec des images émettant des artefacts en queue de comète soit 20%.

Conclusion: Le profil épidémiologique était dominé par la population jeune à prédominance masculine. Les armes à feu étaient l'étiologie la plus incriminée dans les lésions observées notamment les perforations digestives révélées par un épanchement péritonéal trouble avec des artefacts en queue de comète.



Mots clés: échographie, perforation, épanchement péritonéal, Mopti

Auteur correspondant: Dr SANOGO Souleymane,
Email: letjou123@gmail.com

CO 46 : Tomodensitométrie thoraco-abdomino-pelvienne dans le bilan d'extension des cancers de la tête du pancréas à Lomé au Togo

CO47 : PROFIL EN IMAGERIE DE LA PATHOLOGIE ABDOMINALE NON TRAUMATIQUE DU SUJET AGE A LOME

AMADOU A1. KAMANO FY2. DAGBE M3. SONHAYE L3. AGODA KOUSSEMA LK4. ADJENOU KV3
1- Centre Hospitalier Régional de KARA
2- Centre Hospitalier Universitaire Campus
3- Centre Hospitalier Universitaire de KARA
4- Centre Hospitalier Universitaire Sylvanus Olympio

RESUME :

Objectif : le but de ce travail était de déterminer le profil radiologique de la pathologie abdominale non traumatique du sujet âgé à Lomé.

Méthode : étude rétrospective et descriptive couvrant une période de 11 mois allant du 02 Octobre 2018 au 02 aout 2019 portant sur les comptes rendus d'examens radiologiques (échographie et scanner abdominal) réalisés au service de radiologie du CHU Campus sur les sujets âgés de 60 ans et plus. Les paramètres étudiés concernaient l'âge, le sexe, les indications des examens radiologiques et les résultats de ces examens selon les organes abdominaux.

Résultats : Nous avons recensés 292 patients âgés sur 1653 examens radiologiques soit 17,7%. L'âge moyen de nos patients était de $68,08 \pm 7,48$ ans. Les hommes représentaient 47,3%, soit un sex-ratio de 0,89. La douleur abdominale a été l'indication la plus retrouvée avec 38,3% des cas. Les examens pathologiques étaient retrouvés dans 77% des cas. Le foie était l'organe le plus atteint (55,1%) suivie du rein (21,6%). Concernant le foie, les tumeurs malignes étaient les plus retrouvés avec 24,2% (soit 15,5% de cancers primitifs et 8,7% de métastases), suivis de la sclérose hépatique (24,2%). Les lésions

rénales étaient essentiellement des kystes (68,3%) et une souffrance rénale (15,9%). L'ascite (68,3%) était l'anomalie péritonéale la plus retrouvée. Les lésions pancréatiques étaient dominées par les cancers du pancréas (66,7%), suivi de la pancréatite (20%). Les anomalies biliaires étaient dominées par les lithiases (46,3%) suivis des cancers et de la cholécystite avec chacun 26,8%. Les lésions herniaires et tumeurs malignes des anses étaient les anomalies intestinales les plus retrouvées (35,5% et 33,3%). La splénomégalie homogène (52,9%) dominait parmi les lésions spléniques

Conclusion : La pathologie abdominale du sujet âgé serait dominée par les lésions hépatiques. En général les lésions cancéreuses étaient prédominantes.

Mots clés : pathologie abdominale, sujet âgé, échographie, scanner, Lomé.

CO48 : IMAGERIE DANS LES CONTUSIONS ABDOMINALES DE L'ADULTE AU CHU SYLVANUS OLYMPIO DE LOME

AMADOU A1. TAMBALA CB2. DAGBE M3. SONHAYE L3. AGODA KOUSSEMA LK4. ADJENOU KV3
1- Centre Hospitalier Régional de KARA
2- Centre Hospitalier Universitaire Campus
3- Centre Hospitalier Universitaire de KARA
4- Centre Hospitalier Universitaire Sylvanus Olympio

Objectif : faire le bilan radiologique des lésions dans les contusions abdominales de l'adulte au CHU Sylvanus Olympio de Lomé.

Méthodes : étude transversale, descriptive avec une collecte rétrospective des données d'échographie et/ou de tomodensitométrie abdominales qui s'est déroulée sur une période de cinq (5) ans. Les variables étudiées étaient les données sociodémographiques, les circonstances et mécanismes, l'état clinique, les lésions d'organes, et la thérapeutique.

Résultats : Au total, nous avons colligé 46 cas, avec un âge moyen des patients était de 36 ± 14 ans. Le sex-ratio (H/F) était de 5,57. Les accidents de la voie publique (AVP) étaient les plus représentés avec



71,7%. L'état hémodynamique était stable chez 71,7% des patients.

L'hémopéritoine avec 52,2% était la lésion élémentaire la plus fréquente. La rate était l'organe le plus touché (58,7%) suivi du foie (32,6%) et des reins (4,3%). Le côlon et l'intestin grêle étaient touchés dans 13%. Les lésions spléniques étaient dominées par le grade II de l'AASST avec 23,1% alors que les lésions hépatiques étaient dominées par le grade IV de l'AASST avec 37,5%. L'abstention était le traitement chez 47,2% des patients et la chirurgie chez 32,6%. Un

(01) cas de décès (2,7%) était enregistré.

Conclusion : Les contusions abdominales sont relativement fréquentes, avec une prédominance des lésions spléniques et hépatiques

Mots-clés : Contusion abdominale, imagerie, lésions, traitement.

CO49 : GROSSESSE ABDOMINALE GEMELLAIRE : ENJEUX D'UN DIAGNOSTIC TARDIF EN IMAGERIE

Auteurs : BM-A TIEMTORE-KAMBOU, Y KIEMA, D R BAYALA, K ILBOUDO, L NIDJERGOU-KERE, A ZONGO-KOAMA, B BENAOUATTARA, R CISSÉ

Auteur correspondant : Bénilde Marie-Ange TIEMTORE-KAMBOU kbénildema@yahoo.fr

Les grossesses abdominales sont des grossesses extra utérines rares qui constituent des urgences obstétricales.

Observation : Nous rapportons le cas d'une grossesse gémellaire implantée au niveau abdominal découverte au 3^e trimestre dont une était évolutive et l'autre transformée en lithopédion chez une femme de 33 ans, G5, deux fausses couches, deux mort-nés sans enfant vivant. Les errances diagnostiques ont marqué cette grossesse qui a bénéficié de 3 échographies. Une première échographie objectivait une grossesse gémellaire bi chorale bi amniotique de 15 semaines 4 jours. La seconde notait une grossesse mono fœtale intra utérine évolutive de 30 semaines d'aménorrhée avec deux gros myomes prævia. La troisième échographie mettait en évidence un utérus vide et un

fœtus vivant de 34 semaines 5 jours en intra abdominale. S'y associaient deux placentas et une formation hypoéchogène ovalaire avec calcification périphérique en fosse iliaque droite de nature indéterminée. Une ascite de grande abondance complétait le tableau.

La tomodynamométrie abdomino pelvienne sans et après injection de produit de contraste iodé confirmait les données échographiques en mettant en évidence deux fœtus dont un vivant et l'autre transformé en lithopédion. Les organes pleins abdominaux maternels étaient sans particularité mais on notait une ascite de grande abondance. La patiente a été prise en charge chirurgicalement avec extraction du fœtus évolutif et du lithopédion. L'évolution a été marquée par le décès du fœtus évolutif dans les douze heures suivant sa naissance et des suites opératoires compliquées par un séjour en réanimation durant une semaine.

Conclusion : Au regard du caractère délicat de cette pathologie quant à sa prise en charge, le diagnostic précoce devrait être la règle notamment par un personnel qualifié. L'échographie dans des mains entraînées reste la modalité diagnostique incontournable.

Mots clés : grossesse abdominale gémellaire ; échographie ; TDM.

CO50 : CONTRIBUTION DU SCANNER DANS LE DIAGNOSTIC DES MASSES ABDOMINOPELVIENNES. A propos de 137 cas à l'Hôpital National Amirou Boubacar Diallo (HNABD) de Niamey.

S GUIDAH1, I BAKO2, B ABDOULKARIM1.

1. Service de radiologie, Hôpital National Lamordé (HNABD) de Niamey.

2. Service de radiologie, Hôpital Général de Référence (HNGR) de Niamey.

Introduction : Les masses abdominopelviennes sont des processus occupant, bénins ou malins développés au dépend d'un des compartiments de l'abdomen et ou du pelvis. Leur étude est aujourd'hui facilitée par les techniques d'imagerie en coupe notamment le scanner. Au Niger peu d'études ont été réalisées sur les MAP.



Objectifs : Dégager les aspects épidémiologiques, cliniques et radiologiques des MAP au Niger.

Résultats : 130 patients ont été concernés par cette étude : 70 hommes (53,85%) et 60 femmes (46,15%). L'âge moyen était de 42,20 ans avec une légère variation en fonction du sexe : 41,91 ans chez les hommes et 45,40 ans chez les femmes. 125 scanners sur 130 avaient retrouvé une masse soit 96,15% des cas. Le nombre total de masses retrouvées étaient de 137 avec souvent des associations chez un même patient. 63,50 % des masses étaient de siège intra péritonéales. Elles étaient dominées par les masses tumorales (47,44 % plus fréquentes dans les tranches de 40-49 et 50-59 ans) suivies par les kystes (24,09% plus fréquents aux tranches extrêmes) et les organomégalies (16,79% plus fréquentes entre 60-69 ans).

Conclusion : Les masses abdominopelviennes étaient plus fréquentes dans la région intra péritonéale. Le scanner est une technique d'imagerie disponible qui permet leur localisation et surtout de déterminer leur nature kystique ou solide. Elles étaient dominées par les masses tumorales suivies par les kystes et les organomégalies.

Mots clés : Masses abdominopelviennes, scanner, Niger.

CO51 : UTILISATION DE LA MAMMOGRAPHIE DANS LA REGION DU SUD-OUEST DU CAMEROUN : UNE ETUDE MIXTE EXPLICATIVE.

Auteurs : Joshua TAMBE, Yannick ONANA, Gregory HALLE-EKANE, Odile F. ZEH.

E-mail : joshua.tambe@ubuea.cm

Pays : Cameroun

Objectif : Cette étude visait à évaluer l'utilisation de la mammographie en utilisant le modèle behavioriste dans un hôpital de référence périphérique au Cameroun.

Méthodologie : Une étude à méthode mixte a été menée. Le registre des mammographies d'un hôpital régional de référence a été examiné sur une période

de cinq ans (du 1er janvier 2017 au 31 janvier 2022) et des données quantitatives ont été extraites. Les numéros de téléphone de certaines patientes ont été sélectionnés au hasard dans le registre, et les participantes consentantes ont été interrogées jusqu'à saturation des données.

Résultats : Un total de 392 mammographies ont été réalisées au cours de la période d'étude. Trente-cinq dossiers ont été exclus de l'analyse, étant des examens répétés ou manquant d'indications. L'âge médian était de 47 ans (fourchette : 20 à 73) et toutes les sujets étaient des femmes. Il y a eu 266 mammographies diagnostiques, soit 74,5 % (intervalle de confiance à 95 % [IC] : 69,7-79,0). Les indications étaient les suivantes : douleur/sensibilité (161 cas ; 45,1%), ensuite nodule / tuméfaction ou masse mammaire (70 cas ; 19,6%) et écoulement du mamelon (15 cas ; 4,2%). La crainte que les symptômes mammaires soient dus à un cancer était une incitation importante à consulter, mais elle a également dissuadé certaines personnes. Les rendez-vous pour les mammographies de contrôle n'étaient pas souvent respectés si la mammographie initiale était considérée comme normale. Parmi les autres facteurs incitants aux soins, nous pouvons retenir le décès d'une amie, d'un membre de la famille, d'une collègue ou d'une connaissance lié au cancer du sein. Les difficultés financières, la douleur, la méconnaissance de cette méthode d'imagerie, l'absence de soutien psychosocial, et un système de rendez-vous ont été signalés comme des facteurs dissuasifs.

Conclusion : La mammographie est encore sous-utilisée dans le cadre de la lutte contre le cancer du sein. Des solutions adaptées au contexte pour remédier aux facteurs de dissuasion pourraient encourager une meilleure utilisation et améliorer l'adoption de la pratique.

Mots clés : Mammographie, utilisation, modèle behavioriste.



CO52 : PROFIL MAMMOGRAPHIQUE DES FEMMES DANS LE SERVICE DE RADIOLOGIE D'UN HOPITAL DE 1^{ère} CATEGORIE DE LA VILLE DE DOUALA.

Auteurs : Yannick Onana, Joshua Tambe, Samuel Mbozo'o, Odile Fernande Zeh, Emile Telesphore Mboudou

E-mail: yannickonana@yahoo.fr

Pays: Cameroun

Objectif : Le cancer du sein est le cancer le plus fréquent au monde, et serait principalement la première ou seconde cause de décès chez la femme de suite de cancer en Afrique sub-saharienne. Le but de notre étude était de préciser les caractéristiques lésionnelles des mammographies des femmes dans un hôpital de référence à Douala (Cameroun).

Méthodologie : Nous avons mené une étude transversale rétrospective et descriptive entre janvier 2019 et décembre 2020, durant laquelle nous avons extrait des données des mammographies réalisées chez les femmes à l'Hôpital Gynéco-Obstétrique et Pédiatrique de Douala, via leurs comptes-rendus standardisés. La saisie et l'analyse ont été effectuées par EPI Data version 3.1.

Résultats : Sur 247 dossiers de mammographies, la tranche d'âge la plus représentée était celle de 50-60 ans (36,84%), avec un âge médian de 52 ans (IIQ : 48-59). L'indication d'examen la plus courante était le dépistage collectif lors des campagnes (45,34%). La densité mammaire de type B était largement la plus répandue (72,87%). Les micro-calcifications constituaient les lésions les plus fréquentes (23,08%), notamment de type bénin. Quant aux autres lésions, il s'agissait d'opacités nodulaires (18,662%), et des images spiculaires (0,81%). 39,27% des mammographies étaient rapportées comme normales. Une échographie complémentaire avait été demandée dans 16,19% des cas. 3,24% des cas étaient suspects de malignité (ACR 4), et 2,02% fortement évocateurs (ACR 5).

Conclusion : Bien que les patientes âgées de 50 à 60 ans soient les plus représentées dans notre étude, venant à l'occasion d'un dépistage de masse, et présentant en grande majorité des résultats normaux, il demeure important de sensibiliser les femmes

relativement plus jeunes sur l'importance de faire une mammographie, d'autant plus qu'il est observé dans les études hospitalières qu'une proportion de plus en plus importante des jeunes femmes présentent le cancer du sein dans notre contexte.

Mots clés : Mammographie, cancer du sein, BIRADS

CO53 : BILAN ECHO-MAMMOGRAPHIQUE DANS LA PATHOLOGIE MAMMAIRE AU TOGO A PROPOS DE 4703 CAS.

Amadou A1, Keita AK 1, Dagbé M2, Sonhaye L3, Agoda-Koussema LK4, Adjenou K3.

1. Service de radiologie, CHR Kara, kara - Togo
2. Service de radiologie, CHU Kara, Kara - Togo
3. Service de radiologie, CHU Campus, Lomé - Togo
4. Service de radiologie, CHU - SO, Lomé - Togo

Résumé

Objectif : déterminer les lésions mammaires par le couple la mammographie-échographie au Togo.

Méthode : Etude multicentrique rétrospective, descriptive et statistique, qui s'était déroulée sur une durée de trois ans (janvier 2018 à décembre 2020) au Togo. Nous avons inclus toutes les femmes reçues pour réaliser la mammographie couplée à l'échographie dans le cadre de l'exploration d'une pathologie mammaire. L'existence d'une pathologie mammaire (bénigne ou maligne) était considérée comme un résultat pathologique. Les résultats étaient classés selon la classification BIRADS.

Résultats : Notre étude a porté sur 4703 comptes rendus d'écho-mammographie. L'âge moyen des femmes était de 44 ans. La mastodynie était le motif principal de réalisation de l'examen écho-mammographique avec 36,2 %.

Les lésions étaient retrouvées dans 32,0% et 43,3% respectivement à la mammographie et à l'échographie. Elles siégeaient préférentiellement au QSE dans 44,0%. Les lésions étaient dominées par les masses avec 41,6%, suivie des calcifications avec 17,89%. Les lésions malignes (BIRADS IV et V)



représentaient 10,7% des lésions et étaient plus retrouvées à partir de l'âge de 30 ans, avec une prédominance dans les seins graisseux.

La sensibilité de la mammographie était de 84,6 % avec une spécificité de 76,2%.

La sensibilité de l'échographie était de 62,62 % avec une spécificité de 91,3%.

Conclusion : le couple écho-mammographie est d'une grande importance dans le diagnostic des pathologies mammaires.

Mots clés : Pathologie mammaire, mammographie, échographie, BIRADS, Togo

CO54 : APPORT ET ACCESSIBILITE DE L'IMAGERIE DANS LA PRISE EN CHARGE DES CANCERS DU SEIN EN MILIEU HOSPITALIER AU BENIN EN 2019.

Auteurs : A.P. YEKPE AHOANSOU*, F. GNANGNON**, S.B.M.G. ADJADOHOUN*, M.S. SEWANOU*, H.F.B. HOUEDANOU*, J.G.K. KASHOMBO*, KMS SAVI De TOVE***, O. BIAOU*, V BOCO*

* Service d'imagerie médicale, Centre National Hospitalier Universitaire Huber Koutoukou Maga (CNHU-HKM) de Cotonou

*Service de chirurgie oncologique, Centre National Hospitalier Universitaire Huber Koutoukou Maga (CNHU-HKM) de Cotonou

*** Service d'imagerie médicale, Centre National Hospitalier Universitaire Départemental du Borgou et de l'Alibori

Auteur correspondant : S. ADJADOHOUN ; mahussi222@yahoo.fr; 07BP175 Cotonou Bénin. Téléphone : 0022961154987

RESUME

Introduction : Le bilan d'imagerie dans la prise en charge du cancer de sein, fait intervenir plusieurs modalités d'imagerie dont le couple mammographie /échographie en 1ère intention. Mais ces examens semblent ne pas toujours être disponibles et/ou accessibles au Bénin.

Objectif : évaluer l'accessibilité à l'imagerie dans le traitement des cancers du sein.

Matériels et méthodes : Étude transversale descriptive réalisée sur 6 mois (du 1er octobre 2018 au 31 mars 2019), portant sur les hôpitaux du niveau central et intermédiaire du système sanitaire béninois, disposant d'un service d'imagerie médicale et offrant des soins pour une pathologie mammaire. Les variables étudiées étaient la disponibilité du matériel, le coût des examens, le nombre de radiologues et de techniciens. La collecte des données a été réalisée grâce à une fiche standardisée et un interrogatoire. L'analyse des données a été réalisée grâce au logiciel STATA version 13.

Résultats : La mammographie était disponible et fonctionnelle uniquement dans le CHUD Ouémé-Plateau, et coûtait 18000 FCFA soit 45% du SMIG béninois. L'échographie mammaire était disponible dans tous les centres mais non fonctionnelle au CHU-MEL, et coûtait en moyenne 11775FCFA soit 29,44% du SMIG béninois. La TDM était disponible à l'HIA-CHU et au CNHU-HKM, et coûtait 80000 FCFA soit 200% du SMIG béninois.

Conclusion : L'accessibilité et la disponibilité des examens d'imagerie dans la prise en charge des cancers du sein est très faible, dans la pyramide sanitaire béninoise. Un programme national de dépistage du cancer de sein par mammographie adapté à notre contexte socio-économique devrait être instauré.

Mots clés : Cancer, sein, accessibilité, imagerie, Bénin

CO55 : PREVALENCE DES ANOMALIES RADIOLOGIQUES DANS LE CADRE DE LA MAMMOGRAPHIE DU DEPISTAGE INDIVIDUEL DU CANCER DU SEIN A YAOUNDE

Auteur : MBALLA Amougou Jean Claude, tel 237 699641901

Co auteurs: Onana Yannick, Mbede Maggy, Awono Armel, SEME Ambroise, Mbo'o Amvene Geremie, ZEH Odille Fernande

Résumé

Introduction : Le cancer de sein est et demeure un véritable problème de santé publique dans monde. Au



Cameroun, le dépistage individuel mammographique reste le principal outil pour la détection des anomalies mammaires au stade infra-clinique. Nous avons décidé de mener cette étude afin d'apporter notre contribution à la prise en charge de cette maladie.

Objectif : déterminer la prévalence des anomalies dans le cadre du dépistage individuel du cancer du sein.

Méthodologie : Nous avons mené une étude rétrospective descriptive transversale multicentrique sur une durée de 7 mois, du 1er novembre 2019 au 31 mai 2020 dans deux centres de radiologie de la ville de Yaoundé. L'échantillonnage était consécutif et non exhaustif. Nous avons exclu les femmes déjà suivies pour un cancer du sein, ou une autre pathologie mammaire évolutive ou traitée. Les variables sociodémographiques, les antécédents et paracliniques avec les doses d'irradiation glandulaire, Doses Glandulaire Moyenne étaient étudiées. Nous avons utilisé les logiciels Microsoft office word pour la saisie de nos données et Excel 2016 dans la réalisation de nos tableaux et figures. Les données collectées ont été analysées au logiciel Statistical Package for Social Sciences (SPSS) version 10.1.

Résultats : Nous avons recruté 220 dossiers. l'âge moyen les femmes était de 50 ± 9 ans, 21 femmes avaient un âge inférieur à 40 ans (soit 9,6% des cas) ; 110 avaient un âge inférieur ou égal à 50 ans (soit 50 % des cas); 123 avaient au moins 4 grossesses (soit 55,9% des cas) ; 19,5% avaient des antécédents familiaux de cancer du sein, 22% avaient un traitement hormonal, 6% utilisaient une méthode contraceptive, 65,3% avaient allaités, 17,8% avaient une puberté précoce, l'âge moyen de la ménopause était de 47 ans pour un effectif de 132(soit 44%). Suivant la Bi-Rads 11,8% des seins étaient de type A ; 53,2 de type B ; 22,3% étaient de type C et 4,1% de type D. La prévalence des anomalies radiologiques est de 29,1%. Les principales anomalies retrouvées étaient des microcalcifications(16,1% des cas) et les opacités(13% des cas). Ces anomalies étaient localisées en majorité sur le QSE (21,15% des cas). Selon l'ACR, 266 sein n'avaient aucune anomalies (60,45% des cas), 62 étaient de type ACR0 (14,09% des cas) ; 74 étaient de types ACR2 (16,84% des cas); environ 16 étaient ACR 3(3,63% des cas) ; 19 étaient classées ACR4 (4,31% des cas) ; 3 classées ACR

5(soit 0,68% des cas). Le NRD des incidences Cranio-Caudales 1,010 mGy ; Le NRD des incidences Médio-Latérale Obliques 0,981 mGy et le NRD total équivalent à 0,991 mGy.

Conclusion :

Les anomalies mammographies du sein sont des affections rencontrées avec une prévalence est de 29,1% pour notre population d'âge assez jeune. Les microcalcifications et les opacités ont été retrouvées comme principales anomalies. Le NRD outil pour l'optimisation des expositions des patients dans le domaine de l'imagerie médicale était de 0,991 mGy.

Mots clés : Dépistage individuel, sein, niveau de référence diagnostique.

CO56 : APPORT DU COUPLE ECHOGRAPHIE-MAMMOGRAPHIE DANS LE DIAGNOSTIC DES PATHOLOGIES MAMMAIRES AU C. I. D « TERIYA » DE BAMAKO.

Ilias GUINDO1-5, Mamadou N'DIAYE2 Mody A CAMARA3, Souleymane SANOGO4, Youssouf GOITA1, Salia COULIBALY1, Amadou SOW5, Mohamed MALINKE6, Mahamadou DIALLO5.

Auteur correspondant : Dr Guindo Ilias : +223 76 53 53 41. ilias.guindo2000@gmail.com

Résumé :

Introduction : La pathologie mammaire est variée, regroupant les lésions tumorales et non tumorales. La mammographie est l'examen clé dans le diagnostic précoce des lésions mammaires. L'échographie mammaire occupe une place de choix là où la mammographie s'avère peu performante.

Objectif : Etudier l'apport du couple échographie-mammographie dans le diagnostic des pathologies mammaires

Matériels et méthode : Il s'agissait d'une étude descriptive rétrospective, réalisée sur une période de 03 ans (janvier 2018 - décembre 2020) au Centre d'Imagerie Diagnostique (C.I.D) « TERIYA » de BAMAKO. Les appareils utilisés sont : un échographe Voluson 730 PRO et un mammographe de type G 600T.



Résultats : Nous avons colligés 382 dossiers avec 254 pathologies mammaires, soit une fréquence de 66,49%. L'âge moyen de nos patientes était de 41 ans. Les données cliniques dominantes ont été la mastodynie (41,88%) et le nodule mammaire (21,70%). A l'imagerie (mammo-échographie) les lésions prédominaient à gauche dans 36% des cas, bilatérale dans 28% des cas et dans les quadrants supéro-externes dans 31,5% des cas. Les pathologies tumorales représentaient 66,54% dont 45,27% bénignes composées majoritairement de fibroadénome (20,88%) et de kyste (18,50%), 11,8% de cas suspects et 9,45% de cancers. Les pathologies non tumorales ont représenté 33,46% essentiellement de mastites (16,14%), de dilatations galactophoriques (11,02%) et d'abcès (5,51%). Ces pathologies étaient classées dans 50,3% en ACR2, 17,75% en ACR3 et 4, et dans 14,20% en ACR5. Les adénopathies étaient présentes dans 73,21% des cas.

Mots clés : Pathologies mammaires ; échographie-mammographie ; C.I.D TERIYA.

CO57 : CONTRIBUTION DU SCANNER DANS LE DIAGNOSTIC DES PATHOLOGIES CÉRÉBRALES DE L'ENFANT A BANGUI

Auteurs : Kouandongui Bangué Songrou F, Mobima T, Sombot Soule Y, Tambala B, Guiba Kette J.
E-mail : fkouando@gmail.com
Pays : Centrafrique

Objectif : décrire les pathologies cérébrales rencontrées chez l'enfant à Bangui à l'aire du scanner. **Méthodologie :** étude transversale réalisée au Centre National d'Imagerie de Bangui, centre de référence de la Centrafrique. Elle a concerné tous les sujets de 0 à 16 ans, ayant réalisé des scanners crano encéphaliques entre le 1er mars 2021 et le 28 février 2022. L'examen était réalisé avec un scanner de marque HITACHI SUPRIA 16 barrettes. **Résultats :** 51 scanners cérébraux ont été réalisés sur un ensemble de 64 scanner chez l'enfant soit une fréquence de 79,7%. L'âge moyen était de 10,7 ans (extrêmes 2 -16 ans). Les patients de 10 à 14 ans étaient les plus représentés (60,8%). Le sexe masculin prédominait avec 56,9%. Les principales indications étaient la recherche d'un processus expansif (29,4%)

suivies de traumatisme crano encéphalique (23,5%). Dans 76,5% des cas l'examen a été réalisé avec une injection du produit de contraste. La prémédication a été réalisée dans 15,7% des cas. L'examen scannographique était pathologique dans 60,8% dans cas. Ces pathologies étaient représentées par des lésions post traumatiques (29,3%) dont les hématomes intra parenchymateux (7,8%), les hématomes extra duraux (5,9%), les hématomes sous duraux, les contusions hémorragiques, les fractures de la voute du crâne et les corps étrangers intra cérébraux, chacune de ces lésions représentées à hauteur de 3,9%. Les hydrocéphalies non communicantes étaient représentées à 19,6%. Les autres anomalies observées étaient des malformations de la fosse postérieure (9,8%), les tumeurs cérébrales (5,9%) et des cavités porencéphaliques (5,9%). **Conclusion :** le scanner cérébral est très contributif dans l'exploration des pathologies cérébrales de l'enfant à Bangui

Mots clés : scanner cérébral, enfant, Bangui

CO58 : SYNDROME DE « BURNOUT » CHEZ LES MEDECINS-RADIOLOGISTES : UNE REALITE EN EVOLUTION.

Auteurs : Joshua Tambe, Yannick Onana, Boniface Moifo, Odile F. Zeh
E-mail : joshua.tambe@ubuea.cm
Pays : Cameroun

Objectif : Le syndrome de « burnout » est en plein essor chez les professionnels de la santé et les médecins-radiologistes ne sont pas épargnés. Souvent associé à l'anxiété et à la dépression, le « burnout » peut être à l'origine des erreurs médicales et du suicide. Le but de cette étude est de recenser les écrits afin de mieux cerner l'ampleur et les facteurs de risque pour pouvoir les minimiser.

Méthodologie : Une recherche documentaire était effectuée dans la base de données PubMed® à travers les mots-clés rédigés en anglais. Le triage des publications retrouvées jusqu'à la date du 4 février 2022 étaient fait en lisant les titres et/ou les abstracts. Toutes les publications sur le « burnout » chez les médecins-radiologistes, associées ou non à l'anxiété et à la dépression étaient sélectionnées pour étude



Résultats : Cent-une publications étaient retrouvées au total dont 37 retenues pour exploitation. Les années de publication c'était entre 1996 et 2022. La prévalence du « burnout » était entre 17.8% et 79%. Le taux de « burnout » le plus faible était chez les « chairs » de radiologie (5%). Les facteurs y associés étaient le sexe féminin, le nombre d'années d'exercice inférieur à 10 ans, l'absence de l'esprit d'équipe et de flexibilité dans le travail, le surcharge de travail, les exigences pour la disponibilité des résultats dans les plus brefs délais, le déséquilibre entre le travail et la vie personnelle, l'absence d'autonomie dans son travail, le nombre de gardes élevées, le manque d'appréciation par les patients, les collègues et la hiérarchie, les attentes surréalistes de perfection, la commercialisation de la spécialité, l'énormité de la documentation, la crainte de raté le diagnostic, la frustration de ne pas avoir les éléments cliniques suffisants, et une faible rémunération.

Conclusion : Le « burnout » est réel chez les médecins-radiologistes et souvent lié à des conditions de travail. Les mesures pour améliorer ces conditions doivent être sérieusement adaptées pour préserver la santé mentale du médecin-radiologiste.

Mots clés : Syndrome de « burnout », médecin-radiologiste, anxiété, dépression.

CO59 : DEMANDES D'EXAMENS TDM « NON PERTINENTES » : CONSEQUENCE INATTENDUE DE L'ACCES UNIVERSEL AUX SOINS.

Auteurs : Joshua Tambe, Yannick Onana, Sylviane Dongmo, Georges Nguefack-Tsague, Pierre Ongolo-Zogo

E-mail : joshua.tambe@ubuea.cm

Pays : Cameroun

Objectif : L'assurance maladie facilite l'accès aux soins et diminue le fardeau financier lié au paiement direct en espèce pour les soins. Le but de cette étude était d'évaluer l'effet de la souscription à une assurance maladie sur l'utilisation de la tomodensitométrie à rayons X (TDM-X) dans un hôpital de référence intermédiaire au Cameroun.

Méthodologie : Une étude prospective et transversale était menée pendant une période de 12 mois dans le service de Radiologie de l'Hôpital Régional de Limbé, au Cameroun. Les patients référés pour faire un examen TDM-X ayant donné leur consentement éclairé étaient recrutés. Les données étaient collectées sur la région anatomique de l'examen, l'indication clinique et la méthode de paiement. La pertinence des indications était déterminée en utilisant les ressources en ligne de l'American College of Radiologists Appropriateness Criteria®.

Résultats : Au total, 372 participants étaient recrutés de façon consécutive dont 167 (45%) étaient de sexe féminin. L'âge médian était de 52 ans (intervalle : 18 à 92 ans). Trente-et-huit participants sur 370 avaient une assurance maladie (10,3% ; Intervalle de confiance à 95% [IC95%] : 7,2%-13,4%). Les indications pour 29 sur 352 demandes de TDM-X étaient jugées comme « non pertinentes » (8,2% ; IC95% = 5,3-11,0). Le pourcentage des examens TDM-X jugés comme étant « non pertinents » étaient plus élevé chez les participants ayant une assurance maladie par rapport à ceux qui payait directement en espèce de leur poche (18,4% vs. 7,0% ; $\chi^2 = 5,8$, $p=0,02$). Lors des analyses de régression logistique multivariées seul le niveau de scolarisation au-delà des études secondaires était associé à la pertinence des demandes d'examens TDM-X (RCa : 0,35 [IC95% = 0,13-0,91 ; $p=0,032$]).

Conclusion : Le pourcentage des demandes de TDM-X jugées non pertinentes était faible et associé à la possession de l'assurance maladie. Cette association est perçue comme une conséquence inattendue, nécessitant des mesures de contrôle pour éviter le gaspillage des ressources.

Mots clés : Assurance maladie, tomodensitométrie à rayons X, utilisation.

CO60 : DIFFICULTES DE FONCTIONNEMENT DES SERVICES DE RADIOLOGIE EN ZONES SEMI-URBAINES ET RURALES : ANALYSE SITUATIONNELLE ET PISTES DE SOLUTIONS.

Auteurs : Moulion Tapouh Jean Roger^{1,2*}, Moifo Boniface^{3,4}, Samuel Nko'o Amvène^{4,5}, Solomzi



Makohliso6, Bertrand Klaiber7, Romain Sahli7, Beat Stoll8, Klaus Schönenberger6.

E-mail : tapouh@gmail.com

Pays : Cameroun

Objectif : Proposer une analyse des facteurs qui limitent le fonctionnement des services de radiologie en zones semi-urbaines et rurales au Cameroun et proposer des pistes de solutions.

Méthodologie : Analyse situationnelle.

Résultats : Analyse situationnelle

Les équipements de bonne qualité ont coûté élevé. Les budgets des services de radiologie prévoient rarement la maintenance préventive (estimée à environ 8% du coût d'achat) entraînant des interruptions fréquentes de services à cause de pannes récurrentes pourtant prévisibles. La multiplicité des fournisseurs et des marques d'appareils rendent difficile l'accès à la maintenance pour des ingénieurs locaux et polyvalents. La mauvaise qualité de l'électricité avec des interruptions ou des fluctuations de tension fréquentes entraînent environ 30 % des dommages aux équipements. L'environnement des hôpitaux est généralement chaud, humide et poussiéreux ne correspondant pas aux spécifications techniques de la plupart des appareils initialement conçus pour les pays occidentaux. Les personnels techniques d'imagerie et les radiologues qualifiés sont majoritairement installés dans les centres urbains.

Pistes de solution

Les sociétés savantes peuvent mener un plaidoyer auprès des décideurs pour obtenir : une uniformisation des marques d'équipements livrés dans les hôpitaux, l'allocation de budgets pour les contrats de maintenance, un cadre légal pour permettre aux hôpitaux de recruter et payer localement des personnels. Sur le plan technologique, un lobbying permettrait d'encourager le développement et la commercialisation d'équipements de bonne qualité, adaptés aux conditions d'utilisation dans les pays tropicaux (supercondensateurs, batteries, motilité mécanique...)

Conclusion : La fonctionnalité des services de radiologie en zones semi-urbaines et rurales est fortement limitée par des facteurs managériaux,

infrastructurels, environnementaux et humains. Une action synergique des pouvoirs politiques, des sociétés savantes et des industriels est nécessaire pour résoudre ces difficultés.

Mots clés : Service – Radiologie- Fonctionnalité – Analyse situationnelle – Solutions.

CO61 : QUALITE DES DEMANDES D'EXAMEN D'IMAGERIE MEDICALE A L'HOPITAL GENERAL DE REFERENCE DE NIAMEY

Auteurs : BOUBE A.H, BAKO D.I, IBRAHIM A.F, HALIDO M. GUIDAH S.

E-mail : habibouabarchi@gmail.com

Pays : Niger

Objectif : L'objectif de cette étude était d'évaluer la conformité des demandes d'examen d'imagerie médicale à l'hôpital général de référence de Niamey.

Méthodologie : Il s'est agi d'une étude prospective transversale descriptive réalisée sur une période de trois (3) mois, du 2 Janvier au 31 Mars 2021.

Six cents (600) demandes ont été prises en compte selon les statistiques antérieures des activités du service.

Résultats : Le nom du patient était le seul critère mentionné à 100%. L'âge était présent dans (81,17%) des cas. Le sexe était renseigné sur 60 demandes d'examen (10%). Le renseignement clinique était inscrit sur 481 demandes d'examen (80,17%). La finalité avait un très faible taux qui était de (3%). Le nom, la signature, le cachet et le numéro de téléphone du prescripteur étaient présents respectivement dans (65%) ; (77%) ; (76,50%) et (3,33%) des cas. Les demandes provenaient de l'HGR dans (61,67%) des cas. Le service demandeur et la date de la demande figuraient respectivement dans (50%) et (96%) des cas. Le taux de non-conformité était de 100%. Tous les prescripteurs, sans distinction de titre avaient un remplissage non-conforme..

Conclusion : La demande d'examen d'imagerie médicale est globalement mal remplie dans notre milieu et ceci sans distinction de la qualité du



prescripteur. Cependant elle nécessite un remplissage sérieux et rigoureux pour éviter une irradiation inutile et permettre une meilleure prise en charge des patients.

Mots clés : Qualité, demande d'examen d'imagerie, Niger.

CO62 : INFECTIONS OSTEOARTICULAIRES DES MEMBRES AU CENTRE HOSPITALIER NATIONAL D'ENFANTS ALBERT ROYER DE DAKAR : APPORT DE L'ECHOGRAPHIE ET DE LA RADIOGRAPHIE

Ly, C.T. Diop, A.B. Diop, N. Badji, A. Dia, C. K. Dieng
Service de Radiologie. Centre Hospitalier National d'Enfants Albert Royer

Objectifs

Décrire les aspects en imagerie des infections ostéoarticulaires des membres. Confronter les aspects échographiques et radiographiques, épidémiologiques et cliniques.

Matériels et méthode

Une étude monocentrique, observationnelle, rétrospective, descriptive et analytique sur 3 ans a concerné 150 dossiers d'enfants suivis au service de chirurgie pédiatrique du CHEAR de Dakar. La plupart avait bénéficié d'une échographie et ou d'une radiographie.

Résultats

Les enfants de 6 à 11 ans étaient prédominants avec un âge moyen de 6 ans. Le sex-ratio était en faveur des garçons. 13,3% de nos patients étaient drépanocytaires. Un traumatisme initial était noté chez 36%. La porte d'entrée était retrouvée dans 20% des cas. Le membre pelvien était touché dans 89% des cas. Des anomalies précoces étaient mises en évidence à l'échographie dans 97,5% des cas et à la radiographie standard dans 73,4%.

La ponction métaphysaire ou articulaire n'était positive que dans la moitié des cas.

La confrontation des aspects radiologiques, aux données épidémiologiques, cliniques montrait des corrélations statistiquement significatives entre le

séquestre, la porte d'entrée cutanée, le terrain drépanocytaire et le trajet fistuleux.

Conclusion

Les IOA sont des urgences diagnostiques et thérapeutiques du fait des risques septiques et des séquelles fonctionnelles qui peuvent être majeurs surtout chez les plus jeunes. Dans nos régions, l'indisponibilité de l'IRM oblige à reconsidérer la place de l'imagerie conventionnelle dans leur prise en charge précoce.

Mots clés : Infection-os-membres-échographie-radiographie.

CO63 : PROFIL REMNOLOGIQUE DE L'ÉPAULE DOULOUREUSE NON TRAUMATIQUE A LOME (TOGO)

Auteurs : TCHAOU M1, 2, KLUYIBO K2, BIGONYI S1, SONHAYE3

E-mail : pascalkomi@gmail.com

Pays : Togo

Objectif : Etudier les différentes pathologies de l'épaule non traumatique à l'IRM.

Méthodologie : Etude transversale qui s'est déroulée sur une période de trente-six mois allant du 1er janvier 2018 au 31 décembre 2020, portant sur les comptes rendus d'IRM de l'épaule.

Résultats : Durant la période d'étude, soixante-cinq (65) dossiers répondaient à nos critères de sélection avec une fréquence de 1,76 %. L'âge moyen des patients était de 49 ans avec des extrêmes allant de 6 à 79 ans. La tranche d'âge de 50-60 ans était la plus représentée. Le sexe masculin était prédominant dans 69,2 % des cas avec un sex-ratio de 2,25. Le côté droit était le plus touché dans 66,2 % des cas. Les séquences pondérées en T1, T2 et une séquence avec saturation du signal de la graisse étaient les plus utilisées. Le diagnostic était dominé par les ruptures transfixiantes avec 24,6 % des cas ; les arthroses gléno-humérales avec 20 % des cas.

Conclusion : L'IRM est le moyen d'imagerie le plus utile qui permet l'analyse de toutes les structures anatomiques de l'épaule. Elle apporte les informations nécessaires au diagnostic et à la prise en



charge des personnes atteintes par une douleur de l'épaule.

Mots clés : IRM, épaule, coiffe des rotateurs, rupture transfixiante, arthrose, Lomé.

CO64 : APPORT DU BODYSCANNER DANS LES POLYTRAUMATISMES

Auteurs : R-M. KABAS, J-P.S. KOUAO, L.M-A DIAMBRA, M. MEITE, B. N'TAMON, A. TOURE, A.S. DIABATE, Z. OUALID
E-mail : rmkabas@gmail.com
Pays : Côte-d'Ivoire

Objectif : Montrer l'intérêt du bodyscanner dans les polytraumatismes et évaluer la concordance clinico-radiologique

Méthodologie : Etude rétrospective de 62 dossiers de polytraumatisés ayant eu un bodyscanner sur un scanner 128 barrettes de marque Philips à la polyclinique Farah d'Abidjan (protocole : crâne sans injection et TAP avec injection multiphasique).

Résultats : L'âge moyen était de $33,37 \pm 16,3$ ans. Le sex ratio était de 2,65. Les AVP étaient le principal motif (71%). Il y avait une perte de connaissance initiale et un coma dans respectivement 32,3% et 17,7% des cas. Au bodyscanner les sites les plus atteints étaient thoraciques (60%), les membres (57%), cranio-encéphaliques (27%) et les vaisseaux. Les lésions retrouvées étaient des contusions pulmonaires (21%), les fractures maxillo-faciales et les contusions cérébrales (11,3% chacun), les fractures du fémur (11,3%) et les lésions vasculaires des extrémités (13%). La DLP moyenne était de 4000 mGy-cm. La TDM objectivait des lésions occultes cliniquement dans 30,6%. Le coefficient de concordance kappa entre l'examen clinique et les résultats du scanner était de médiocre à moyen selon les étages.

Conclusion : Notre étude montrait une bonne corrélation clinico-radiologique. La découverte de lésions occultes justifie la réalisation systématique du bodyscanner en cas de polytraumatisme.

Mots clés : Polytraumatisme, Bodyscanner.

CO65 : BILAN D'ACTIVITE D'UNE IRM 1.5T DANS LA PATHOLOGIE DU GENOU

Auteurs : R-M. KABAS, J-P.S. KOUAO, L.M-A DIAMBRA, M. MEITE, B. N'TAMON, A. TOURE, A.S. DIABATE, Z. OUALID
E-mail : rmkabas@gmail.com
Pays : Côte-d'Ivoire

Objectif : Montrer l'apport de l'IRM 1.5T dans le diagnostic des lésions du genou.

Méthodologie : Etude rétrospective analytique sur 12 mois de 220 dossiers de patients ayant eu une IRM 1.5T du genou effectué sur un appareil de marque Phillips Multiva quel que soit l'âge et le sexe.

Résultats : L'âge moyen était de $39 \pm 16,97$ ans. Le sex ratio était de 2,67. Le motif de consultation était dominé par la gonalgie (56,36%) droite (54,09%). Un antécédent traumatique était retrouvé dans 37,27% des cas. Le protocole STIR dans les 3 plans, sagittale EST1 et T2* était pratiqué (45,91%). L'IRM était pathologique dans 78,64% des cas avec atteinte du genou droit (54,09%). Les lésions prédominaient dans le compartiment fémoro-tibial médial (42,27%). Les lésions traumatiques et non traumatiques étaient dominées respectivement au compartiment fémoro-patellaire par la contusion patellaire (8,53%) et la gonarthrose (9,42%), au compartiment fémoro-tibial médial et latéral par la fissure méniscale (18,29% et 14,63%, et 26,81% et 7,97%) et au pivot central par la rupture partielle ou totale du ligament croisé antérieur (25,61% et 10,86%). Les autres lésions traumatiques étaient dominées par l'épanchement intra-articulaire (40,24%).

Conclusion : Notre étude a permis de montrer que l'IRM de haut champ permettait un bilan lésionnel précis et exhaustif des lésions. Ceci nécessite un bon protocole et une courbe d'apprentissage.

Mots clés : IRM 1.5T, genou, lésion, traumatisme.



CO66 : PROFIL RADIOGRAPHIQUE ET TOMODENSITOMETRIQUE DES METASTASES VERTEBRALES : CAS DU CHU SYLVANUS OLYMPIO LOME (TOGO)

NGUIMDO F, DIALLO M, AHONYI K, KPAKPAO P, TCHAOU J, SONHAYE L, AMADOU, AGODAKOUSSEMA LK

Objectif

Etudier le profil radiographique et tomodensitométrique des métastases vertébrales.

Méthodes

Etude rétrospective et descriptive qui s'est déroulée sur une période de 05 ans allant du 1er janvier 2016 au 31 décembre 2020. Elle a intéressé les dossiers des patients hospitalisés dans le service de rhumatologie du CHU SO de Lomé pour métastases vertébrales révélées par une radiographie et/ou une tomodensitométrie.

Résultat

Au total trente-cinq (35) dossiers ont répondu à nos critères de sélection soit une fréquence de 4,5 %. L'âge moyen était de $59,5 \pm 10,2$ ans avec des extrêmes de 27 et 86 ans. La tranche d'âge de 61-70 ans a été la plus représentée (28,5%). La prédominance masculine reste classique (62,9%) avec un sex ratio de 1,7. Sur le plan vertical, l'atteinte des étages thoraco-lombo-sacrée était la plus retrouvée (48,5%). Horizontalement, l'atteinte était préférentiellement corporeale (80% à l'étage lombo-sacré et 68,5% à l'étage thoracique). Les condensations homogènes diffuses (34,2%) étaient les lésions les plus rencontrées. Les lacunes type Ic de LODWICK (25,6%) s'accompagnaient le plus souvent de lyse corticale postérieure (8,5%) et épiderite (17,1%). Les lésions mixtes (22,9%) associaient lacunes type II de LODWICK et condensation hétérogène. La lyse pédiculaire, signe révélateur en radiographie standard, étaient unilatérale (20%) et bilatérale (22,9%).

Conclusion

Les radiographies standards et la tomodensitométrie, suffisent parfois au diagnostic des métastases vertébrales malgré le risque de diagnostic tardif.

Mots clés : radiographie standard, tomodensitométrie, métastases vertébrales, Lomé (Togo).

CO67 : PROFIL IRM DES GONALGIES POST TRAUMATIQUES : NOTRE EXPERIENCE A PROPOS DE 70 CAS.

Auteurs : I .Garba, R.T Kouame-Akpegni ,A.M.Y Tchimou, A. Bamba, M. Soro
A. Coulibaly.

Service d'Imagerie médicale- CHU d'Angré – Abidjan - Cote d'Ivoire

Adresse e-mail :toudouidriiss@gmail.com

RESUME

Introduction

Le genou est une articulation complexe, la plus exposée en pratique sportive. Bien que la radiographie standard soit l'examen de routine lors des traumatismes du genou, l'imagerie par résonance magnétique (IRM) occupe aujourd'hui une place centrale dans la stratégie diagnostique des lésions post traumatiques du genou.

Nous avons mené cette étude pour déterminer le profil épidémiocliniques et IRM des pathologies du genou lors d'un traumatisme dans notre contexte.

Matériels et méthodes

Nous avons réalisé une étude rétrospective, descriptive, sur une période de 19 mois, allant du 09 septembre 2019 au 18 mars 2021. Nous avons étudié tous les patients qui avaient réalisé une IRM du genou dans le cadre d'une gonalgie post traumatisme et dont les données épidémiocliniques étaient disponibles. Nous avons utilisé un appareil IRM 1.5 Tesla. Les séquences en écho de spins T1, DP FAT SAT, mFFE et l'analyse des structures anatomiques ont été faites selon les recommandations de la SFR.

Résultats

Nous avons colligé 70 dossiers. L'âge moyen était de 37ans, avec une prédominance masculine et un sexe ratio égale à 2. Le mécanisme de survenu des traumatismes était dominé par les accidents de sport et les accidents domestiques. Les atteintes du genou droit étaient plus fréquentes à 51,4%. On notait une atteinte méniscales dans 38,6%, du pivot central dans 70%, des ligaments collatéraux dans 23,1% et tendineuse dans 34,3%.



Conclusion

L'IRM est devenue incontournable dans le bilan lésionnel du genou post traumatique dans la détection de lésions intra articulaires en présentant de façon précise la topographie des lésions principales et probables lésions associées en vue de potentialiser la qualité du traitement.

Mots clés : IRM, Genou, Traumatisme.

CO68 : ASPECTS TOMODENSITOMETRIQUES DE LA PATHOLOGIE LOMBAIRE CHEZ LE SUJET JEUNE (ETUDE MULTICENTRIQUE)

L.G. AKPO¹, O.FAYE², H. DEME², N.BADJI², M. H. TOURE¹, A. D DIOP³, M.THIOUB⁴ E.H NIANG² S BA

1. Service de Radiologie et d'Imagerie Médicale CHU FANN, Dakar
2. Service de Radiologie et d'Imagerie Médicale CHU Aristide Le Dantec, Dakar Sénégal
3. Service de Radiologie et d'Imagerie Médicale l'hôpital Dalal Jam. Dakar
4. Service de Neuro-chirurgie de l'hôpital Fann de Dakar

Introduction : l'objectif de ce travail était d'apprécier l'apport de la tomodensitométrie dans le diagnostic de la pathologie lombaire du sujet jeune.

Matériels et méthode

Il s'agissait d'une étude rétrospective ; descriptive à propos de 960 dossiers colligés sur 4 ans dans les services de Radiologie et d'Imagerie des hôpitaux régionaux (Thiès et Touba), des hôpitaux Idrissa POUYE de grand Yoff et ARISTIDE LE DANTEC de Dakar.

La moyenne des âges était de 31,05 ans. Les examens étaient réalisés avec un scanner de 16 et 64 barrettes.

Résultats

Les résultats avaient retrouvé des scanners anormaux dans 86,15% et des scanners normaux dans 13,85%. Les anomalies transitionnelles représentaient 6,05% : lombalisation de S1 dans 42% des cas suivi de la

sacralisation de L5 dans 38%. Le canal lombaire était normal dans 86% des cas, limites 9 %, et étroit dans 4,8 %. L'arthrose des corps vertébraux représentaient 18,50 %. Les lyses isthmiques étaient présentes dans 8,46% de cas. Les anomalies discales (90%) avec la protrusion discale circonférentielle dans 37,22 % suivie de la saillie discale paramédiane dans 18,96 %. La compression du fourreau durale (68%), les compressions foraminales (17%) et extra-foraminales (15%). Les causes infectieuses, traumatiques et tumorales représentaient respectivement 4,72% ; 2,4% et moins de 1%

Conclusion : La TDM joue un rôle important dans la recherche étiologique des douleurs lombaires chez le sujet jeune. Elle permet une analyse morphologique exhaustive. L'IRM reste l'examen de référence.

MOTS CLES : Pathologie lombaire ; Tomodensitométrie ; sujet jeune.

Auteur correspondant : Geraud AKPO

E-mail : geraudakpo@hotmail.com(00221-77542 94 70)

CO69 : LIPOMATOSE EPIDURALE REVELEE PAR UN SYNDROME DE LA QUEUE DE CHEVAL.

Koné Abdoulaye^{1,2}, Mallé Adama³, Diallo Seydou Hassane⁴, Koné Youssof⁵, Camara Mamoudou⁶ Sanogo Souleymane⁶, Diarra Oucoumba⁷, Konaté Moussa⁸, Sidibé Kassim⁹, Kouma Alassane⁶, Cissé Issa⁶, Diallo Mahamadou¹⁰, Keita Adama Diaman⁸, Kanikomo Drissa¹¹, Sidibé Siaka^{1,2}.

1. Faculté de médecine et d'odontostomatologie, Mali.
2. Service d'imagerie médicale Polyclinique Pasteur, Mali.
3. Cabinet de radiologie ATLAS, Bamako, Mali
4. Service de neurologie du centre hospitalier universitaire Gabriel TOURE, Mali
5. Service de radiologie du centre hospitalier Jacques Boutard, France
6. Service d'imagerie médicale Hôpital Meré Enfant le LUXEMBOURG, Mali.
7. Service de radiologie du CSREF Commune III, Mali



8. Service d'imagerie médicale du centre hospitalier universitaire du point G, Mali

9. DCSSA, Mali

10. Service de radiologie du centre hospitalier universitaire Gabriel TOURE, Mali

11. Service de radiologie du centre hospitalier universitaire Gabriel TOURE, Mali

Correspondance : Dr Abdoulaye Koné, Radiologue, Maître-assistant, FMOS, Bamako.

Email : achok83@yahoo.fr

Résumé :

Le but de cette étude était de décrire les aspects TDM de la lipomatose épidurale dans un contexte de syndrome de queue de cheval.

La lipomatose épidurale est définie comme un dépôt anormal de tissu adipeux dans l'espace épidural qui empiète sur la moelle épinière ou le filum terminal. Cette compression mécanique directe peut provoquer une sténose et une atteinte nerveuse. Selon la littérature, la prévalence de la lipomatose épidurale symptomatique est estimée à 6,3% et l'incidence annuelle est de 2,5 %. La révélation de cette affection avec le syndrome de queue de cheval est rare.

Nous rapportons un cas de lipomatose épidurale diagnostiquée à la TDM révélée par un syndrome de la queue de cheval. Il s'agit d'un homme de 45 ans originaire de l'Afrique subsaharienne présentant une dyslipidémie avec HDL à 1,2 g/l; LDL à 3,4 g/l et le cholestérol total à 4 g/l

L'IRM étant le gold standard dans le diagnostic par sa meilleure résolution en contraste. A défaut la TDM a été contributive en mettant en évidence des anomalies comme l'épaississement de la graisse épidurale, la sténose ou déformation du sac dural et l'aspect classique du signe de Mercedes ou Y étendue de L3 à S2.

Mots Clé : lipomatose, épidurale, TDM syndrome de queue de cheval

CO70 : ASPECT IRM DE LA MYELOPATHIE CERVICARTHROSIQUE A L'HOPITAL DU MALI.

CAMARA M.A1 TRAORE M.M1 DIARRA H1 TOURE B.M1, NDIAYE M4, TRAORE S3 COULIBALY S5 GUINDO I5 KONE A 6

1 Service d'Imagerie Médicale hôpital du Mali

2 Service d'imagerie Médicale CHU du Kati

3 Unité d'Imagerie Médicale du CSREF CV

4 Hôpital infirmerie de Bamako Unité d'Imagerie Médicale

5 Service d'Imagerie Médicale CHU BBS KATI

6 Service d'imagerie Médicale de la polyclinique Pasteur

Auteur correspondant : Dr CAMARA Mody Abdoulaye, Radiologue, CHU Hôpital du Mali. Bamako, république Mali.

Adresse : drmacamara@Yahoo.fr / +22366722580

Introduction

La myélopathie cervicarthrosique une souffrance médullaire chronique secondaire à des lésions dégénératives du rachis cervical compliquant une sténose canalaire congénitale Elle est responsable de complications neurologique diverses jusqu' à la tétraplégie. Aucune étude n'a été réalisée à l'IRM au Mali en ce sens .Nous avons initié cette étude pour évaluer les aspects l'IRM de la myélopathie cervicarthrosique à l'hôpital du Mali.

Méthodologie

Etude rétrospective et descriptive de janvier 2019 à décembre 2020 (02 ans) dans le service d'Imagerie Médicale à l'Hôpital du Mali. Ont été retenus tous les patients des deux sexes ayant bénéficiés d'une IRM cervicale, chez qui une myélopathie arthrosique a été diagnostic pendant la période. L'appareil d'IRM était un aimant ouvert bas champ de 0.35T de marque Neusoft avec une antenne volumique. Les séquences utilisées étaient T1 et T2 sagittale et T2 axiale.

Résultats :

Nous avons colligés de 125 cas sur 920 examens réalisés soit une fréquence 13.58%. L'âge moyen de nos patients était 55 ans. Le sexe masculin représentait 75%. Le canal était étroit dans 28%. Hypersignal T2 intra médullaire a été retrouvé chez tous les patients. La hernie discale était en cause dans 91%, Les niveaux les plus atteints étaient C4-C5 et C5-C6 (65%) Les hypertrophies ligamentaires ont été retrouvées dans 5 % des cas. Les ostéophytes postérieurs étaient de 37%.

Conclusion :

L'IRM reste l'examen de référence pour le diagnostic positif, les bilans de complication, et du suivi post-



opérateur. Cependant, son coût sa disponibilité et ses contre-indications limitent son accès.

Mots clés : Myélopathie, Cervicarthrose, IRM, Hôpital du Mali.

CO71 : PROFIL TOMODENSITOMETRIQUE DE LA STENOSE DU CANAL LOMBAIRE A LA CAISSE NATIONALE DE SECURITE SOCIAL DE CONAKRY (CNSS).

Auteur : BALDE Hamidou, DOUMBOUYA IS ,DIALLO AI ,SACKHO A .BAH OA , AGODA-KOUSSEMA LK

Affiliation: Faculté des Sciences de la Santé de Conakry;

Hôpital: CHU Ignace DEEN

Contacts: marioury13@gmail.com; tel : 00224610015007

RESUME

Introduction :

La sténose du canal lombaire (SCL) est un rétrécissement du canal central lombaire, responsable d'une compression neurovasculaire qui peut entraîner des manifestations cliniques : douleurs lombaires ou radiculaires voire des déficits moteurs. Cette étude avait pour objectif général de décrire les caractéristiques scanographiques de la sténose du canal lombaire étroit à la caisse nationale de sécurité sociale de Conakry.

Matériel et Méthodes :

Il s'agissait d'une étude rétrospective allant 1 Janvier 2016 au 31 décembre 2020, ayant porté sur les dossiers des patients de tout âge et de tout sexe, reçus en consultation et/ou hospitalisés pour SCL au service de rhumatologie de l'HNID qui ont, un score standardisé pour le diagnostic de SCL ≥ 7 points et ayant effectué le scanner du rachis lombaire durant la période.

Résultats :

L'âge moyen était de $52,6 \pm 14,8$ ans. Nous avons noté une prédominance masculine de 54,3 % avec un sexe ratio homme/femme de 1,2. Tous les patients se plaignaient de lombalgie soit 100% suivi la radiculalgie et de la claudication radiculaire intermittente chez 88,6% chacune. La discopathie

dégénérative dominait les pathologies associées retrouvée chez tous les patients au scanner.

Conclusion :

Il ressort que de la TDM est un moyen de diagnostic incontournable de la SCL. Cependant Une étude sur une plus grande cohorte permettrait de mieux décrire le profil de la SCL et surtout une comparaison de l'apport de la TDM et celui de l'IRM dans son diagnostic nous apprendrait encore plus sur la SCL

Mots clés : Sténose du canal lombaire – TDM- HNID

CO72 : ANALYSE SEMI-QUANTITATIVE D'UN «SUPERSCAN» METASTATIQUE OBSERVE SUR UNE SCINTIGRAPHIE OSSEUSE CORPS ENTIER D'UN ADENOCARCINOME PROSTATIQUE AVEC UN SCORE DE GLEASON A 10 (5+5).

1,2 SANOU Arsène Roland Anicet, 1 NDONG Boucar, 3 TALL Khaly, 3 DIALLO Waly, 1,2 DJIGO Mamadou Salif, 1,2 GUEYE Kalidou, 1,2 THIAW Gora Mohamet, 1,2 BATHILY El Hadji Lamine, 1,2 DIOP Ousseynou, 4 BADIANE Moussa, 1,2 MBODJ Mamadou.

1. Département de Biophysique & Médecine Nucléaire, Université Cheikh Anta Diop Dakar, Sénégal
2. Service de Médecine Nucléaire, Hôpital General, Dakar, Sénégal
3. Département de Génie électrique, Ecole Supérieure Polytechnique, Université Cheikh Anta Diop, Dakar, Sénégal
4. Département de Biophysique, Université Gaston Berger, Saint Louis, Sénégal

Résumé

Introduction : En scintigraphie osseuse corps entier, le "superscan" désigne une hyperfixation intense et diffuse du squelette axial, épargnant le squelette appendiculaire avec une non visualisation des reins et de la vessie. Cependant, le risque d'erreur diagnostic demeure considérable au cours de l'analyse visuelle. L'objectif de notre étude était de quantifier, de dénombrer et de classer les métastases osseuses à l'aide d'un algorithme itératif k-mean appliqué sur une image de scintigraphie osseuse corps entier réalisée chez un patient ayant un adénocarcinome prostatique métastatique avec un score de Gleason à 10 (5+5).



Patient et Méthodes : Nous avons appliqué un algorithme itératif de «clustering k-mean» fourni par le logiciel libre «Image-J» sur une image de scintigraphie osseuse corps entier. L'algorithme k-mean a permis de sélectionner les hyperfixations métastatiques au-delà d'une valeur seuil de 250 sur une échelle de niveau gris, de les quantifier et de les classer (méthode de Soloway).

Résultats : L'analyse visuelle a permis de confirmer l'ostéose maligne diffuse et l'aspect d'un « superscan » métastatique. L'analyse semi-quantitative, à travers l'algorithme k-mean, a permis de dénombrer vingt-cinq (25) hyperfixations métastatiques sur l'image de scintigraphie osseuse de la face antérieure et quinze (15) hyperfixations métastatiques sur l'image de scintigraphie osseuse de la face postérieure. Ces hyperfixations métastatiques correspondent à un Grade III de la classification de Soloway.

Conclusion : Habituellement, le "superscan" métastatique correspond au Grade IV de la classification de Soloway. Notre étude a permis de mettre en évidence l'inadéquation et la subjectivité de la méthode de Soloway qui se base uniquement sur une analyse visuelle. Et de plus, cette classification ne précise pas la limite (en nombre de métastases osseuses) entre le "superscan" et les hyperfixations métastatiques étendues. Une analyse semi-quantitative du "superscan" métastatique dans l'adénocarcinome prostatique nous semble plus pertinente et plus objective.

Mots-clés : Superscan, Gleason 10 (5+5), Adénocarcinome, Algorithme k-mean, Analyse semi-quantitative

CO73 : ASPECTS IRM DES LÉSIONS DU GENOU DANS LE SERVICE D'IMAGERIE MEDICALE DU CNHU/HKM EN 2022

Auteurs : S.B.M.G. ADJADOHOUN, D.W.M.M. AKANNI**, A.R.O.T. GABA*, M. S KIKI**, P. YEKPE AHOUANOU*, K.M. S SAVI DE TOVE** O. BIAOU*, V. BOCO*

* Service d'imagerie médicale, Centre National Hospitalier Universitaire Hubert Koutoukou Maga (CNHU-HKM) de Cotonou

** Service d'imagerie médicale, Centre National Universitaire Départemental du Borgou et de l'Alibori

Auteur correspondant : S. ADJADOHOUN ; mahussi222@yahoo.fr; 07BP175 Cotonou Bénin. Téléphone : 0022961154987

RESUME

Introduction : Les pathologies du genou peuvent parfois être de véritables urgences diagnostiques et thérapeutiques. Elles représentent un motif fréquent de recours à l'imagerie par résonance magnétique (IRM). L'installation récente de l'IRM au CNHU-HKM de Cotonou (Bénin) a motivé le présent travail dont l'objectif était de faire un panorama des lésions du genou à l'IRM.

Matériels et Méthodes : Etude transversale descriptive à collecte prospective, réalisée dans le service d'Imagerie médicale du CNHU-HKM du 1er Octobre 2021 au 30 Mars 2022 (6 mois). Ont été inclus tous les comptes rendus d'IRM du genou. Les examens étaient réalisés sur un appareil d'IRM (SIEMENS MAGNETO AMIRA 1,5 Tesla). Les paramètres étudiés étaient la fréquence des lésions, les circonstances de survenue, l'âge, le sexe, les indications, les résultats de l'IRM. La corrélation radio-clinique a été évaluée à l'aide du test de chi-carré.

Résultats : Ont été colligés 51 patients. L'âge moyen était de 33,49 ans \pm 15,84 ans. Une prédominance masculine était observée avec un sex ratio de 1,38. L'IRM était pathologique chez 94,1% des patients. Le motif le plus fréquent de demande d'IRM était la suspicion de lésions ménisco-ligamentaires (52%). Les circonstances de survenue étaient dominées par les traumatismes (74,5%) notamment les accidents de la voie publique (35,3%) et le sport (31,4%). Les principales lésions étaient : l'épanchement articulaire (70,6%), les lésions méniscales (45,1%) et les lésions osseuses (39,2%). Une relation statistiquement significative ($p=0,0212$) a été notée entre la suspicion clinique et les résultats de l'IRM en ce qui concerne les lésions ménisco-ligamentaires.

Conclusion : L'IRM a permis de faire le bilan des lésions du genou au CNHU-HKM. Une bonne corrélation IRM-clinique a été observée dans le cas de la pathologie ménisco-ligamentaire. Une



amélioration de l'accessibilité de l'IRM serait souhaitable.

Mots clés : genou, lésions, IRM, Bénin.

CO74 : APPORT DE L'IRM DANS LE DIAGNOSTIC DES COMPRESSIONS MEDULLAIRES DANS LE SERVICE D'IMAGERIE MEDICALE DU CNHU/HKM EN 2022

Auteurs : S.B.M.G. ADJADOHOUN, D.W.M.M. AKANNI**, M.S. KIKI**, G.B. CHEDE*, P. YEKPE AHOANSOU*, KM. S SAVI DE TOVE** O. BIAOU*, V. BOCO *

* Service d'imagerie médicale, Centre National Hospitalier Universitaire Hubert Koutoukou Maga (CNHU-HKM) de Cotonou

** Service d'imagerie médicale, Centre National Universitaire Départemental du Borgou et de l'Alibori

Auteur correspondant : S. ADJADOHOUN ; mahussi222@yahoo.fr; 07BP175 Cotonou Bénin. Téléphone : 0022961154987

RESUME

Introduction : La compression médullaire (CM) constitue une urgence diagnostique et thérapeutique. L'imagerie par résonance magnétique occupe une place incontournable dans le diagnostic. L'installation récente de l'IRM au CNHU-HKM à Cotonou (Bénin) a motivé ce travail dont l'objectif était de déterminer l'apport de l'IRM dans le bilan des CM.

Matériels et Méthodes : Etude transversale descriptive et analytique à collecte prospective, réalisée dans le service d'Imagerie médicale du CNHU-HKM du 1er Juin 2021 au 28 Février 2022 (9mois). Ont été inclus les comptes rendus d'IRM médullaire de tous les patients adressés pour suspicion de CM. Les examens ont été réalisés sur un appareil d'IRM SIEMENS MAGNETOM AMIRA 1,5T. Les paramètres étudiés étaient la fréquence des CM, l'âge, le sexe, le prescripteur, les indications et les résultats de l'IRM. La corrélation radio-clinique a été évaluée à l'aide du test Chi2 avec un $p < 0,05$.

Résultats : Ont été colligés 110 patients. L'âge moyen était de 49,31 ans \pm 15,38 ans. Une prédominance masculine était observée avec un sex ratio de 1,82. La CM a été confirmée chez 60% des patients. La névralgie cervico-brachiale était l'indication la plus fréquente (28,18%). La moelle cervicale était l'étage le plus touché (84,85%). Les CM lentes étaient les plus fréquentes (90,90%). La principale étiologie était les lésions extradurales (95,45%) avec en chef de file les pathologies dégénératives (78,79%). La myélopathie était retrouvée chez 48,48% des patients. Un accord statistiquement significatif était observé entre la suspicion de myélopathie cervicarthrosique, la tétraplégie et la CM ($p = 0,007$).

Conclusion : Au terme de ce travail l'IRM a permis de faire le bilan étiologique et de graviter des CM au CNHU-HKM. Il demeure cependant un problème d'accessibilité à cet examen indispensable pour une bonne prise en charge des pathologies médullaires.

Mots clés : Compression médullaire, IRM, Bénin.

CO75 : ASPECT IRM DES MYOCARDITES : A PROPOS DE 15 CAS COLLIGES A ABIDJAN

Touré A, Debato GN, N'dja P, Zouzou AE, Ledion A, Fatto E, Diabate AS, Gbazi GC (Abidjan, Côte d'Ivoire)

OBJECTIF : Le but de cette étude était de montrer l'apport de l'IRM dans le diagnostic des myocardites.

MATERIEL ET METHODE :

Il s'est agissait d'une étude rétrospective à visée descriptive. Elle s'est déroulée à Abidjan en Côte d'Ivoire (polyclinique farah) de mai 2018 à avril 2020. Notre population d'étude était constituée de quinze (15) patients venus pour la réalisation d'une IRM cardiaque. Les Séquences en sang noir et sang blanc T1 et T2 STIR, petit axe VG, grand axe VG, quatre cavités, T1 SPIR Gadolinium (Précoce et tardive 10-15 min). L'ensemble de l'examen dure 1 heure 30 minutes. L'analyse se faisait en deux temps : Une partie morphologique et une deuxième partie fonctionnelle.



Résultats : L'âge moyen des patients était de 42,7 ans avec des extrêmes de 20 et 68 ans étaient tous de sexe masculin. Le syndrome coronarien aigu et la suspicion de myocardite étaient les principales indications avec 26,6% pour chacun. Les anomalies observées étaient des hypersignaux sur la séquence STIR avec un rehaussement tardif sous épicaudique (73,34%) et transmural (93,33%). Une hypokinésie a été observée chez 47 % des patients avec une baisse de la fraction d'éjection systolique dans 13,34%.

Conclusion : La myocardite était caractérisé par un hypersignal STIR et un rehaussement de siège transmural et sous-épicaudique des segments 11 et 12. La capacité d'identifier de manière non invasive des anomalies tissulaires telles que l'œdème et la nécrose fait de l'IRM le principal outil de diagnostic dans le bilan diagnostique des myocardites

Mots-clés : IRM cardiaque, myocardites, Abidjan.

CO76 : CARTOGRAPHIE VASCULAIRE PAR ECHOGRAPHIE DOPPLER DANS LE CADRE DU BILAN PRE-FAV AU CHNU DE FANN

Auteurs : K. N. DIOUF, M. THIAM, I. NIANG, G. L. AKPO, A. D. DIOP, S. BA.

E-mail : dijadioufka@gmail.com

Pays : Sénégal

Objectif : Le but de notre travail était de rapporter les résultats de la cartographie vasculaire au CHNU de Fann, en les comparant à ceux de la littérature.

Méthodologie : Il s'agit d'une étude rétrospective sur une période de 22 mois allant de Janvier 2018 à Octobre 2019. Ont été inclus les dossiers de cartographie vasculaire des membres supérieurs par échographie-doppler au CHNU de Fann durant la période concernée. Nous nous sommes intéressés: aux données épidémiologiques, aux caractéristiques morphologiques, hémodynamiques des vaisseaux, aux conclusions et types de fistules envisageables.

Résultats : Deux cent un patients étaient inclus. La moyenne d'âge était 52,9±14,2 ans avec un ratio de 0,65. 70,15% des patients ont eu une exploration du membre gauche, 14,93% une exploration du membre droit et 14,93% une exploration des deux. On

retrouvait un calibre normal pour 52,82% des vaisseaux explorés. Des anomalies morphologiques des vaisseaux étaient retrouvées chez 27,4% des patients et la médiocalcose, était l'anomalie la plus fréquente. Les conclusions étaient favorables à la création d'une FAV chez 87,1% des patients.

Conclusion : Les caractéristiques morphologiques et hémodynamiques ont une valeur essentielle dans l'interprétation de la cartographie d'où la nécessité de faire une exploration exhaustive des vaisseaux et de s'appliquer dans la restitution des informations dans le compte rendu.

Mots clés : échographie-doppler ; cartographie ; fistule artério-veineuse.

CO77 : COMMENT JE FAIS UN PRELEVEMENT VEINEUX PAR CATHETERISME DES SINUS PETREUX INFÉRIEURS

Auteurs : Estelle Acko-Ohui, N'Tamon Baudelaire, Kouao Jean-Paul, Meité Mamomna, Lynda Gui-Bilé, Yapo Paulette, Jean-Philippe Cottier, Gregoire Boulouis

E-mail : ntamonbrunobaudelairealex@gmail.com

Pays : Côte-d'Ivoire

Objectif : Prouver l'origine hypophysaire de la sécrétion d'ACTH en cas de microadénome non décelé en IRM par la mise en évidence d'un gradient de concentration d'ACTH entre le système de drainage veineux de l'hypophyse et une veine périphérique et également entre les sinus pétreux inférieurs eux-mêmes.

Méthodologie : L'examen est pratiqué sous anesthésie locale par deux opérateurs et une aide. Après une asepsie rigoureuse, une ponction de chaque veine fémorale commune est suivie de la mise en place d'un introducteur de 6 French. Des cathéters de 6 F sont navigués jusqu'au niveau des golfes jugulaires, en projection de la confluence des sinus pétreux inférieurs, de manière bilatérale. Les SPI sont ensuite cathétérisés avec des microcathéters de 0.018 inch puis débute les prélèvements veineux de 1,5 ml au sein des SPI et en périphérie simultanément en 30 secondes après une aspiration de 2 ml de sang en 20



secondes. Ces prélèvements de 1,5 ml sont conservés dans des tubes EDTA. Les prélèvements sont réalisés de manière répétée 10 et 5 minutes avant, puis au moment de l'injection de CRH, puis 3, 5, 10 et 20 minutes après.

Résultats : La mise en évidence d'un gradient hormonal d'ACTH entre les SPI et la veine périphérique supérieure à 2 à l'état basal et supérieur à 3 après injection de CRH a permis d'affirmer la maladie de Cushing avec une sensibilité et une spécificité respectivement de 88–100 % et 67–100 %.

Conclusion : Le cathétérisme des SPI est un examen performant pour la recherche de l'étiologie d'une maladie de Cushing. Son indication doit être posée après une discussion pluridisciplinaire et sa réalisation effectuée en suivant une technique rigoureuse.

Mots clés : cathétérisme ; sinus pétreux inférieurs ; maladie de Cushing ; ACTH

C078 : PREMIERES EMBOLISATIONS DE FIBROMES UTERINS A DAKAR (SENEGAL) : A PROPOS DE TROIS CAS

Auteurs : M. DIALLO, A. D. DIOP, M.D.B. NDAW, N.I AMAR, A. DIACK, M. DIOP, A. FALL, C.T. DIOUF, A. R NDIAYE, T.O. SOKO, V.VIDAL, A.N. DIOP, A. MBENGUE.

E-mail : daddykr@hotmail.com

Pays : Sénégal

Objectif : Montrer la faisabilité et la disponibilité de l'embolisation des fibromes utérins.

Méthodologie : Trois patientes d'âge moyen de 49 ans ont été sélectionnées, avec leur consentement et en collaboration avec leurs gynécologues, pour une embolisation de fibromes utérins symptomatiques à type de douleurs pelviennes chroniques, de pesanteur pelvienne et de ménorragies. Elles n'avaient plus de désir de grossesse. Une IRM pelvienne a été réalisée chez les trois patientes et montraient des fibromes de taille variable mesurant jusqu'à 10 cm et de topographie diverse, interstitielle pour la plupart, sous muqueuse et sous séreuse pour certaines.

Un abord artériel fémoral droit par méthode de Seldinger avait permis de cathétériser les artères utérines avec des sondes Simmons et cobra 04 Fr et un microcathéter 2.7. Une embolisation à flux libre a été réalisée avec des microsphères 500-700 microns jusqu'à ralentissement circulatoire et complétée par une torpille de Curaspon (gélatine résorbable) chez une ou deux patientes à préciser.

Les procédures ont été réalisées sans anesthésie et un protocole de gestion de la douleur, élaboré par les anesthésistes et par palier, a été proposé aux patientes pour la gestion d'éventuelles douleurs post embolisation.

Résultats : l'embolisation a été bilatérale chez deux patientes et unilatérale chez la dernière en raison d'un vasospasme persistant malgré l'injection de 2cc de Risordan. Les contrôles en fin de procédure étaient satisfaisants. Aucun incident n'a été noté en per ou post procédure et les patientes, hospitalisées en gynécologie, ont été exécutées en moyenne 72 heures après.

Conclusion : L'embolisation de fibromes utérins est désormais une procédure accessible et réalisable dans notre région. Les indications doivent être portées avec le gynécologue afin de mieux sélectionner les patients

Mots clés : embolisation, utérus, microsphères

CO 79 : Embolisation prostatique pour hypertrophie bénigne de la prostate (HBP) : Première expérience sénégalaise

C080 : APPORT DE L'ANGIO TOMODENSITOMETRIE (TDM) DANS LA PRISE EN CHARGE DEL'ARTERIOPATHIE OBLITERANTE DES MEMBRES INFERIEURS AU CENTRE HOSPITALIER UNIVERSITAIRE MERE-ENFANT « Le Luxembourg »

Objectifs :

Déterminer la fréquence des lésions artérielles des membres inférieurs.

Décrire la sémiologie angioscanographique des lésions artérielles des membres inférieurs.



Décrire la place de l'imagerie médicale dans la prise en charge des lésions artérielles des membres inférieurs.

L'absence de publication sur intérêt de l'angioscanner dans la prise en charge de l'artériopathie oblitérante des membres inférieurs au Mali a motivé notre travail.

Nous avons effectué une étude prospective et descriptive à partir des résultats de l'angioscanner et des dossiers des malades qui ont réalisé un angioscanner du membre inférieur dans le service d'imagerie au centre hospitalier universitaire mère-enfant « Le Luxembourg » entre Avril 2021 et Mars 2022.

Nous avons colligé 40 cas angioscanner des membres inférieurs soit une fréquence de 0,83% sur l'ensemble des examens scanographiques réalisés dans le service. Les atteintes artérielles ont concerné l'axe ilio-fémoro-poplitée et le trépied. Le type d'atteinte était dominé par : 4% sténose significative (> 50%), 4% sténose non significative (< 50%), 16% des occlusions et 3% des thromboses.

Le sex-ratio a été en faveur des hommes avec une fréquence de 57,3%. 52,5% des patients résidaient à Bamako. 35% ont été adressés par le service de chirurgie cardio-vasculaire, les troubles trophiques ont été plus dominants avec une fréquence de 42,5%

La tranche d'âge 70-79 ans a été la plus représentée avec une fréquence de 30%.

CONCLUSION

L'angio TDM joue un rôle important dans le diagnostic, la prise en charge et la surveillance de l'artériopathie oblitérante des membres inférieurs.

Mots clés : Artériopathies des membres inférieurs, angio scanner, centre hospitalier universitaire mère-enfant « Le Luxembourg »

CO81 : BILAN DE L'ACTIVITÉ DES PRÉLÈVEMENTS PERCUTANÉS GUIDÉS PAR IMAGERIE AU SERVICE DE RADIOLOGIE DU CHU ARISTIDE LE DANTEC : À PROPOS DE 181 CAS

L.G. AKPO1, I.FAYE 2, A. D DIOP3, H. DEME2, N.BADJI2, M. H. TOURE1, E.H NIANG 2 S BA1
1. Service de Radiologie et d'Imagerie Médicale CHU FANN, Dakar Sénégal

2. Service de Radiologie et d'Imagerie Médicale CHU Aristide Le Dantec, Dakar Sénégal
3. Service de Radiologie et d'Imagerie Médicale l'hôpital Dalal Jam. Dakar Sénégal

Introduction :

L'objectif général de ce travail était de faire le bilan des activités de prélèvements anatomopathologiques radioguidés au service d'imagerie et de radiologie du CHU Aristide Le Dantec.

Matériel et méthode : Étude rétrospective descriptive sur une période de 2 ans de juin 2018 à juin 2020. Étaient inclus tous les patients ayant bénéficié d'un prélèvement guidé par l'imagerie dont les résultats histologiques étaient disponibles.

Résultats :

Nous avons colligés 181 patients avec un âge moyen de 38ans [5 ans -74ans]. Un repérage écho guidé a été réalisé chez 180 patients, 155 patients soit 86% ont bénéficié d'une biopsie ; 14 % d'une cytoponction. Les prélèvements étaient satisfaisants chez 97,23% et non satisfaisants dans 2,77% des cas. Les lésions bénignes représentaient 53% tandis que 47% étaient malignes. Les biopsies mammaires représentaient 71,27%(129/176) suivies des biopsies hépatiques 7,1%(13/181) puis des biopsies ovariennes 5.5% . Les biopsies pancréatiques représentaient (1,6%).

Pour les résultats des lésions mammaires, 55,04% des lésions étaient bénignes contre 42,64% de lésions malignes. Les adénofibromes étaient dominants (43,66%) parmi les lésions bénignes. Les adénocarcinomes infiltrants représentaient 92,73% des lésions malignes. Sur les 10 lésions ovariennes biopsiées les 7 étaient malignes de même que pour 13 lésions hépatiques les 10 étaient malignes. Toutes les lésions pancréatiques étaient des adénocarcinomes.

Conclusion :

Les prélèvements radioguidés constituent des actes de radiologie interventionnelle très utiles pour poser un diagnostic d'une tumeur sans faire recours à un acte chirurgical plus invasif.

Mots clés : prélèvements radioguidés, tumeurs

Auteur correspondant : Géraud AKPO : geraudakpo@hotmail.com(77542 94 70)



CO82 : EMBOLISATION EQUITABLE GRACE AUX FILS DE SUTURE : EST-CE POSSIBLE ?

Auteurs : A. D. DIOP, M. DIALLO, A. MBENGUE, H. Dème, G. AKPO, N. BADJI, A. N. Diop, A. LY BA, S. BA DIOP, V VIDAL.

OBJECTIFS : montrer l'efficacité des fils de suture comme agent d'embolisation dans le traitement des hémorragies actives et des fistules artério-veineuses.

MATERIELS ET METHODES : quatre patients d'âge moyen 32,5 ans dont 2 femmes et 2 hommes ont été adressés pour embolisation devant des signes de déglobulisation suite à une biopsie rénale pour les trois et au décours d'un accident de la voie publique (AVP) pour le dernier. Le scanner réalisé en urgence retrouvait des signes de saignement actif au foie pour le patient reçu pour AVP et au rein gauche pour les autres.

Pour les trois patients biopsiés, le cathétérisme de l'artère rénale gauche grâce à une sonde cobra 4F portée par un guide Térumo 0,35 retrouvait une hémorragie active chez tous les patients avec un faux anévrisme chez l'un et une fistule artério-veineuse chez les deux autres.

Pour le patient victime d'AVP un cathétérisme de l'artère hépatique droite objectivait une hémorragie active associée à une fistule artério-veineuse.

Des fragments de fil de suture nous ont permis de procéder à l'embolisation sélective des branches artérielles lésées.

RESULTATS : le contrôle après embolisation retrouvait une bonne occlusion des branches artérielles avec disparition du faux anévrisme, des fistules artério-veineuses et arrêt du saignement actif. Aucun incident n'a été noté en per ou post procédure. Il y'avait une bonne amélioration clinico-biologique avec normalisation de l'hémogramme.

CONCLUSION : cette étude plaide davantage pour le concept d'embolisation équitable dans nos régions grâce à la disponibilité, l'accessibilité et l'innocuité des fils de suture chirurgicaux.

Mots clés : embolisation, hémostase, fil de suture.

Correspondant : Dr Abdoulaye Dione DIOP MCA, Université Cheikh Anta Diop de Dakar, service

d'imagerie médicale CHN Dalal Jamm, Dakar-Sénégal.

Tel : 00221 77 608 38 82

Mail : adionediop@yahoo.fr

CO83 : TRAITEMENT ENDOVASCULAIRE DE LA VARICOCELE AU SENEGAL.

Auteurs : A. D. DIOP, M. DIALLO, A. MBENGUE, H. Dème, G. AKPO, N. BADJI, A. N. Diop, A. LY BA, S. BA DIOP.

OBJECTIFS : montrer notre technique d'embolisation des varicocèles et partager nos résultats.

MATERIELS ET METHODES : quatre patients d'âge moyen 33 ans ont été adressés pour un traitement endovasculaire de varicocèles. Ils présentaient tous des douleurs scrotales avec un diagnostic clinique de varicocèle. L'échographie avait objectivé une hypotrophie testiculaire bilatérale sur varicocèle de grade 3 chez trois patients et une varicocèle de grade 2 chez le dernier. Le spermogramme retrouvait une oligo-asthénocrozoospermie chez tous nos patients.

Après cathétérisme de la veine rénale gauche, nous procédions à une injection de produit de contraste en Valsalva afin de confirmer le reflux dans la veine spermatique avant toute embolisation. L'embolisation de la veine spermatique était faite grâce à 6 fragments de fils de suture suivi d'une injection de 04 cc d'agent sclérosant sous compression manuelle au pied de l'articulation sacro-iliaque chez 3 patients. Le dernier patient a été traité avec deux coils et 1 fragment de fil de suture suivi de l'injection de l'agent sclérosant.

RESULTATS : le contrôle après embolisation retrouvait une bonne occlusion de la veine spermatique. Aucun incident n'a été noté en per ou post procédure. Les contrôles échographiques réalisés à 1 mois chez deux patients étaient satisfaisants avec disparition des reflux. Les deux autres patients n'ont pas encore bénéficié de leur contrôle échographique.

CONCLUSION : la radiologie interventionnelle a une place de plus en plus prépondérante dans le



traitement endovasculaire des varicocèles. L'utilisation de fils de suture s'avère prometteur.

Mots clés : varicocèle, embolisation, fil de suture.

Correspondant : Dr Abdoulaye Dione DIOP MCA, Université Cheikh Anta Diop de Dakar, service d'imagerie médicale CHN Dalal Jamm, Dakar-Sénégal.

Tel : 00221 77 608 38 82

Mail : adionediop@yahoo.fr

CO 84 : PROFIL CLINIQUE ET ECHOGRAPHIQUE DES AOMI DANS LE DIABETE DE TYPE 2 AU CHU DE BRAZZAVILLE

Auteurs : Moyikoua RF1,2, Moyikoua EF3, Elilié P1,3, Andzouana N1,3, Nzingoula B2, Manzika R2, Makosso E1,2, Monabeka HG1,3.

Services :

1. Faculté des Sciences de la Santé, Université Marien NGOUABI (Congo-Brazzaville)
2. Service d'imagerie médicale, CHU (Congo-Brazzaville)
3. Service de maladies métaboliques et endocriniennes (Congo-Brazzaville)

Auteur correspondant : Docteur Moyikoua Régis Franck.

E-mail : regis.moyikoua@gmail.com.

Tel : 00(242) 06 436 76 74

RESUME :

Objectifs : Déterminer les aspects cliniques et échographiques en cas de suspicion d'artériopathie oblitérante des membres pelviens chez le sujet diabétique de type 2. **Patients et méthode :** Il s'est agi d'une étude transversale descriptive à recueil de données prospectif, qui s'est déroulée du 1er Mai au 31 Octobre 2021 au CHU de Brazzaville, soit une période de six (06) mois. Ont été inclus tous les patients diabétiques de type 2, présentant une suspicion clinique d'AOMI ayant pu bénéficier d'un échodoppler artériel des membres pelviens. **Résultats :** Cinquante-six (56) patients ont été retenus. L'âge moyen était de $62,6 \pm 11$ ans avec des extrêmes de 40 et 87 ans. Le sexe masculin était prédominant (66,1%) avec un sex-ratio H/F de 1,9. La durée moyenne d'évolution du diabète était de 15,1 ans. Le facteur de

risque d'athérosclérose associé au diabète était dominé par l'hypertension artérielle (69,6%), suivi de l'obésité (17,8%). L'échodoppler artériel était pathologique chez 55 patients (98,2%). Les lésions athéromateuses prédominaient en distalité au niveau des trépieds jambiers. **Conclusion :** l'AOMI est une complication chronique fréquente du diabète chez l'adulte. L'échodoppler est un outil indispensable, très sensible pour le diagnostic précoce et le suivi de l'AOMI. Son accessibilité et sa réalisation devrait être vulgarisé chez les sujets diabétiques de type 2 dans le diabète évolue depuis plus de 10 ans. **Mots clés :** AOMI, diabète type 2, échodoppler artériel, Brazzaville.

CO85 : PHLEBITE DE MONDOR POST-COITALE DE LA VERGE A PROPOS D'UN CAS AU CHU DE BRAZZAVILLE

Auteurs : Moyikoua RF1,2, Atipo Ondongo M1,3, Ondziel Opara AS1,3, Nzingoula B2, Manzika R2, Makosso E1,2, Bouya AP1,3.

Services :

1. Faculté des Sciences de la Santé, Université Marien NGOUABI (Congo-Brazzaville)
2. Service d'imagerie médicale, CHU (Congo-Brazzaville)
3. Service d'urologie – andrologie, CHU (Congo-Brazzaville)

Auteur correspondant : Docteur Moyikoua Régis Franck.

E-mail : regis.moyikoua@gmail.com.

Tel : 00(242) 06 436 76 74

Objectif : Rapporter un cas de phlébite de Mondor de la verge survenu à la suite d'un rapport sexuel. **Observation :** Patient de 40 ans, qui consulte pour une tuméfaction douloureuse de la verge survenant 6 heures après un rapport sexuel. Il ne rapporte pas de douleurs pendant l'acte sexuel, ni de sensation de craquement. Il ne reconnaît pas avoir eu une activité sexuelle vigoureuse ou prolongée ni avoir utilisé des vasoconstricteurs. Il n'a pas d'antécédent de traumatisme de la verge, d'infection uro-génitale ni de pathologie hématologique. L'examen physique note une verge flasque avec un œdème diffus de la verge et du scrotum. Il n'y a pas de douleur localisée ni de solution de continuité des corps caverneux. Le reste de l'examen est normal. L'échographie doppler



réalisée montrait un épaississement diffus des parties molles superficielles de la verge associé à une thrombose occlusive de la veine dorsale superficielle de la verge. Le diagnostic de phlébite de Mondor a été retenu et un traitement à base d'anti inflammatoire non stéroïdien a été institué associé à une abstinence sexuelle de 4 semaines. L'examen de contrôle était normal. Commentaire : La phlébite de Mondor est une tronculite sous cutanée subaiguë de topographie variable touchant le plus souvent les veines thoraciques. D'autres territoires peuvent également être touchés, notamment la veine dorsale de la verge comme décrit dans cette observation. Le traitement médical et, lorsqu'elle est indiquée, la résection veineuse sont efficaces.

Conclusion : Pathologie rare dont le diagnostic repose sur l'échographie doppler.

Mots clés : Phlébite de Mondor, rapport sexuel, CHUB.

CO86 : COROSCANNER DANS LE DIAGNOSTIC DES CARDIOPATHIES ISCHEMIQUES : CAS DE LA POLYCLINIQUE LE CŒUR

ABOMO NGODO Sandra, CHIDORO Mirindi Jacques, AHONYI Koffi, MBAIAOURE BARAK, LAWSON B, GBANDE P., AGODA-KOUSSEMA L. K., ADJENOU Komlanvi

OBJECTIF: Etudier l'apport du coroscanner dans les cardiopathies ischémiques.

METHODE D'ETUDE: Etude prospective et descriptive primitive couvrant une période de 10mois, allant du 15décembre 2020 au 15octobre 2021. Elle a intéressé les patients reçus dans le service de radiologie et imagerie médicale de la Polyclinique le Cœur de Lomé pour réaliser un Coroscanner. Examens réalisés avec un scanner 64barettes 128coupes de marque SINO VISION. Le mode d'acquisition était rétrospectif avec injection de 1,5ml/kg de produit de contraste par un injecteur automatique double corps type SINO VISION. Une console était utilisée pour l'analyse des images.

RESULTATS: Au total, trente (30) patients ont répondu à nos critères de sélection soit une fréquence de 1, 2%. L'âge moyen était 51+/-12 ans. La tranche d'âge de 50 à 59 a été la plus représentée. Le sexe masculin était prédominant dans 86, 7% avec un sex ratio H/F de 6, 4.

L'hypertension artérielle représentait 43,3% des facteurs de risque cardiovasculaires suivi de l'obésité 43,3%. Les prescripteurs étaient cardiologues dans 93, 4%. L'indication était dominée par l'angor stable ou douleur atypique dans 33,3%. La plaque d'athérome calcique était la lésion élémentaire la plus retrouvée dans 80% des cas suivi d'une plaque d'athérome mixte dans 15% des cas et non calcique dans 5% des cas. La dominance était à droite dans 66,7% des cas suivie de la dominance gauche dans 23% des cas et de la codominance dans 10% des cas. La trifurcation du tronc de l'artère coronaire gauche avec présence d'une bissectrice était retrouvée dans 20% des cas. Les examens pathologiques avaient une fréquence de 16,7%. La pathologie la plus représentée était la sténose sur plaque d'athérome dans 60% suivi d'anomalie de trajet représenté par le pont intra myocardique dans 20% et le trajet aorto-pulmonaire de la coronaire droite dans 20% des cas.

CONCLUSION: Le coroscanner est une technique d'imagerie d'évolution récente permettant une étude des artères coronaires. Grâce à sa valeur prédictive négative élevée, elle permet au cardiologue d'éliminer une maladie coronarienne.

Mots clés : Coroscanner, facteurs de risque cardiovasculaire, plaque d'athérome, sténose, Togo

CO87 : PERFORMANCES DE LA CLASSIFICATION PI-RADS-V2.1 DANS LA DETECTION DU CANCER DE LA PROSTATE CLINIQUEMENT SIGNIFICATIF.

Auteurs : MOULION TAPOUH Jean Roger^{1,2*}, MAGNY TIAM Éric³, MENGUE Juliette-Amélie^{4,5}, ISART Dominique⁵, MBOUCHE Landry A6, MAJTHOUB Anas⁵, MOIFO Boniface^{4,7}.

E-mail : tapouh@gmail.com

Pays : Cameroun

Objectif : Évaluer les performances diagnostiques de l'IRMmp avec la classification PI-RADS v2.1



dans la détection du cancer de la prostate cliniquement significatif (csPCa). Rechercher les corrélations existantes entre cette classification et les résultats histologiques des pièces de biopsies échoguidées et/ou de prostatectomie chez un groupe d'homme à risque.

Méthodologie : Revue iconographique.

Résultats : Étaient retenus, 79 patients d'âge médian de 67 ans (45 à 85 ans). La valeur médiane du taux de PSA total était de 8 avec des extrêmes de 2 à 185 ng/ml. La prévalence du PCa était de 65,82% (52/79) et celle du csPCa de 24,05% (19/79). La biopsie représentait 83% des analyses histologiques. Les lésions probablement malignes classées PI-RADS ≥ 3 représentaient 44,30% (35/79) et incluaient tous les 19 patients porteur d'un csPCa soit : sensibilité 100% (IC95%: 82-100), spécificité 73% (IC95%: 60-84), VPP 54% (IC95%: 37-71), VPN 100% (IC95%: 92-100) et l'aire sous la courbe ROC de 77,1% (IC95%: 68,8-85,5). Étaient significativement associés au csPCa en analyse univariée (IC=95%) : topographie de la lésion en zone périphérique (OR 7,6: 2,5-25,1), rehaussement après injection (OR 3,75: 9,22-154,19), effraction capsulaire (OR 49,7: 10,9-367,1), atteinte ganglionnaire (OR 27,2: 4,1-538,1) et toutes lésions PI-RADS ≥ 4 (OR 101,99: 17,79-1954). La variabilité inter-observateur n'était pas significativement associée au csPCa (OR 0,95: 0,63-1,31). Toutes les lésions classées PI-RADS ≥ 4 (OR 26,4 IC95%: 1,36-856,3) étaient corrélées au csPCa dans le modèle multivarié.

Conclusion : L'IRMmp a une sensibilité parfaite et une spécificité élevée pour la détection du csPCa. Les lésions classées PI-RADS ≥ 4 présentent une moindre variabilité inter observateurs et multiplient par 26 le risque de csPCa.

Mots clés : Cancer de la prostate, performances diagnostiques, IRM prostate, PI-RADS v2.1, histopathologie, adénocarcinome prostatique, ISUP.

CO88 : CARACTERISTIQUES SCANNOGRAPHIQUES DES CARCINOMES RENAUX A CELLULES CLAIRES : A PROPOS DE 26 CAS

L.G. AKPO1, K.DAHUN2, H. DEME2, N.BADJI2, M. H. TOURE1, A. D DIOP3, E. H.NIANG2 S. B.DIOP1

1. Service de Radiologie et d'Imagerie Médicale CHU FANN, Dakar
2. Service de Radiologie et d'Imagerie Médicale CHU Aristide Le Dantec, Dakar Sénégal
3. Service de Radiologie et d'Imagerie Médicale Hôpital Dalal JAM Dakar-Sénégal

Introduction

Les objectifs étaient : déterminer les caractéristiques scannographiques des carcinomes rénaux à cellules claires (confirmés à l'histologie).

Matériel et méthodes

Il s'agissait d'une étude rétrospective et comparative sur 10 ans aux services de Radiologie Imagerie médicale et d'Urologie de l'Hôpital Aristide le Dantec. Étaient inclus tous les patients ayant eu une tumeur rénale avec des résultats de la TDM préopératoire et histo-pathologiques de la pièce opératoire confirmant le sous-type de Carcinome à Cellules Claires. Les paramètres étudiés étaient : Le siège de la masse, la densité, la taille, la prise de contraste, la présence de calcifications ou de nécrose; l'envahissement vasculaire.

Résultats

Nous avons colligé 26 dossiers de patients. L'âge moyen était de 39,15 ans avec un écart type de 15,7. Le sexe ratio était de 0,44 avec 18 femmes (69,2%) pour 8 hommes (30,8).. La tumeur rénale siégeait à gauche dans 57,7 % des cas. Elle était de densité tissulaire chez 100% de nos patients. La taille moyenne était de 141,50 mm. On retrouvait une prise de contraste intense chez 92,3% des patients. Elle était absente dans 7,7% des cas. Le caractère nécrotique était retrouvé chez 20 patients (76,9 %). Six patients (23,1 %) présentaient des calcifications intra tumorales. L'envahissement vasculaire était retrouvé chez 3 patients (11,5%).

Conclusion

La TDM reste l'examen de référence pour la caractérisation du carcinome rénal à cellules claires.

Mots clés : Carcinome à cellules claire, TDM, prise de contraste, Nécrose, calcifications, envahissement vasculaire

Correspondant : geraudakpo@hotmail.com (00221-77542 94 70)



CO89 : PLACE DE L'UCR DANS LE DIAGNOSTIC DE LA PATHOLOGIE DU BAS APPAREIL URINAIRE AU CHU DE KATI

Ilias GUINDO1, Salia COULIBALY1, Amadou KASSOGUE3, Dramane BAGAYOKO1, Mamadou N'DIAYE2, Mody A CAMARA4, Issa DIARRA1, KEITA AD5.

Correspondant : Dr Guindo Ilias : +223 76 53 53 41.
ilias.guindo2000@gmail.com

RESUME :

INTRODUCTION : La pathologie du bas appareil urinaire est composée d'affections variées, qui sont responsables des troubles urinaires fréquents. L'exploration du bas appareil urinaire repose essentiellement en Afrique sur la technique conventionnelle d'opacification. Au Mali, les troubles urinaires constituent l'une des causes d'incapacité professionnelle, d'infirmité et peut altérer la qualité de vie des patients.

OBJECTIFS : Il s'agissait d'étudier les indications de l'UCR, préciser les pathologies et rechercher les anomalies associées.

MATERIELS ET METHODES : Il s'agissait d'une étude rétrospective et descriptive sur une période de 5 ans.

N'ont pas été inclus, les patients n'ayant pas bénéficié d'UCR dans le service et les examens de contrôle.

RESULTATS : Les pathologies du bas appareil urinaire ont représenté 78% des UCR. Elles touchent plus les hommes. La tranche d'âge de 61-70 ans était la plus concernée avec des extrêmes de 1 an à 101 ans. Les troubles mictionnels étaient les indications les plus fréquentes (43%), suivis de la rétention aigue d'urine (18%).

La pathologie urétrale était la plus fréquente (89%), suivie de la maladie du col vésical (5%), de la valve de l'urètre postérieur.

La vessie de lutte était le signe associé le plus fréquent (54%) avec un résidu post mictionnel chez 97% des patients.

CONCLUSION : Les pathologies du bas appareil urinaire sont relativement fréquentes dans notre contrée, dominées par les rétrécissements urétraux.

L'UCR reste l'examen de référence pour le diagnostic des pathologies obstructives du bas appareil urinaire.

MOTS CLES : Pathologies du bas appareil urinaire ; UCR ; CHU Kati.

CO90 : TOMODENSITOMETRIE DANS LE DIAGNOSTIC DU SYNDROME OBSTRUCTIF DE L'ARBRE URINAIRE CHEZ L'ADULTE A LOME (TOGO)

TRAORE S1*, ONDO MEBALEH DONG JA1,2, AGODA-KOUSSEMA LK1,2, ADJENOU KV1,3, TCHAOU M1,4, TENGUE K.VI,5, DOUMBOUYA I.S, DIALLO M.

1-Faculté des Sciences de la Santé, Université de Lomé (Lomé, TOGO)

2-Service de Radiologie, Centre Hospitalier Universitaire Sylvanus Olympio (Lomé, TOGO)

3-Service de Radiologie, Centre Hospitalier Universitaire Campus (Lomé, TOGO)

4-Service de Radiologie, Centre Hospitalier Régional Kara-Tomdè (Kara, TOGO)

5-Service d'Urologie, Centre Hospitalier Universitaire Sylvanus Olympio (Lomé, TOGO)

Objectif : Etudier la place de la tomodensitométrie dans le diagnostic du syndrome obstructif de l'arbre urinaire chez l'adulte à Lomé.

Méthode : Il s'est agi d'une étude rétrospective descriptive portant sur les comptes rendus d'examens tomodensitométriques de l'arbre urinaire, allant du 01 janvier 2017 au 31 décembre 2019 dans trois (3) structures sanitaires privées ayant une unité de scanner à Lomé.

Résultats : En 3 ans, 360 patients sur 3319 ont présenté un syndrome obstructif de l'arbre urinaire soit une fréquence de 10,8%. L'âge moyen des patients était de $46,3 \pm 15,4$ ans avec des extrêmes allant de 18 et 85 ans. Il y avait une prédominance masculine avec un sex-ratio de 1,1. Les patients provenant du service d'urologie étaient les plus nombreux (52,2%), autrement dit la majorité des patients soit 45,5% (n=164) avait été consulté par des urologues. La lithiase urinaire associée à l'hydronéphrose de découverte échographique ont été observées chez 89 patients (26,1%). L'uroscanner a



été réalisé chez 125 patients soit 34,7%. Le retard de sécrétion du PDC était observé chez 37,5% des patients. L'hydronéphrose et l'urétérohydronéphrose étaient les principaux éléments sémiologiques observés avec respectivement 51,8% et 37,8%. Les étiologies sont dominées principalement par les calculs à 44,7% et les tumeurs à 31,9%. Le calcul de topographie urétéral était le plus observé avec 40,8% et les tumeurs de topographie pelvienne étaient les plus nombreuses aussi avec 77,8%. Les calculs étaient les plus fréquents des causes intraluminales à 44,4% et les tumeurs quant à elles, prédominaient dans les causes extra luminales à 43%. Le syndrome de jonction pyélo-urétérale par croisement vasculaire (souvent en association avec les calculs) était le type des uropathies malformatives le plus dominant (43,1%). Le syndrome obstructif aigu était plus nombreux (52,7%) plus que le syndrome obstructif chronique (29,6%).

Conclusion :

L'imagerie tomodensitométrique en particulier l'uroscanner est d'un apport important dans le diagnostic du syndrome obstructif de l'arbre urinaire chez l'adulte. C'est un examen qui permet de mieux explorer les lésions ainsi que leur retentissement fonctionnel.

Mots clés : tomodensitométrie, syndrome obstructif, adulte, Lomé

CO91 : L'ARCHTHERAPIE VOLUMETRIQUE DANS LES CANCERS DE LA PROSTATE : EXPERIENCE DU CENTRE INTERNATIONAL DE CANCEROLOGIE DE LOME

Adama Diakité¹, Aphou Salle Koné² Georges Acquah¹, Viktor Adjenou¹

[1] Centre International de cancérologie de Lomé (CICL)

[2] Centre International de cancérologie de Dakar(CICD)

Auteur correspondant : Adama Diakité

Email : adamadoc@yahoo.fr

Introduction : la radiothérapie par arc-thérapie volumétrique (ou VMAT : Volumetric Modulated Arc Therapy). a permis une escalade de dose dans

les cancers de la prostate localement avancés ; elle permet de délivrer de fortes doses de rayon à la tumeur tout en minimisant la toxicité pour les tissus sains,

L'objectif de notre étude était d'évaluer les résultats préliminaires de l'irradiation prostatique par VMAT au CICL sur le plan de la dosimétrie, de la toxicité et de la réponse clinique,

Patients et méthode : il s'agit d'une étude rétrospective descriptive portant sur les cas de cancer de la prostate histologiquement prouvés et irradiés au CICL pendant la période de Janvier 2021 à Décembre 2022. Selon le stade les patients ont reçu une radiothérapie externe avec ou sans hormonothérapie concomitante.

La Technique par arcthérapie volumétrique avec boost intégrée simultanée était utilisée. La dose sur la prostate était de 74-76 Gy et 54 Gy sur les vésicules séminales et les relais ganglionnaires pelviens en cas d'irradiation pelvienne ; ce traitement était délivré en 34 à 38 fractions. Une dose de 60-66 Gy en 30 à 33 fractions était délivrés en cas d'irradiation postopératoire sur la loge prostatique,

Les données étaient recueillies par le logiciel Onchros, le contourage par le logiciel Artplan et la dosimétrie était réalisée par le logiciel Pinnacle.

Les paramètres étudiés étaient épidémiologiques, cliniques, paracliniques thérapeutiques.

Résultats : 31 cas de cancers de la prostate ont été colligés soit 22% ; l'âge moyen de notre population était de 68ans (54-84 ans) ; le taux moyen de PSA au diagnostic était de 55ng/ml (75% des patients avaient un PSA supérieur à 20), Selon d'Amico 2/3 de nos patients étaient classés haut risque. 18 patients sur 22 ont bénéficié d'une radiohormonothérapie, L'hormonothérapie était à base d'analogues de la LH-RH. Les toxicités aiguës recensées étaient surtout urinaire à type de pollakiurie surtout nocturne (33% des cas) et de brûlures mictionnelles (25%); environ 40% des patients ont signalé une asthénie de grade I ; 2 patients se sont plaints de toxicité digestive à type de diarrhée de grade I, Après un recul moyen de 6 mois nous estimons la réponse clinique bonne avec comme boussole un taux de PSA inférieur à 2ng/ml chez tous les patients et inférieur à 1 chez 90%,

Conclusion : notre expérience montre que la radiothérapie par VMAT+SIB permet de délivrer de



fortes doses en assurant un bon contrôle local mais surtout avec des toxicités aiguës très légères.

Mots clés : cancer de la prostate, radiothérapie, VMAT et SIB

CO92 : ANALYSE SEMI-QUANTITATIVE DES HYPERFIXATIONS METASTATIQUES EN SCINTIGRAPHIE OSSEUSE CORPS ENTIER DANS LE BILAN D'EXTENSION DES ADENOCARCINOMES PROSTATIQUES A HAUT RISQUE DE MALIGNITE : Étude préliminaire sur 10 ans au Sénégal.

1,2 SANOU Arsène Roland Anicet, 1 NDONG Boucar, 3 TALL Khaly, 3 DIALLO Waly, 1,2 DJIGO Mamadou Salif, 1,2 GUEYE Kalidou, 1,2 THIAW Gora Mohamet, 1,2 BATHILY El Hadji Lamine, 1DIOP Ousseynou, 4 BADIANE Moussa, 1,2 MBODJ Mamadou.

1. Département de Biophysique & Médecine Nucléaire, Université Cheikh Anta Diop Dakar, Sénégal
2. Service de Médecine Nucléaire, Hôpital General, Dakar, Sénégal
3. Département de Génie électrique, Ecole Supérieure Polytechnique, Université Cheikh Anta Diop, Dakar, Sénégal
4. Département de Biophysique, Université Gaston Berger, Saint Louis, Sénégal

Résumé

Introduction : L'interprétation d'une scintigraphie osseuse, se base essentiellement sur une analyse visuelle et n'est pas toujours une tâche facile pour le médecin nucléaire.

Pour minimiser le risque d'erreurs diagnostiques, une analyse quantitative des images de scintigraphie osseuse permettrait de dénombrer les hyperfixations métastatiques et d'en préciser l'étendue sur le squelette osseux. Nous avons implémenté une méthode d'analyse semi-quantitative d'un algorithme « k-mean/Image-J » sur un groupe d'adénocarcinomes prostatiques avec un score de Gleason à 9 ou à 10 considéré à haut risque de malignité.

Patients et Méthodes : Nous avons appliqué un algorithme itératif de «clustering kmean» fourni par

le logiciel libre «Image-J» sur des images de scintigraphie osseuse corps entier. Notre étude a concerné un sous-groupe de patients ayant bénéficiés d'une scintigraphie osseuse corps entier pour un bilan d'extension d'adénocarcinomes prostatiques dont le score de Gleason était de 9 ou 10 au moment du diagnostic initial.

Résultats : Nous avons obtenu un effectif total de neuf patients (N = 9), âgés de 56 à 74 ans. L'analyse visuelle a permis de confirmer l'ostéose maligne diffuse chez tous les patients. L'analyse semi-quantitative, à travers l'algorithme k-mean, a permis de dénombrer, de quantifier et de classer les hyperfixations métastatiques sur les images de scintigraphie osseuse de la face antérieure et de la face postérieure. Les valeurs moyenne, minimale et maximale sur une échelle de niveau de gris au-delà d'une valeur seuil de 250 ont été mesurées pour chaque hyperfixation métastatique.

Conclusion : Nous avons dénombré plus d'hyperfixations métastatiques au cours de l'analyse semi-quantitative que de l'analyse visuelle et plus sur les images de scintigraphie osseuse de la face postérieure que sur celles de la face antérieure. Dans les faibles disséminations, l'analyse visuelle offrait une meilleure performance. Dans les disséminations intermédiaires, étendues et le « superscan », l'algorithme « k-mean », offrait une meilleure précision diagnostique.

Mots-clés : Scintigraphie osseuse, Adénocarcinome prostatique, Hyperfixations métastatiques, Analyse semi-quantitative, « Image-J »

CO93 : APPORT DE L'IRM DANS L'EXPLORATION DES PATHOLOGIES DE LA PROSTATE : EVALUATION PRELIMINAIRE DANS L'UNITE D'IRM DU CNHU/HKM en 2022

Auteurs : A.P. YEKPE AHOANSOU*, S.B.M.G. ADJADOHOUN*, M. SAKA*, MS KIKI**, D.W.M.M. AKANNI*, KMS SAVI DE TOVE**, O. BIAOU*, V BOCO*

* Service d'imagerie médicale, Centre National Hospitalier Universitaire Hubert Koutoukou Maga (CNHU-HKM) de Cotonou



** Service d'imagerie médicale, Centre National Universitaire Départemental du Borgou et de l'Alibori

Auteur correspondant : S. ADJADOHOUN ; mahussi222@yahoo.fr; 07BP175 Cotonou Bénin. Téléphone : 0022961154987

RESUME

Introduction : L'IRM est la modalité d'imagerie recommandée pour l'exploration de la pathologie tumorale prostatique. L'absence de données au Bénin, L'installation récente de l'IRM 1,5 Tesla au CNHU-HKM et l'évaluation préliminaire des activités ont motivé ce travail dont l'objectif est d'étudier l'apport de l'IRM dans l'exploration des pathologies prostatiques au CNHU-HKM de Cotonou.

Matériels et Méthodes : Étude transversale descriptive à collecte prospective réalisée dans l'unité d'IRM du CNHU-HKM du 1er Juin 2021 au 28 Février 2022 (9mois). Ont été inclus tous les sujets adressés pour une IRM prostatique. Les examens ont été réalisés selon un protocole standard multiparamétrique sur une IRM SIEMENS MAGNETOM AMIRA 1,5 T. Les paramètres étudiés étaient la fréquence des examens, l'âge, la spécialité du prescripteur, la provenance de la demande, le taux de PSA, l'indication clinique et les résultats de l'IRM.

Résultats : Ont été colligés 65 patients. La fréquence de demande d'IRM prostatique était de 9,49 %. L'âge moyen des patients était de 66,32 ans \pm 7,54. Les demandes provenaient plus des hôpitaux publics (61,5%). Les prescripteurs étaient principalement des urologues (87,7%). L'augmentation de la PSA était l'indication chez 43,1% des patients. Le moyen taux de PSA était de 26,88 ng/ml. Le volume prostatique moyen était de 83,06 cm³ \pm 57,61. Un nodule cible suspect était trouvé chez 64,6% des patients. Les scores PIRADS 4 était plus retrouvé (40,7%). La zone périphérique était touchée dans 23,1% des cas. Une extension locale était présente chez 13,8% des patients. Les localisations secondaires osseuses et ganglionnaires étaient objectivées chez respectivement 4,6% et 6,2% des patients.

Conclusion : L'IRM a permis de faire le bilan exhaustif des différentes pathologies prostatiques au

CNHU-HKM. Cependant son accessibilité reste limitée.

Mots clés : IRM, prostate, Bénin.

CO94 : ETUDE ECHOGRAPHIQUE DE L'INDICE DE PROTRUSION PROSTATIQUE

BADJI Nfally1*, LO Ndeye Astou1, AKPO Geraud1, NDIATH Abdoulaye2, AIDARA Chérif Mouhamadou3, DEME Hamidou2, DIOP Abdoulaye D, LY Aissata, BA Sokhna3, NIANG El Hadji Service d'imagerie médicale, Hôpital Aristide Le Dantec, Dakar-Sénégal.

2 Service d'imagerie médicale, Hôpital Mohammed TaharMaamouri de Nabeul, Tunisie.

3 Service d'imagerie médicale, Hôpital Fann, Dakar-Sénégal.

4 Service d'imagerie médicale, Hôpital d'Enfant Albert Royer, Dakar-Sénégal.

□ Nfally BADJI, Médecin Radiologue, Service de Radiologie générale, Hôpital Aristide Le Dantec, Avenue Pasteur BP 3001 Dakar-Sénégal, nfallyb79@gmail.com. Tel:00221 77 517 36 80

Introduction : La protrusion prostatique intravésicale (IPP) est la saillie intra vésicale du lobe médian et ou des lobes latéraux de la prostate dans la lumière vésicale. Elle est quantifiée par l'indice de protrusion prostatique (IPP), mesuré grâce à l'échographie sus pubienne. L'objectif général de notre travail est d'étudier l'impact de la PPI sur les troubles urinaires.

Matériel et Méthodes : Il s'agissait d'une étude prospective, descriptive, transversale réalisée sur une période de 09 mois (Mars-Novembre 2019). Nous avons inclus, tous les patients ayant une PPI et ayant donné leur consentement.

Résultats : dix-huit patients avaient un volume prostatique entre 25-50 ml, 16 patients entre 50-100 ml et plus de 100ml chez 06 patients. Un IPP de grade 3 et 2 était observés respectivement chez 35 et 05 patients. Aucun cas IPP de grade 1. Quatorze patients avaient une vessie de lutte. Aucun cas de retentissement rénal. Un patient hypertendu présentait une différenciation cortico-médullaire. Pas de corrélation entre l'IPP et le volume



prostatique. Une association significative a été trouvée entre l'IPP et l'International Prostate Symptom Score et entre l'IPP et le Q max.

Conclusion : L'IPP est un bon marqueur de la sévérité des symptômes urinaires. Il doit être évalué lors des examens échographiques chez les sujets âgés présentant un tableau de prostatisme.

Mots clés : Hypertrophie prostatique, index de protrusion prostatique, échographie.

CO95 : EMBOLISATION DES FIBROMES UTERINS : BILAN DE DIX ANNEES D'ACTIVITE EN COTE D'IVOIRE

Auteurs : Acko-Ohui Estelle¹, Kouassi Bonfils², Gui-Bilé Lynda¹, Kabas Raissa¹, Kouadio Eric¹, Kouao Jean-Paul¹, Diabaté Sidiki¹, Yapo-Yapi Paulette¹

E-mail : ohuiestelle@yahoo.fr

Pays : Côte-d'Ivoire

Objectif : Rapporter le bilan de dix années de pratique de l'embolisation des fibromes utérins (EFU) en Côte d'Ivoire.

Méthodologie : Étude multicentrique rétrospective et observationnelle allant de février 2012 à février 2022. Les caractéristiques sociodémographiques, cliniques, radiologiques et évolutives des patientes ont été relevés dans un registre, enregistrées et analysées.

Résultats : Sur 12000 patientes vues en consultation, 300 ont pu bénéficier de l'EFU (2,5%). Quarante-cinq (15%) étaient non ivoiriennes. Parmi elles, 41(13,66%) venaient de 11 pays de la sous-région et 4 (1,33%) en international (4 pays). Leur âge variait de 25 à 54 ans avec une moyenne de 42 ans. Les patientes travaillant dans le secteur privé représentaient 61,5%. Les antécédents de myomectomie étaient prédominants (68%). Les motifs de consultation étaient dominés par les ménométrorragies (89%). Le volume utérin moyen et la taille des myomes dominants avant la procédure étaient respectivement de 1008 cm³ et 83 mm. Le nombre moyen de fibrome était de 12. Les myomes étaient essentiellement intramuraux (78%). Sur les 300 patientes, 108 avaient un désir de maternité. Dix-huit d'entre elles qui avaient un âge moyen de 35,8

ans ont pu concevoir soit un taux de 16,9% avec un total de 21 grossesses. Les troubles digestifs en rapport avec le traitement antalgique ont été les seules complications post EFU immédiates (2,3%). À long terme, deux aménorrhées non gravidiques ont été observées (0,66%).

Conclusion : L'EFU est en plein essor en Afrique subsaharienne en Côte d'Ivoire mais reste d'implantation lente du fait du coût élevé des particules d'embolisation ; d'où l'intérêt de l'étude pilote avec les particules en fil de suture.

Mots clés : Bilan, EFU, Côte d'Ivoire, Afrique sub-saharienne

CO96 : ETUDE DE L'EFFICACITE DES PARAVENTS PLOMBES UTILISES DANS LES SERVICES D'IMAGERIE MEDICALE DES CENTRES HOSPITALIERS PUBLICS DE LA REGION MARITIME DU TOGO

Nguidmo F, Dagbe M, Ameyapo AD, Tchaou M, AGODA-KOUSSEMA LK, Adjénou KV

Objectifs : Par ce travail, nous voulons :

- Identifier et répertorier les paravents plombés utilisés dans les services d'imagerie médicale des centres hospitaliers publics de la région maritime du Togo ;
- apprécier le positionnement et les dimensions des paravents plombés ;
- évaluer la structure des paravents plombés et leurs pouvoirs protecteurs ;
- procéder à un classement des paravents plombés (utilisable et non utilisable).

Matériels et méthode :

Nous avons effectué une étude prospective d'observation transversale du 08 mai au 28 octobre 2018 dans les services d'imagerie médicale des centres hospitaliers publics de la région maritime du Togo.

Notre échantillon était composé de 11 paravents qui étaient en cours d'utilisation. Nos investigations étaient faites sur la base l'identification des paravents, d'une étude qualitative (inspection physique) puis d'une étude dosimétrique (mesure de la dose équivalente de rayonnement diffusé devant et derrière les paravents).

**Résultats :**

Au total, 3 (27,27%) paravents plombés étaient étiquetés non-conformes et 8 (72,73%) étaient étiquetés conformes sur la base de nos critères de conformité.

Presque tous les paravents plombés non-conformes, 2 (66,67%) avaient une valeur de protection en équivalence de plomb de 2mm.

Tous les paravents plombés non-conformes avaient plus de 20ans de durée d'utilisation. La plus part des paravents plombés non-conformes, 2(66,67%) était peu propre et présentait des fissures.

Conclusion : Les paravents plombés, avec le temps et surtout lorsque leur durée d'utilisation est dépassée, peuvent présenter des défauts susceptibles d'occasionner un grand risque d'irradiation supplémentaire et inutile pour le personnel de radiologie; d'où la mise en œuvre d'une inspection annuelle adéquate dans les services d'imagerie médicale.

Mots clés : Paravent plombé, Imagerie médicale, Radioprotection, Identification, Etude de poste, Inspection, Dose équivalente, Région maritime du Togo.

CO97 : CARACTERISTIQUES SCANNOGRAPHIQUES THORACIQUES DES PATIENTS HOSPITALISES POUR COVID-19 A GOLDEN LIFE AMERICAN HOSPITAL.

GUINDO I1, CAMARA MA2, SANOGO S3, COULIBALY S1, DIARRA A4, KONE A5, N'DIAYE M6, DIARRA I1, KEITA CO1, DIALLO M7.

Auteurs correspondant : Dr Guindo Ilias : +223 76535341, ilias.guindo2000@gmail.com

Résumé :

Introduction : Le COVID-19 est une pandémie à échelle mondiale. L'absence de données scanographiques sur le COVID-19 au Mali nous a motivé d'initier ce travail.

Objectif : Etudier les aspects scanographiques thoraciques des patients hospitalisés pour Covid-19.

Matériels et méthode : Il s'agissait d'une étude descriptive prospective du 1 Aout au 30 septembre 2020, réalisée dans le service d'Imagerie de l'hôpital Golden Life de Bamako. Le matériel utilisé était le scanner 16barettes, les examens ont été fait sans injection de contraste.

Résultats : Durant la période nous avons enregistré 50 malades, avec sexe ratio de 4. L'âge moyen des patients était de 55 ans. Le symptôme le plus retrouvé était la toux (56%). L'HTA et le Diabète 4étaient respectivement les comorbidités dominantes (56% et 46%). A la TDM les principales lésions retrouvées étaient les verres dépoli (68%) et des condensations alvéolaires (28%), l'étendu des lésions étaient minime (42%), compliquées de pleurésie parfois.

Conclusion : La TDM est un outil précieux de diagnostic et d'évaluation de la gravité des lésions des malades à covid-19. Ses données doivent être prises en compte dans la prise en charge des patients.

Mots clés : Covid19-TDM thoracique-Hôpital Golden Life-Bamako

CO98 : IMPORTANCE DE L'IMAGERIE CEREBRALE CHEZ LE MIGRAINEUX.

Léhleng AGBA1,2, Donissongui SORO1, AWIDINA-AMA Awissoba1, Hugo YAÏCHE1, Olivier HEINZLEF1

1- Service de Neurologie, Centre Hospitalier Intercommunal de Poissy/Saint-Germain-En-Laye, Poissy – France

2- Service de Neurologie, CHU-Kara, Université de Kara, Kara – Togo

Corresponding author: Dr AGBA Léhleng. Neurologue, CHU-Kara, Université de Kara, Togo. BP : 618 Kara – Togo. Email: thierrielle@gmail.com

Résumé

La migraine est le type de céphalée le plus fréquent chez les jeunes adultes. Environ un tiers des migraineux présentent des auras comprenant des troubles de l'élocution, sensoriels, visuels ou moteurs, qui peuvent mimer de nombreux symptômes observés au cours des accidents vasculaires cérébraux (AVC). Certaines études observationnelles ont fait la preuve



d'une augmentation du risque d'AVC chez les personnes ayant des antécédents de migraine, mais d'autres n'ont pas trouvé cette association. A travers le cas clinique d'un patient de 66 ans migraineux avec aura, tabagique actif à 10 paquets-années, les auteurs font une revue de la littérature pour renforcer l'hypothèse de la migraine comme étant un facteur de risque d'infarctus cérébral. Ce cas clinique permet aussi de rappeler les anomalies observables à l'imagerie cérébrale chez le migraineux même en dehors des signes cliniques évidents d'AVC et entrant dans le cadre d'infarctus silencieux.

CO99 : INFECTIONS OSTEOARTICULAIRES DES MEMBRES AU CENTRE HOSPITALIER NATIONAL D'ENFANTS ALBERT ROYER DE DAKAR : APPORT DE L'ECHOGRAPHIE ET DE LA RADIOGRAPHIE

A. Ly, C.T. Diop, A.B. Diop, N. Badji, A. Dia, C. K. Dieng
Service de Radiologie. Centre Hospitalier National d'Enfants Albert Royer

Objectifs

- Décrire les aspects en imagerie des infections ostéoarticulaires des membres.
- Confronter les aspects échographiques et radiographiques, épidémiologiques et cliniques.

Matériels et méthode

Une étude monocentrique, observationnelle, rétrospective, descriptive et analytique sur 3 ans a concerné 150 dossiers d'enfants suivis au service de chirurgie pédiatrique du CHEAR de Dakar. La plupart avait bénéficié d'une échographie et ou d'une radiographie.

Résultats

Les enfants de 6 à 11 ans étaient prédominants avec un âge moyen de 6 ans. Le sex-ratio était en faveur des garçons. 13,3% de nos patients étaient drépanocytaires. Un traumatisme initial était noté chez 36%. La porte d'entrée était retrouvée dans 20% des cas. Le membre pelvien était touché dans 89% des cas. Des anomalies précoces étaient mises en évidence à l'échographie dans 97,5% des cas et à la radiographie standard dans 73,4%.

La ponction métaphysaire ou articulaire n'était positive que dans la moitié des cas.

La confrontation des aspects radiologiques, aux données épidémiologiques, cliniques montrait des corrélations statistiquement significatives entre le séquestre, la porte d'entrée cutanée, le terrain drépanocytaire et le trajet fistuleux.

Conclusion

Les IOA sont des urgences diagnostiques et thérapeutiques du fait des risques septiques et des séquelles fonctionnelles qui peuvent être majeurs surtout chez les plus jeunes. Dans nos régions, l'indisponibilité de l'IRM oblige à reconsidérer la place de l'imagerie conventionnelle dans leur prise en charge précoce.

Mots clés : Infection-os-membres-échographie-radiographie.

CO100 : ÉVALUATION IRM DES LESIONS MUSCULO-TENDINEUSES TRAUMATIQUES DU SPORTIF PROFESSIONNEL LORS D'UNE COMPETITION DE HAUT NIVEAU : CAS DE LA CAN TOTAL ENERGIES CAMEROUN 2021

Nwatsock JF1,2, Kouakam Y2, Vagoda C2, Guegang E1, 2.

1 : Service de Radiologie et Imagerie Médicale de l'Hôpital Général de Yaoundé, Cameroun

2 : Faculté de Médecine et des Sciences Biomédicales, Université de Yaoundé I, Cameroun

Contexte et objectif : Les lésions musculo-tendineuses font partie des blessures sportives les plus fréquentes, représentant jusqu'à 55% de l'ensemble des lésions traumatiques du sportif professionnel. Ces lésions sont mieux évaluées en IRM qui permet de les classer par degrés de sévérité. À l'occasion d'une compétition de haut niveau organisée au Cameroun, il nous a semblé opportun de mener cette étude dont le but était d'évaluer en IRM le profil lésionnel musculo-tendineux post-traumatique des footballeurs engagés dans la CAN Total Energies Cameroun 2021 dans la ville de Yaoundé.

Méthodes : Nous avons mené prospectivement une étude transversale descriptive, allant de Décembre 2020 en Avril 2022 au service de radiologie et imagerie médicale de l'Hôpital Général de Yaoundé. Étaient inclus dans l'échantillon final tous



footballeurs professionnels victimes d'un traumatisme dans le cadre d'un match ou d'une séance d'entraînement comptant pour la CAN Total Energies Cameroun 2021 dans la ville de Yaoundé. Les explorations IRM se faisaient en séquences 3D T1, T2, STIR et Fatsat. Toutes les données collectées ont été analysées grâce au logiciel IBM SPSS version 23.0 pour Windows avec un seuil de significativité de $p < 0,05$.

Résultats: Nous avons colligé les données de 22 sportifs professionnels tous de sexe masculin. L'âge moyen était de 28,4 ans avec des extrêmes de 23 et 34. Les nationalités les plus représentées étaient camerounaise et comorienne (31,8% chacune). Les postes de jeu les plus générateurs de traumatismes musculo-tendineux étaient celui de milieu de terrain (31,8%) et celui de défenseur (18,1%). Le mécanisme lésionnel le plus fréquemment retrouvé était le choc direct. Au niveau de l'analyse IRM, la prévalence des lésions musculaires était de 81,8%, l'œdème étant l'atteinte la plus retrouvée (9 cas ; 40,9%). Les muscles les plus touchés étaient le vaste externe du quadriceps et le soléaire (4 cas chacun, soit 18,1%). Les lésions associées étaient les atteintes aponévrotiques (40,9%) et les lésions tendineuses (31,8%). Dans 90,9% des cas, il s'agissait d'un muscle du membre inférieur avec 59,1% d'atteinte distale du corps musculaire. Selon la classification de Durey et Rodineau, le grade 1 était majoritaire avec 50,0% (11 cas) suivi du grade 2 (7 cas ; 31,8%).

Conclusion : Les lésions musculaires les plus retrouvées à l'IRM au cours de la CAN Total Energies Cameroun 2021 étaient des contusions œdémateuses touchant le plus souvent la partie distale du vaste latéral du quadriceps chez des joueurs de l'entre-jeu et par un choc direct. Ces lésions étaient principalement de grades 1 et 2.

Mots-clés: sportif professionnel, lésion musculo-tendineuse traumatique, CAN Total Energies Cameroun 2021, IRM, Yaoundé

CO101 : LES VARIATIONS ANATOMIQUES DU POLYGONE DE WILLIS : UN FACTEUR DE RISQUE DE LÉSIONS CÉRÉBRALES CHEZ LE PATIENT DRÉPANOCYTAIRE ?

Joseph Francis Nwatsock^{1,2}, Marie Laure Gharingam^{1,2,*}, Paolo Simoni³, Boniface Moifo¹
¹Faculté de Médecine et des Sciences biomédicales (FMSB), Université de Yaoundé I, Yaoundé, Cameroun

² Faculté de Médecine de l'Université Libre de Bruxelles (ULB), Bruxelles, Belgique

³ Service de Radiologie et Imagerie Médicale de l'Hôpital Universitaire Des Enfants Reine Fabiola (HUDERF), Bruxelles, Belgique

Contexte et objectif : Les lésions cérébrales observées chez les patients drépanocytaires sont le plus souvent réputées être dues aux vaso-occlusions. Mais d'autres facteurs pourraient être associés à la genèse de ces lésions. L'objectif de cette étude était d'évaluer l'association entre la présence des variations anatomiques du Polygone de Willis et celle des lésions cérébrales retrouvées à l'IRM chez les patients drépanocytaires.

Méthodes : Nous avons mené une étude transversale descriptive avec analyse rétrospective des images au service d'imagerie médicale de l'Hôpital Universitaire Des Enfants Reine Fabiola (HUDERF) de Bruxelles en Belgique sur une période de 12 mois de novembre 2020 en octobre 2021. Etaient inclus dans l'étude, 180 patients drépanocytaires homozygotes SS ayant un résultat d'électrophorèse documenté et ayant bénéficié d'une IRM cérébrale pendant la période d'étude. Les explorations IRM avaient été réalisées en séquences 3D T1, T2, T2*, Flair, Diffusion et TOF sur des patients en décubitus dorsal, la nuque fléchie, sur un appareil de marque Siemens® (Magnetom Area, Allemagne, 2015) de 1,5 Tesla. Les données collectées ont été compilées sur un fichier Excel et analysées grâce au logiciel SPSS® version 20.0 pour Windows® avec un seuil de significativité de $p < 0,05$.

Résultats : L'âge moyen des patients était de 8,6 ans sans différence significative entre les deux sexes. Les variations du polygone de Willis étaient présentes dans 19 cas (10,6%) avec une prédominance au niveau de l'hémicercle postérieur (6,7% contre 3,9% pour l'hémicercle antérieur ; $p=0,04$). La variation anatomique la plus fréquente était le type G correspondant à une hypoplasie ou une absence de l'artère communicante antérieure au niveau de l'hémicercle antérieur, et une hypoplasie ou une



absence unilatérale d'une artère communicante postérieure à l'hémicercle postérieur. Au niveau parenchymateux, les lésions cérébrales étaient retrouvées dans 10 cas (5,6%) parmi lesquelles les lésions ischémiques (2,8%), les leucopathies (1,1%), les lésions hémorragiques (0,6%) et des cas d'hydrocéphalie (0,6%). Un cas de malformation de type Chiari I (0,6%) a également été retrouvé. D'une façon générale, l'existence de ces lésions était significativement associée à la présence des variations du polygone de Willis ($p=0,01$).

Conclusion et recommandations : La présence des variations anatomiques du polygone de Willis chez les patients drépanocytaires est fortement associée à l'existence de lésions cérébrales. Nous en concluons donc que l'existence de variations anatomiques du polygone de Willis pourrait être un facteur méconnu augmentant le risque de lésions cérébrales et donc de morbidité chez ces patients. Nous recommandons que des études similaires soient menées sur de plus larges échantillons afin de vérifier nos constatations.

Mots clés : Variation anatomique – polygone de Willis – Drépanocytose – IRM – Lésions cérébrales

CO102 : PROFIL IRM DES LÉSIONS MEDULLAIRES NON TRAUMATIQUES À L'HÔPITAL GÉNÉRAL DE YAOUNDÉ (CAMEROUN) : ETUDE PRÉLIMINAIRE À PROPOS DE 20 CAS

Nwatsock JF1, 2, Sandjong S2, Seme EAM2, Kouakam Y2, Etoo EB1, Tebera H1, Guegang GE1, 2.

1 : Service de Radiologie et Imagerie Médicale de l'Hôpital Général de Yaoundé, Cameroun

2 : Faculté de Médecine et des Sciences Biomédicales, Université de Yaoundé I, Cameroun

ABSTRACT

Contexte et objectif : Le diagnostic des pathologies médullaires non traumatiques repose essentiellement sur la clinique et l'imagerie par résonance magnétique (IRM). Avec l'installation de l'IRM haut champs à l'Hôpital Général Yaoundé, il est désormais possible d'en rechercher précisément les causes dans notre milieu. L'objectif de cette étude était donc de

déterminer le profil IRM de ces lésions dans notre contexte.

Méthodes : Nous avons mené une étude préliminaire transversale descriptive sur 6 mois de novembre 2021 en avril 2022 dans la principale formation hospitalière de première catégorie de la ville de Yaoundé, incluant 20 patients référés des services de neurologie et de neurochirurgie. Les explorations IRM ont été réalisées sur un appareil de marque Siemens Magnetom de 1,5 Tesla en séquences sagittales T1, T2, STIR, MYELO, T1fatsat avant et après injection de gadolinium. Des séquences axiales centrées sur les niveaux lésionnels et les zones suspectes complétaient les acquisitions. Les données recueillies ont été colligées sur une feuille Excel et analysées grâce au logiciel Statistical Package for Social Sciences (SPSS) version 23.0 avec un seuil de significativité de $p<0,05$.

Résultats : L'âge moyen des patients était de 47,2 ans avec des extrêmes de 21 et 75 ans, un sex-ratio H/F de 2,3 et des antécédents de néoplasie prostatique, mammaire ou digestive dans 10% des cas. Sur le plan clinique, la névralgie cervico-brachiale était retrouvée chez 40% de patients, suivie des syndromes de compression médullaire (20%). Sur le plan topographique, le rachis cervical était touché dans 40% contre 30% pour le rachis dorsal et 5% au niveau lombo-sacré. Les atteintes pluri-étagées ne représentaient que 3% des cas. Les lésions extradurales représentaient 50% des cas, suivies des lésions intradurales extra médullaires (30%) et des lésions intra-médullaires (20%). Les étiologies retrouvées étaient les myélopathies cervicoarthrosiques avec œdème médullaire (40%) et les lésions osseuses métastatiques (20%). Dans 10% des cas, les lésions IRM ont permis d'évoquer l'existence d'un cancer.

Conclusion : Les lésions IRM médullaires non traumatiques dans notre milieu sont dominées par les myélopathies cervicoarthrosiques et les atteintes métastatiques de topographies essentiellement extradurales. Une étude plus étendue s'avère nécessaire pour préciser ces premières constatations.

Mots-clés : lésion médullaire non traumatique, compression médullaire lente, IRM



CO103 : INTERET DE L'ARCHTHERAPIE VOLUMETRIQUE AVEC BOOST INTEGRE SIMULTANE DANS LES CANCERS DU COL UTERIN : EXPERIENCE DU SENEGAL

Auteurs :

Aphou Sallé Koné¹, Maïmouna Mané M², Adama Diakité³, Papa Massamba Diène², Joël Nguessan¹, Abdoul Aziz Kassé¹, Mustapha Mamadou Dieng⁴, Papa Macoumba Gaye², Amaraldo Ayemou¹.

[1] Centre International de Cancérologie de Dakar (Dakar-Sénégal)

[2] Centre International de cancérologie de Lomé (Lomé-Togo)

[3] Service de Radiothérapie, CHN Dalal Jamm (Dakar-Sénégal)

[4] Service de Radiothérapie, CHU Le Dantec (Dakar-Sénégal)

Auteur correspondant: Aphou Sallé Koné.

Coordonnée: E-mail : aphousalle@yahoo.fr

Introduction : L'archthérapie volumétrique a déjà prouvé sa supériorité dosimétrique sur la radiothérapie conformationnelle tridimensionnelle (RC3D) et sur la radiothérapie conformationnelle avec modulation d'intensité (RCMI) dans la prise en charge des cancers du col utérin. Elle permet de délivrer de fortes doses à la tumeur tout en minimisant la toxicité. L'objectif de notre étude était de comparer l'archthérapie volumétrique avec boost simultané intégré et RC3D dans les cancers du col utérin localement avancés.

Matériels et méthodes : étude descriptive, prospectif des cas de cancers du col utérin au CICD, de juillet 2019 à juin 2020, incluant les cas de cancer invasif du col de l'utérus, confirmé histologiquement, traités par radiothérapie et chimiothérapie selon la technique VMAT avec SIB, aux doses de 60 Gy sur lésion macroscopique, 55 Gy sur lésion microscopique à haut risque et 45 Gy lésion microscopique à faible risque en 25 fractions.

Résultats : 20 cas de cancer du col utérin ont été colligés, soit 12% ; avec un âge moyen de 55 ans (33-73ans). Le carcinome épidermoïde était majoritairement représenté ainsi que les stades IIB et III. La dose dans 95% du volume cible prévisionnel (D 95%) était supérieure à 95% de la dose prescrite et inférieure à 107% de la dose prescrite chez toutes les

patientes. Les principales complications étaient digestives et urinaires de grade I (65%) et II (45%). La technique VMAT avec boost intégré simultané permet de réduire la durée totale du traitement de 2 semaines permettant ainsi d'améliorer le contrôle local. La réponse précoce du traitement était objective chez toutes les patientes, avec 80% de réponse complète et 20% de réponse partielle.

Conclusion : L'archthérapie volumétrique avec boost intégré simultané constitue une bonne alternative en l'absence ou en cas de contre-indication de la curi-thérapie.

Mots-clés : cancer du col utérin, radiothérapie, VMAT avec SIB

CO104 : ETUDE COMPARATIVE DES DOSES DELIVREES AUX PATIENTS PEDIATRIQUES PAR RAPPORT A LA DOSE DE REFERENCE, AU SCANNER DE L'HOPITAL DU MALI

CAMARA M.A1 KANE. B2 DIARRA H1 TRAORE M.M1 TOURE B.M1, NDIAYE M4, TRAORE S3 KONATE Z1 COULIBALY S1 COULIBALY S5 GUINDO I5 KONE A 6 SIDIBE S6

Auteur correspondant : Dr CAMARA Mody Abdoulaye, Radiologiste, CHU Hôpital du Mali. Bamako, république Mali.

Adresse : drmacamara@Yahoo.fr / +22366722580

1. Service d'Imagerie Médicale- Hôpital du Mali
2. Service de pédiatrie- Hôpital du Mali
3. Service d'imagerie Médicale CHU du Kati
4. Unité d'Imagerie Médicale du CSREF CV
5. Hôpital infirmerie de Bamako Unité d'Imagerie Médicale
6. Service d'Imagerie Médicale CHU BBS KATI
7. Service d'imagerie Médicale de la polyclinique Pasteur

Introduction

La radioprotection des enfants constitue un enjeu en imagerie médicale pédiatrique. Les niveaux de référence diagnostique (NRD), introduit aux années 1990, sont destinés à aider les professionnels dans leurs pratiques et à optimiser les doses délivrées aux patients. Nous avons initié cette étude dans le but d'évaluer les doses d'exposition reçues par les enfants lors des examens TDM.



Méthodologie :

Etude, prospective, réalisée dans le service d'imagerie médicale de l'hôpital du Mali, sur une période de 12 mois (janvier – décembre 2020). Elle portait sur la comparaison des doses reçues par nos patients par rapport aux normes de références. Ont été inclus tout patient des deux sexes de 0-15 ans ayant fait une TDM à l'hôpital du Mali pendant la période, dont les dossiers ont été retrouvés. Les variables étudiées étaient : l'âge, le sexe, la région anatomique, la clinique de les paramètres d'acquisition et la DLP.

Résultats:

Nous avons colligés 205 TDM pédiatrique avec une fréquence hospitalière de 4%. Il existe une prédominance masculine (60%) et La tranche d'âge 0- 5 ans représentaient 64% des patients. L'exploration concernait le crâne dans 72,68 %. Les doses délivrées aux patient de 0-4ans pour les TDM non injectées étaient : le crâne (447mGy/cm) le thorax (137mGy/cm) l'abdomino-pelvienne (380mGy/cm). Les doses délivrées aux patient de 5-10ans pour les TDM non injectées étaient : le crâne (887mGy/cm) le thorax (185mGy/cm) l'abdomino-pelvienne (599mGy/cm).

Conclusion:

Les doses délivrées aux enfants lors des TDM sont aux dessus des NRD internationaux. Un nouveau paramétrage des constances et la révision de certains protocoles sont nécessaires afin de réduire des doses délivrées. La mise en place de nos normes de références diagnostiques s'avère plus que nécessaire. Les autres méthodes d'imagerie restent des alternatives diagnostiques.

Mots clés : Doses, TDM, enfants, Hôpital du Mali

CO105 : ASSOCIATION ENTRE FACTEURS DE RISQUE CARDIOVASCULAIRES ET LA MALADIE CORONARIENNE EVALUEE A L'AIDE DU SCORE CAD-RADS A YAOUNDE

Zouliatou Nzina Toupendi, Eric Magni Tiam, Jerome Bombhi, Boniface Moifo*

Auteur correspondant : Pr Boniface Moifo, Faculté de Médecine et des Sciences Biomédicales de Yaoundé, Email : bmoifo@yahoo.fr

Introduction : La maladie coronarienne est une cause majeure de décès dans le monde. Le diagnostic de cette pathologie fait recours aux tests fonctionnels non invasifs (scintigraphie myocardique, échocardiographie de stress), au coroscanner et à la coronarographie. Devant l'insuffisance du plateau technique de coronarographie en Afrique en général et au Cameroun en particulier, le coroscanner trouve une place de choix dans le dépistage des anomalies coronariennes chez les patients à risque. Il est donc important d'identifier les caractéristiques des patients dont le bénéfice de cet examen serait plus important.

Objectif : Evaluer l'association entre les facteurs de risque cardiovasculaires et la coronaropathie à l'aide du score CAD-RADS dans la population des patients ayant réalisés le Coroscanner à Yaoundé.

Méthodologie : Nous avons mené une étude transversale analytique incluant consécutivement tous les dossiers des patients ayant réalisé un coroscanner entre 2019 et 2021 au Centre Médical la Cathédrale pour suspicion d'une maladie coronarienne. Nous avons exclu tous les dossiers non renseignés ou des images non interprétables en raison des artefacts de mouvements liés aux troubles du rythme cardiaque. Tous les coroscanners étaient réalisés sur une machine TOSHIBA AQUILION CX 128 barrettes selon un protocole standardisé. Les principales variables étudiées étaient les facteurs de risque cardiovasculaires, le niveau de risque cardiovasculaire évalué selon le score SCORE ainsi que les anomalies coronaires au coroscanner. Les analyses statistiques étaient réalisées à l'aide du logiciel Epi Info version 7. L'association entre les facteurs de risque cardiovasculaires et le score CAD-RADS élevé (≥ 3) a été recherchée en analyse bivariée par les tests de Khi 2 et de Fisher pour les variables qualitatives et de mann-whitney/wilcoxon pour les variables quantitatives. La régression logistique multi-variée a été utilisée pour exclure les facteurs de confusion. Le seuil de significativité a été fixé à une valeur $p < 0,05$.

Résultats : Nous avons recruté au total 85 participants. La moyenne d'âge était de $55,5 \pm 10,7$ ans avec des extrêmes allant de 32 à 81 ans. Les hommes représentaient 70,59% ($n=60$, sex-ratio=2,4). Le principal facteur de risque cardiovasculaire était



l'hypertension artérielle (77,64%, n=66) suivi de l'obésité (47,05%, n=40). Douze patients (14,12%) avaient un score CAD-RADS élevé. Le niveau de risque cardiovasculaire était faible, modéré, ou élevé chez respectivement 22,35% (n=19), 51,8% (n=44), 25,9% (n=22) patients. Les participants qui avaient un niveau de risque cardiovasculaire élevé avaient 52 fois plus de risque d'avoir une association avec un score CAD-RADS élevé ($P < 0.001$). En analyse bivariée : l'âge, l'antécédent de maladie artérielle périphérique, l'hérédité coronarienne, le diabète, la dyslipidémie étaient statistiquement associés à un score CAD-RADS élevé. Après régression logistique multivariée des facteurs de risque cardiovasculaire, seul l'âge (>50 ans) était indépendamment associé à un CAD-RADS élevé ($p=0,0086$).

Conclusion : L'âge (>50 ans) ainsi que le niveau de risque cardiovasculaire global sont les principaux facteurs associés à un score CAD-RADS élevé. Il est important de mettre en place des stratégies de dépistage précoce de cette pathologie potentiellement grave au sein des groupes à risque.

Mots clés : Facteurs de risque cardiovasculaires, Niveau de risque cardiovasculaire, maladie coronarienne, score CAD-RADS, Yaoundé

CO106 : TUMEUR NEURONALE MULTINODULAIRE ET VACUOLAIRE : A PROPOS DE DEUX CAS AU CNHU-HKM

Auteurs : S.B.M.G. ADJADOHOUN*, MS KIKI**, D.W.M.M. AKANNI**, M. OLOUDE*, P. YEKPE AHOANSOU*, KMS SAVI DE TOVE** O. BIAOU*, BOCO VICENTIA*

* Service d'imagerie médicale, Centre National Hospitalier Universitaire Hubert Koutoukou Maga (CNHU-HKM) de Cotonou

** Service d'imagerie médicale, Centre National Hospitalier Départemental du Borgou et de l'Alibori

Auteur correspondant : S. ADJADOHOUN ; mahussi222@yahoo.fr; 07BP175 Cotonou Bénin. Téléphone : 0022961154987

RESUME

Introduction : Les tumeurs neuronales multinodulaires et vacuolaires (MVNT) sont des

lésions rares, de bas grade, incluses dans la classification de l'Organisation Mondiale de la Santé des tumeurs du système nerveux central en 2016. L'IRM encéphalique permet d'évoquer le diagnostic.

Objectif : Rapporter 02 cas découverts à l'IRM, qui ont permis une revue des éléments du diagnostic.

Observation 1 : Patiente de 61 ans, ayant consulté en neurologie pour des vertiges et des céphalées frontales bilatérales chroniques, irradiant dans les yeux et les oreilles, évoluant depuis 03ans. L'examen physique était normal. L'IRM avait objectivé une lésion sous corticale frontale gauche, constituée de petits nodules arrondis confluent en grappe de raisin en hyposignal T1, hypersignal T2, diffusion sans restriction de l'ADC, de isosignal Flair ne prenant pas le contraste et mesure 22 mm x 18mm. Il n'y avait pas d'œdème péri lésionnel. La patiente n'a bénéficié d'aucun traitement et présente un déni de la lésion.

Observation 2 : Patient de 36 ans, présentant des myoclonies avec des paresthésies intermittentes du membre thoracique gauche évoluant depuis 2 ans. L'examen physique avait noté une parésie avec force musculaire segmentaire chiffrée à 3/5 du membre thoracique gauche. L'IRM a montré une formation sous corticale frontale para médiane droite, multinodulaire, en hyposignal T1, Flair et SWI, sans restriction de l'ADC, en hypersignal T2, avec un discret rehaussement périphérique, cernée par un œdème péri-lésionnel et mesure 31 mm x 21 mm. Le patient est actuellement sous traitement médical symptomatique fait d'anti épileptiques. L'évolution est marquée par une diminution de la fréquence des myoclonies.

Conclusion : La tumeur neuronale multinodulaire et vacuolaire, entité rare peut être évoquée devant des critères spécifiques morphologiques et topographiques à l'IRM. Cependant la confirmation du diagnostic reste histologique.

Mots clés : Tumeur neuronale multinodulaire et vacuolaire, IRM, Bénin.



CO107 : RUPTURE TRACHEALE PAR ACCIDENT DE LA VOIE PUBLIQUE : A PROPOS DE 02 CAS AU CNHU-HKM DE COTONOU AU BENIN

Auteurs : S.B.M.G. ADJADOHOUN, D.W.M.M. AKANNI**, M. S KIKI**, ALSA LOKOSSOU*, HOUNTON S.E. D*, M. OLOUDE*, P. YEKPE AHOANSOU*, KM. S SAVI DE TOVE** O. BIAOU*, V. BOCO*

* Service d'imagerie médicale, Centre National Hospitalier Universitaire Hubert Koutoukou Maga (CNHU-HKM) de Cotonou

** Service d'imagerie médicale, Centre National Universitaire Départemental du Borgou et de l'Alibori

Auteur correspondant : S. ADJADOHOUN ; mahussi222@yahoo.fr; 07BP175 Cotonou Bénin. Téléphone : 0022961154987

RESUME

Introduction : Les traumatismes trachéo-bronchiques sont rares et souvent graves. L'imagerie a une place de choix en urgence pour orienter la prise en charge.

Objectif : rapporter deux (02) cas de traumatisme trachéal fermé survenu au décours d'un accident de la voie publique.

Observation 1 : Patient de 42ans, admis aux urgences pour réception de la région cervicale sur le guidon d'une moto suite à un accident de la voie publique type moto-moto. Cliniquement il présentait une dysphonie, des crachats hémoptoïques, un emphysème sous cutané massif de la région thoraco-cervico-faciale. Le scanner cervico-thoracique a mis en évidence une rupture bifocale postéro-latérale droite, de l'emphysème sous cutané et un pneumomédiastin. Il a bénéficié d'un traitement médical conservateur, avec une évolution favorable.

Observation 2 : Patient de 79ans, référé d'un hôpital de zone pour un traumatisme thoracique suite à un accident de la voie publique type piéton-moto. Cliniquement, il présentait une polypnée une douleur avec tuméfaction de l'hémithorax gauche, un emphysème sous cutané massif cervico-thoraco-abdominale et un syndrome d'épanchement pleural gazeux bilatéral. Le scanner cervico-thoracique a mis

en évidence une rupture complète avec subluxation trachéale à environ 3cm de la carène, un pneumomédiastin, un pneumothorax bilatéral et une dissection gazeuse des espaces cervicaux profonds et des plans musculaires de la paroi thoraco-abdominale. Il a bénéficié d'un traitement chirurgical. L'évolution a été favorable.

Conclusion

La reconnaissance d'un traumatisme trachéal est indispensable pour guider au mieux la prise en charge thérapeutique. Le scanner hélicoïdal contribue au diagnostic et à l'orientation de l'attitude thérapeutique.

Mots clés : traumatisme, trachée, scanner, Bénin

CO108 : PLACE DU SCANNER ABDOMINAL DANS LES COMPLICATIONS DE LA MALADIE DE CROHN

BADJI NF1*, ABDENNAJI R1,2,, BOUZAIKI K2, AKPO L.G.1, AIDARA C.M3, DEME H1, DIOP AD, LY A4, BA S3.

1 Service d'imagerie médicale, Hôpital Aristide Le Dantec, Dakar-Sénégal.

2 Service d'imagerie médicale, Hôpital Mohammed TaharMaamouri de Nabeul, Tunisie.

3 Service d'imagerie médicale, Hôpital Fann, Dakar-Sénégal.

4 Service d'imagerie médicale, Hôpital d'Enfant Albert Royer, Dakar-Sénégal.

***Auteur correspondant :** Nfally BADJI, Médecin Radiologue, Service de Radiologie générale, Hôpital Aristide Le Dantec : Avenue Pasteur BP 3001 (Dakar, Sénégal) Tel:00221 77 517 36 80/00221 76 537 80 90, nfallyb79@gmail.com

Résumé

Objectif: Le but de ce travail était d'étudier la place du scanner dans la prise en charge en urgence des complications abdominales de la maladie de crohn (MC).

Matériels et Méthodes: Il s'agissait d'une étude rétrospective, descriptive et transversale réalisée sur une période de 04 ans (1er Janvier 2015 au 31 Décembre 2018) portant sur 125 dossiers de patients colligés dans le service de radiologie de l'hôpital Mohammed Tahar Maamouri à Nabeul en Tunisie.



Ont été inclus tous les patients reçus aux urgences pour une symptomatologie abdominale aiguë sur terrain de MC. Nous avons étudié les aspects scanographiques des complications digestives de la MC et les facteurs prédictifs de survenue des complications.

Résultats: Les aspects scanographiques observés étaient : un épaississement pariétal dans 97.6% des cas, un rehaussement pariétal et stratifié dans 52% des cas, une infiltration de la graisse mésentérique dans 49.6% des cas, une hyperhémie mésentérique dans 45.6% des cas, une sclérolipomatose dans 64.8% des cas et des adénomégalies dans 22.8% des cas. Les lésions siégeaient au niveau de l'ileon terminal dans 35.8% des cas. Les principales complications étaient des sténoses dans 26.4% des cas, des fistules dans 16.8% des cas et des abcès dans 12.8% des cas. Autres signes associés : sacroiliite, lithiases, pancréatite. Une corrélation a été établie entre la survenue de complications abdominales et l'absence de traitement immunosuppresseur, la présence de douleur abdominale, d'une fièvre et d'un syndrome occlusif.

Conclusion: Le scanner est une technique d'imagerie qui garde toujours ses indications dans la prise en charge de la MC notamment dans le diagnostic des complications abdominales où il constitue l'examen de choix dans les situations d'urgence.

Mots clés: Maladie de Crohn, scanner abdominal, complications.

CO109 : VOLUMINEUSE MASSE MEDIASTINALE REVELEE PAR UNE DYSPNEE CHEZ UN ENFANT DE 3 ANS.

Auteurs : Lamboni D1, Koulekey D1, Kebalo P2, Guedenon J 3, Bignandi K1, Keheou P1, Gnassingbé K2, Dosseh E1

E-mail : damsane@yahoo.fr

Pays : Togo

Objectif : rapporter l'intérêt de la réalisation d'une radiographie thoracique dans l'exploration d'une dyspnée persistante chez un enfant.

Méthodologie : cas clinique

Résultats : Garçonnet de 3 ans né par voie basse sans complications néonatales qui a présenté depuis l'âge d'un an une dyspnée lors du jeu ayant été traité à plusieurs reprises pour une crise d'asthme. La réalisation d'une radiographie du thorax et d'une tomodensitométrie thoracique a permis de diagnostiquer une volumineuse masse médiastino-pulmonaire droite hétérogène à point de départ médiastinal antérieur. Une résection chirurgicale par sternotomie a permis un soulagement définitif du patient. L'examen anatomo-pathologique a permis de confirmer la nature bénigne de la masse.

Conclusion : les masses médiastinales peuvent se révéler par une symptomatologie de compression intrathoracique notamment par une dyspnée. Il est important de réaliser très précocement une imagerie thoracique chez tout enfant qui consulte à plusieurs reprises pour une dyspnée.

Mots clés : masse médiastinale –enfant-compression

CO110 : ETUDE COMPARATIVE DES DOSES DELIVREES AUX PATIENTS PEDIATRIQUES PAR RAPPORT A LA DOSE DE REFERENCE, AU SCANNER DE L'HOPITAL DU MALI

CAMARA M.A1 KANE. B2 DIARRA H1 TRAORE M.M1 TOURE B.M1, NDIAYE M4, TRAORE S3 KONATE Z1 COULIBALY S1 COULIBALY S5 GUINDO I5 KONE A 6 SIDIBE S6

Auteur correspondant : Dr CAMARA Mody Abdoulaye, Radiologiste, CHU Hôpital du Mali. Bamako, république Mali.

Adresse : drmacamara@yahoo.fr / +22366722580

1. Service d'Imagerie Médicale- Hôpital du Mali
2. Service de pédiatrie- Hôpital du Mali
3. Service d'imagerie Médicale CHU du Kati
4. Unité d'Imagerie Médicale du CSREF CV
5. Hôpital infirmerie de Bamako Unité d'Imagerie Médicale
6. Service d'Imagerie Médicale CHU BBS KATI
7. Service d'imagerie Médicale de la polyclinique Pasteur

Introduction

La radioprotection des enfants constitue un enjeu en imagerie médicale pédiatrique. Les niveaux de référence diagnostique (NRD), introduit aux années



1990, sont destinés à aider les professionnels dans leurs pratiques et à optimiser les doses délivrées aux patients. Nous avons initié cette étude dans le but d'évaluer les doses d'exposition reçues par les enfants lors des examens TDM.

Méthodologie :

Etude, prospective, réalisée dans le service d'imagerie médicale de l'hôpital du Mali, sur une période de 12 mois (janvier – décembre 2020). Elle portait sur la comparaison des doses reçues par nos patients par rapport aux normes de références. Ont été inclus tout patient des deux sexes de 0-15ans ayant fait une TDM à l'hôpital du Mali pendant la période, dont les dossiers ont été retrouvés. Les variables étudiées étaient : l'âge, le sexe, la région anatomique, la clinique de les paramètres d'acquisition et la DLP.

Résultats:

Nous avons colligés 205 TDM pédiatrique avec une fréquence hospitalière de 4%. Il existe une prédominance masculine (60%) et La tranche d'âge 0- 5 ans représentaient 64% des patients. L'exploration concernait le crâne dans 72,68 %. Les doses délivrées aux patient de 0-4ans pour les TDM non injectées étaient : le crâne (447mGy/cm) le thorax (137mGy/cm) l'abdomino-pelvienne (380mGy/cm). Les doses délivrées aux patient de 5-10ans pour les TDM non injectées étaient : le crâne (887mGy/cm) le thorax (185mGy/cm) l'abdomino-pelvienne (599mGy/cm).

Conclusion:

Les doses délivrées aux enfants lors des TDM sont aux dessus des NRD internationaux. Un nouveau paramétrage des constances et la révision de certains protocoles sont nécessaires afin de réduire des doses délivrées. La mise en place de nos normes de références diagnostiques s'avère plus que nécessaire. Les autres méthodes d'imagerie restent des alternatives diagnostiques.

Mots clés : Doses, TDM, enfants, Hôpital du Mali

CO111 : CONTRIBUTION DE L'ECHOGRAPHIE DANS LA PRISE EN CHARGE DES DOULEURS ABDOMINALES DE L'ENFANT. A PROPOS DE 401 CAS.

S GUIDAH1, I BAKO2, B ABDOULKARIM1.

1. Service de radiologie, Hôpital National Amirou Boubacar Diallo (HNABD) de Niamey.
2. Service de radiologie, Hôpital National Général de Référence (HNGR) de Niamey.

Introduction: Les douleurs abdominales sont fréquentes chez l'enfant et leur exploration est très souvent facilitée par l'échographie. Grace à son innocuité et sa disponibilité c'est la technique d'imagerie la mieux adaptée pour cette tranche d'âge.

Objectifs : Déterminer les aspects épidémiologiques, cliniques et radiologiques des douleurs abdominales chez l'enfant.

Matériels et méthode : Il s'agissait d'une étude rétrospective et descriptive menée de janvier 2015 à décembre 2020 soit 72 mois. L'appareil utilisé était un échographe de marque Mindray muni de 2 sondes : une sectorielle de 3,5 MHz et une linéaire de 7 MHz.

Résultat : L'âge moyen des patients était estimé à 5,07 ans. Parmi ces 401 patients on dénombrait 266 garçons et 135 filles soit 66,33% et 33,67% respectivement. 285 échographies sur 401 étaient pathologiques soit 71,07 % des cas. Les malformations digestives étaient les lésions les plus observées (50,53% entre 0 et 10 ans surtout) suivies par les évalués (14,74%), les lithiases (10,17%) et les tumeurs (1,40%) plus fréquentes entre 3 et 5 ans.

Conclusion : L'échographie est la technique d'imagerie non irradiante et la plus disponible au Niger. Elle est de ce fait la mieux indiquée dans l'exploration des douleurs abdominales de l'enfant. Les malformations étaient les lésions les plus fréquemment rencontrées suivies par les lésions infectieuses et lithiasiques.

Mots clés : Douleur, abdomen, enfant, échographie, Niger



CO112 : INVAGINATION INTESTINALE AIGUË SUR DIVERTICULE DE MECKEL : A PROPOS D'UN CAS AU CNHU-HKM DE COTONOU

Auteurs : S.B.M.G. ADJADOHOUN1, A. AMOUSSOU2, J.G.K. KASHOMBO1, H.O. SOGBO2, H.F.B HOUDANOU1 D.W.M.M. AKANNI3, M.S. KIKI 3, A.P. YEKPE 1, K.M.S. SAVI de TOVE 3, O. BIAOU 1 A. FIOGBE2, V. BOCO1

1 Service d'imagerie médicale, Centre National Hospitalier Universitaire Hubert Koutoukou Maga (CNHU-HKM) de Cotonou

2 Service de chirurgie pédiatrique du CNHU-HKM, Faculté des Sciences de la Santé, Cotonou-Bénin

3 Service d'imagerie médicale, Centre National Universitaire Départemental du Borgou et de l'Alibori

Correspondant : S. ADJADOHOUN ; mahussi222@yahoo.fr; 07BP175 Cotonou Bénin. Téléphone : 0022961154987

RESUME

Introduction : L'invagination intestinale aiguë (IIA) est une urgence diagnostique et thérapeutique, d'étiologie idiopathique ou secondaire à un obstacle local tel qu'un diverticule de Meckel. Le tableau clinique parfois atypique peut égarer le diagnostic.

Objectif : Illustrer un cas d'IIA secondaire à un diverticule de Meckel, simulant une appendicite iliaque.

Observation : Adolescent de 12ans, admis pour suspicion d'une appendicite iliaque droite subaiguë, avec une échographie initiale en ville, évoquant un plastron appendiculaire. L'échographie au CNHU-HKM, objective une volumineuse masse sous-hépatique, hyperéchogène hétérogène, ovalaire avoisinant les anses iléales et le colon ascendant, associée à un épanchement liquidien intra-péritonéal de moyenne abondance. Une tomodensitométrie abdominale a donc été réalisée et a révélé une double invagination iléo-iléale et iléo-caecale, confirmée en per opératoire avec découverte d'un diverticule de Meckel. Il a bénéficié d'un traitement chirurgical. Les suites opératoires étaient simples.

Conclusion : Le diverticule de Meckel longtemps asymptomatique, peut être responsable de complications telle qu'une IIA iléo-caeco-colique, égarant le diagnostic clinique et même radiologique, mettant en jeu le pronostic vital.

Mots clés : Invagination intestinale aiguë, diverticule de Meckel, scanner, Bénin

CO113 : FIBROMATOSIS COLLI : A PROPOS D'UN CAS AU CNHU-HKM DE COTONOU AU BENIN

Auteurs : S.B.M.G. ADJADOHOUN, M. S KIKI**, A.M.O ZINZINDOHOUE*, A.R.O.T. GABA*, D.W.M.M. AKANNI**, YEKPE AHOANSOU*, KMS SAVI DE TOVE**, O. BIAOU*, V. BOCO *

* Service d'imagerie médicale, Centre National Hospitalier Universitaire Hubert Koutoukou Maga (CNHU-HKM) de Cotonou

** Service d'imagerie médicale, Centre National Universitaire Départemental du Borgou et de l'Alibori

Auteur correspondant : S. ADJADOHOUN ; mahussi222@yahoo.fr; 07BP175 Cotonou Bénin. Téléphone : 0022961154987

RESUME

Introduction : Le fibromatosis colli (FC) est une pseudotumeur rare du muscle sterno-cléido-mastoïdien (SCM), à l'origine d'un torticolis dit congénital chez le nouveau-né ou le nourrisson. Son diagnostic fait appel à l'échographie qui permet de mettre en évidence un épaissement caractéristique du muscle.

Objectif : Illustrer un cas au CNHU-HKM qui a permis une revue des modalités diagnostiques.

Observation : Il s'agissait d'un nourrisson de 8 semaines, de sexe masculin, adressé par le service de pédiatrie, pour l'exploration échographique d'une tuméfaction latéro-cervicale gauche. La tuméfaction s'accompagnait d'une latéro-déviations droite la tête. Il n'y avait pas de notion de fièvre, ni de traumatisme. Le reste de l'examen clinique était normal. L'échographie réalisée à l'aide d'une sonde linéaire de 12 MHz notait une formation fusiforme hyperéchogène du corps du muscle SCM gauche comparativement au muscle du côté opposé, avec



conservation de l'aspect fibrillaire du muscle. Devant cet aspect clinique et échographique le diagnostic de FC a été retenu. Le nourrisson a bénéficié de mesures physiques. La régression totale de la tuméfaction avait été observée au quatrième mois.

Conclusion : Le fibromatosis colli est une pseudotumeur rare, à évoquer à l'échographie chez un nourrisson, devant une masse latéro-cervicale développée aux dépens du SCM avec des critères morphologiques échographiques bien spécifiques. En cas de doute une IRM pourrait être réalisée.

Mots clés : Fibromatosis colli, pseudotumeur, cervicale, échographie, Bénin.

CO114 : RADIOGRAPHIE DU THORAX EN PÉDIATRIE : JUSTIFICATION ET DOSES D'ENTRÉE À PARAKOU EN 2021.

AKANNI Djivèdé*1, ADJADOHOUN Sonia2, KIKI Miralda1, ZAMBA Angelo1, SAVI de TOVE Kofi-Mensa1, BIAOU Olivier 2, BOCO Vicentia2
Faculté de Médecine, Université de Parakou
Faculté des Sciences de la Santé, Université d'Abomey Calavi

*Auteur Correspondant : Akanni Djivèdé, Médecin radiologue, djivakanni@yahoo.fr

RESUME

Objectifs : Étudier la justification et calculer la dose d'entrée des radiographies du thorax chez les enfants de 0 à 15 ans dans le service d'imagerie médicale du Centre Hospitalier Universitaire Départemental du Borgou et de l'Alibori (CHUD-B/A) à Parakou.

Méthodes : Il s'agissait d'une étude transversale descriptive effectuée du 15 janvier au 15 mai 2021. Les enfants âgés de 0 à 15 ans chez qui une radiographie du thorax a été réalisée dans la période d'étude ont été inclus. La justification des indications a été évaluée grâce au Guide de Bon Usage (GBU) de la Société Française de Radiologie (SFR) et la dose à l'entrée a été calculée à partir Module Internet de Calcul de Doses (MICADO) de l'Institut de Radioprotection et Sécurité Nucléaire (IRSN).

Résultats : Au total 115 enfants ont été inclus. L'âge moyen des enfants était de $34,7 \pm 39,1$ mois et la

tranche de [1-5[ans était la plus représentée (47,74%). La sex-ratio (M/F) était de 1,2. La bronchopneumonie était l'indication la plus fréquente (60%). 26,96% des examens n'étaient pas justifiés selon le GBU. La dose d'entrée était de 0,16 ; 0,17 ; 0,20 et 0,20 mGy respectivement pour les tranches d'âges de [0 à 1[an, [1 à 5[ans, [5 à 10[ans et [10 à 15] ans. Les doses d'entrée étaient corrélées à l'âge, au poids, à la tension et à l'intensité.

Conclusion : Les radiographies du thorax chez les enfants sont souvent non justifiées. Les doses d'entrée calculées selon le MICADO sont supérieures aux Niveaux de référence diagnostique (NRD) de l'IRSN pour les tranches d'âge de [0 à 1[an, [1 à 5[ans.

Mots clés : enfants, radiographie thoracique, justification, dose d'entrée, NRD, Parakou.

CO115 : EVALUATION DES CONNAISSANCES DES RESIDENTS EN RADIOLOGIE ET IMAGERIE MEDICALE D'AFRIQUE FRANCOPHONE SUR L'ANNONCE DES RESULTATS DES EXAMENS INDIQUES POUR CANCER

AMADOU, NGUIMDO F, SONHAYE L, AGODAKOUSSEMA LK, ADJENOU K

Evaluation de la relation résidents-patients en radiologie et imagerie médicale (RIM) d'Afrique noire francophone

OBJECTIF

Évaluer les connaissances des résidents en RIM d'Afrique noire francophone sur la relation radiologue -patients en radiologie

MÉTHODOLOGIE

Il s'agit d'une enquête d'opinion au travers d'une fiche électronique en utilisant l'application Web des formulaires Google sur une période du 1er Mai au 1er Aout 2021. Le questionnaire a été envoyé dans plusieurs forums des DES RIM AFRO, DES RIM TOGO et les autres forums des D.E.S RIM de chaque pays avec des rappels individuels ultérieurs les semaines suivantes.

RÉSULTATS



Nous avons recueilli 144 réponses individuelles des résidents. L'âge moyen était de 35,3ans, avec une prédominance masculine (sex ratio homme/femme de 1,43).

Les pays de formation étaient majoritairement représentés par le Togo avec 35%. Il y'avait une prédominance des D.E.S 3 et 4 avec 27% résidents chacun.

Les résidents qui rencontraient les patients avant la réalisation de l'examen d'imagerie représentaient 83% et 59% rencontraient les patients après les examens. La communication automatique des résultats était faite par 76% des résidents. Le lieu de communication des résultats était la salle d'examen après une échographie pour 80% des résidents et dans un bureau ou salle dédiées pour les annonces des résultats après un examen de TDM ou d'IRM pour 31% résidents

Les difficultés rencontrées dans l'annonce des résultats étaient le niveau d'information à délivrer pour 50% des résidents

Le cursus de spécialité était considéré comme insuffisant pour 59 (41%) résidents et suffisant pour 56 (39%) sur la relation radiologue-patient

Concernant la formation dans l'annonce des résultats, 49% des résidents estimaient que les moyens pédagogiques étaient inadaptés.

CONCLUSION

Le niveau de connaissance de la relation résidents-patient en radiologie et imagerie médicale ne serait pas satisfaisant, ceci en raison de l'absence de formation spécifique adaptée dans le cursus pédagogique.

Mots clés : relation, résidents, patients, radiologie, Afrique

CO116 : DYSTROPHIE MUSCULAIRE DE DUCHENNE (DMD). A PROPOS D'UN CAS CHEZ UN GARÇON DE 10 ANS.

S GUIDAH1, I BAKO2, B ABDOULKARIM1, I A TOURE3

1. Service de radiologie, Hôpital National Amirou Boubacar Diallo (HNABD) de Niamey.

2. Service de radiologie, Hôpital National Général de Référence (HNGR) de Niamey.

3. Service de cardiologie et médecine interne (HNABD)

Introduction : La dystrophie musculaire de Duchenne est due à un déficit d'un complexe protéique de la membrane des cellules musculaires facilitant leur contraction. Sa transmission est autosomique récessive. Elle peut souvent mettre en jeu le pronostic vital par atteinte des muscles respiratoires et cardiaques.

Observation : Il s'agissait d'un garçon de 10 ans présentant des troubles de la marche dont le début remontait à l'âge de 3 ans. La fréquence des chutes accompagnées souvent par des pertes de connaissance obligea les parents à sa déscolarisation.

Résultats : La notion de consanguinité a été retrouvée ainsi qu'un antécédent chez un cousin proche décédé à l'âge de 23 ans. L'examen clinique a révélé un trouble de la marche avec une inclinaison postérieure du thorax comme posture d'équilibre. Le scanner des membres pelviens a montré une dégénérescence musculaire avec reconversion graisseuse des parties molles. Les examens biologiques ont montré une élévation des enzymes LDH. L'électroneuromyogramme (ENMG) a confirmé le diagnostic. Le traitement est essentiellement palliatif avant l'installation des complications cardiorespiratoires. L'espoir est permis avec les essais cliniques en cours par thérapie génique.

Conclusion : La dystrophie musculaire de Duchenne est une maladie génétique grave dont le pronostic est souvent réservé. Le diagnostic est clinique, radiologique et biologique. Le scanner montre la dégénérescence musculaire. Le dosage des LDH et l'ENMG confirment le diagnostic. Dans nos pays où la prise charge médicale est difficile le conseil génétique est fondamental et doit être précoce.

CO117 : PRATIQUE DE LA BIOPSIE SCANNOGUIDEE AU CENTRE HOSPITALIER UNIVERSITAIRE MERE-ENFANT "LE LUXEMBOURG"

BUT: Analyser l'efficacité, les limites et les complications du guidage par TDM à faible milli-ampérage dans la réalisation de biopsies.

OBJECTIFS :

- d'évaluer les résultats de notre pratique de la ponction-biopsie scannoguidée ;



- de décrire les complications ;
- de rapporter le profil histologique des lésions rencontrées.

MATERIEL ET METHODE :

Il s'agit d'une étude prospective et descriptive sur une période de 6 mois réalisée au Centre Hospitalier Universitaire Mère- Enfant « Le Luxembourg » à Bamako-Mali. Un total de 20 patients ayant eu une ponction biopsie scannoguidée durant notre période d'étude avait été retenue.

RESULTATS :

Après une aseptie rigoureuse nous avons procédé à des prélèvements sous guidance scannographique avec un système coaxial dans 100% des cas.

Nous avons recensé 70% de sexe masculin contre 40% de sexe féminin les tranches d'Age les plus représentées ont été de 60-69 ans soit 35% des patients, de 50-59 ans soit 30% des patients.

Nous avons eu 3 carottes chez 75% des patients, 2 carottes chez 10%, 1 carotte chez 10% et 4 carottes chez 05% des patients.

Nous avons recensé 2 complications mineures soit 10% des patients (à type de pneumothorax minime) qui n'ont pas nécessité de prise en charge particulier. Le délai moyen entre les prélèvements et les résultats variait entre 10 jours et 15 jours.

Nous avons eu des résultats contributifs chez 80% des patients et non contributifs chez 10% des patients.

Les lésions les plus représentées ont été : les carcinomes 50%, les fibroses 25%, les adénocarcinomes 10%

CONCLUSION :

Les biopsies scannoguidées avec aiguilles coaxiales ont permis d'avoir des résultats anatomopathologiques contributifs avec peu de complications. Elles ont permis d'avoir un traitement adéquat en oncologie.

CO118 : APPORT DE L'ECHOGRAPHIE AU DIAGNOSTIC DES DOULEURS ABDOMINALES AIGUES NON TRAUMATIQUES AU CHU DEPARTEMENTAL BORGOU-ALIBORI A PARAKOU (BENIN)

Auteurs : KIKI SMHG1*, AKANNI DMMW1-2, HADONOU A2, NSEKE CE1, SAVI de TOVE KM1-2.

E-mail : gracekik@yahoo.fr

Pays : Benin

Objectif : Evaluer l'apport de l'échographie au diagnostic des douleurs abdominales aiguës non traumatiques.

Méthodologie : Il s'est agi d'une étude transversale descriptive et analytique avec collecte prospective des données menée du 29 mars au 30 juillet 2021 dans le service d'imagerie médicale du CHUD-B/A. Était inclus tout patient ayant une douleur abdominale évoluant depuis moins d'une semaine sans notion de traumatisme et ayant réalisé une échographie.

Résultats : L'âge moyen était de $28 \pm 17,34$ ans avec une sex-ratio de 0,88. Cent soixante-seize (176) examens d'imagerie ont été réalisés (153 échographies et 23 ASP). L'ASP a retrouvé des opacités déclives diffuses (52,94%), des pneumopéritonées (35,29%) et des niveaux hydro-aériques (26,31%). Les principales affections retrouvées à l'échographie étaient par ordre de fréquence, les adénolymphites mésentériques (14,4%), les péritonites aiguës (13,6%), les appendicites aiguës (12,8%) et les occlusions intestinales (8%). La concordance radio-clinique était moyenne ($k=0,41$) et celle radio-chirurgicale était très bonne ($k=0,88$).

Conclusion : L'échographie abdominale permet de différencier les urgences abdominales à sanction chirurgicale de celles médicales avec une très bonne concordance radio-chirurgicale.

Mots clés : Douleur abdominale aiguë, échographie, ASP, abdomen aigu, concordance.

CO119 : TUMEUR STROMALE GASTRO-INTESTINALE DU CANAL ANAL : RAPPORT DE CAS.

Auteurs : Panakinao Simban, Tchinn Darré, Mazamaesso Tchaou, Boyodi Tchangaï, Toukilnan Djiwa, Aklesso Bagny, Fousseni Alassani, Gado Napo-Koura.



E-mail : panakinaoprs@gmail.com

Pays : Togo

Objectif : Nous rapportons une localisation extrêmement rare de GIST au niveau anal chez un patient de 33 ans.

Méthodologie : Un patient de 33 ans a été admis dans le service de chirurgie viscérale pour une masse périanale à augmentation progressive depuis 6 mois, avec des douleurs depuis 1 mois. L'examen clinique a révélé au niveau anal, une masse anale de consistance ferme, aux contours réguliers, sans saignement, et la pression sur la masse déclenchait des douleurs d'intensité modérée. Il n'y avait pas d'adénopathies palpables.

Résultats : L'échographie a révélé une masse solide anale, sans autre anomalie associée. L'imagerie par résonance magnétique (IRM) a révélé une masse solide nodulaire régulière et limitée de 8 ×6×3 cm, développée à partir de la paroi latérale droite du canal anal, sous les muscles releveurs de l'anus. Après chirurgie, l'histologie conventionnelle avait montré une prolifération tumorale faite de cellules fusiformes très cellulaires disposées en faisceaux enchevêtrés avec des foyers d'hémorragie et de nécrose. L'analyse a révélé une immunoréactivité diffuse et dense des cellules néoplasiques vis-à-vis des antigènes C-kit (CD117) et légèrement pour l'antigène du muscle lisse (SMA) et le CD34.

Conclusion : Les GIST sont généralement asymptomatiques, et le diagnostic est souvent fortuit, que ce soit au cours d'une procédure endoscopique pour d'autres maladies ou lors d'une imagerie par tomodensitométrie, réalisée pour des conditions abdominales non liée.

Mots clés : Gastro-intestinal, stromal, tumeurs, anales.

CO120 : ASPECTS ECHO-MAMMOGRAPHIQUES ET ANATOMOPATHOLOGIQUES DU CANCER DU SEIN CHEZ L'HOMME AU TOGO

Auteurs : N'TIMON B, DARRE T, YAKAM W

E-mail: cntimon@yahoo.fr

Pays: Togo

Objectif : rapporter les cas de cancer du sein chez l'homme au Togo en décrivant les principaux aspects épidémiologiques, mammo-échographiques et anatomopathologiques.

Méthodologie : il s'est agi d'une étude rétrospective, descriptive et analytique de 10 cas de patients de sexe masculin présentant un cancer du sein confirmé par l'examen anatomopathologique sur les prélèvements échoguidés sur une période de 6 ans au Centre Hospitalier Universitaire de Lomé et de Kara

Résultats : Au total, dix patients ont été retenus. L'âge moyen des patients était de 55 ans avec des extrêmes de 39 ans et 65 ans. Tous les patients avaient une masse palpable au sein. Les lésions ont été classées à 60% BIRADS 5 et 40 % BIRADS 4. Le taux d'envahissement ganglionnaire axillaire était de 40 %. Le carcinome canalaire filtrant était le type histologique diagnostiqué chez tous les patients.

Conclusion : Toute masse mammaire chez un sujet âgé est suspect de malignité. L'écho-mammographie joue un rôle important dans le diagnostic à côté de l'anatomie pathologie

Mots clés : homme, Sein, Cancer, Mammographie-Échographie, anatomopathologie, Togo

CO121 : PROFIL IRM DE L'INFARCTUS MEDULLAIRE A LOME

AKUE MM1. AMADOU A2. DAGBE M3. SONHAYE L4. AGODA KOUSSEMA LK1. ADJENOU KV4

- 1- Centre Hospitalier Universitaire Sylvanus Olympio
- 2- Centre Hospitalier Régional de KARA
- 3- Centre Hospitalier Universitaire de KARA
- 4- Centre Hospitalier Universitaire Campus

RESUME

Objectif : Décrire les caractéristiques clinico-remnographiques de l'infarctus médullaire au Togo.

Méthodologie : Il s'est agi d'une série de 3 cas d'infarctus médullaire (IM) colligés de façon rétrospective sur une période d'un an et demi, dans le



service d'imagerie médicale de la Clinique Mère et Enfant « L'étoile » de Lomé ainsi que dans le service de neurologie du Centre Hospitalier Universitaire-Campus et les services de neurochirurgie et rhumatologie du Centre Hospitalier Universitaire-Sylvanus Olympio. L'appareil d'IRM utilisé était de bas champ magnétique.

Résultats : Nous avons rapporté 3 cas d'IM chez des patients qui étaient tous de sexe masculin âgés respectivement de 3 ans, 28 ans et 48 ans. Le déficit moteur était retrouvé dans tous les cas, d'installation rapide et flasque avec des troubles sphinctériens. Le syndrome médullaire antérieur était le plus fréquent. L'imagerie par résonance magnétique réalisée au-delà d'une semaine du début des symptômes a permis de faire le diagnostic avec la séquence T2 qui retrouvait un aspect en hypersignal T2 et en hyposignal T2 dans tous les cas. Les étiologies étaient la poliomyélite et la hernie discale.

Le traitement était à base de corticoïde et d'une rééducation fonctionnelle avec une évolution plus ou moins favorable.

Conclusion : L'imagerie par résonance magnétique est l'examen incontournable pour le diagnostic rapide et précis de l'infarctus médullaire.

Mots clés : infarctus médullaire, syndrome médullaire, étiologies, imagerie par résonance magnétique

CO122 : BILAN TOMODENSITOMETRIQUE DE L'ABDOMEN AIGU NON TRAUMATIQUE CHEZ L'ADULTE A LOME

ESSONO NAAH AC1. AMADOU A2. DAGBE M3. SONHAYE L1. AGODA KOUSSEMA LK4. ADJENOU KV1

- 5- Centre Hospitalier Universitaire Campus
- 6- Centre Hospitalier Régional de KARA
- 7- Centre Hospitalier Universitaire de KARA
- 8- Centre Hospitalier Universitaire Sylvanus Olympio

Objectif : déterminer le profil TDM des étiologies de l'abdomen aigu non traumatique (AANT) de l'adulte.

Méthode d'étude : étude rétrospective et descriptive portant sur les patients âgés de plus de 18 ans, ayant

réalisé le scanner dans un contexte d'AANT du 1er janvier 2018 au 31 décembre 2020 dans les services de Radiologie de Lomé, au TOGO. Les paramètres étudiés étaient la fréquence, l'âge, le sexe, le lieu de réalisation du scanner, les indications, les prescripteurs, la sémiologie et la pathologie.

Résultats : Au cours de notre étude, 1358 cas de scanners abdomino-pelviens ont été prescrits dont 330 cas pour AANT soit 24,30%. L'âge moyen était de 45 ans avec une prédominance du sexe masculin (65,76%)

La douleur abdominale était retrouvée dans tous les cas, et était localisée dans 67,27% des cas.

Les étiologies retrouvées étaient dominées par lithiase des voies urinaires (25,54%), suivies des occlusions intestinales (17,98%) et de l'appendicite (13,67%).

La lithiase urinaire était de siège urétéral dans 61,97%.

Les occlusions intestinales étaient de type grélique dans 31 cas (62,00%) dont l'étiologie était dominée par des adhérences (96,77%).

Dans les cas d'appendicite, l'épaississement appendiculaire et l'infiltration de la graisse péri appendiculaire étaient retrouvés dans tous les cas.

Les pancréatites aiguës étaient de sévérité modérée dans 68,57% des cas.

Conclusion : Les AANT représentent de véritables urgences diagnostiques. Le scanner est un atout incontournable permettant un diagnostic précoce et précis des différentes étiologies.

Mots clés : AANT- Urgence- Adulte- Scanner- Togo

CO123 : BILAN D'ACTIVITES DE L'UNITE D'IRM DE LA POLYCLINIQUE INTERNATIONALE SAINT JOSEPH DE LOME (TOGO)

AHONYI K1, ONDO MEBALEH DONG JA1, GBANDE P2, BARAK1, TCHALLA1, TCHAOU2, N'TIMON3, AGODA-KOUSSEMA LK1,2, ADJENOU V4.

1- Service de Radiologie, Centre Hospitalier Universitaire Sylvanus Olympio (Lomé, TOGO)

2- Service de Radiologie, Centre Hospitalier Régional de SOKODE (Sokodé, TOGO)



3- Service de Radiologie, Centre Hospitalier Universitaire Kara (Kara, TOGO)

4- Service de Radiologie, Centre Hospitalier Universitaire Campus (Lomé, TOGO)

***Auteur correspondant** : AGODA-KOUSSEMA L.K, Médecin Radiologue, Chef service de Radiologie et Imagerie Médicale CHU SO

Email : Koussemaagoda@gmail.com

RESUME

Objectif :

Le but de ce travail était de rapporter le panorama des examens d'IRM réalisés à la Polyclinique Internationale Saint Joseph de Lomé.

Méthode :

Il s'est agi d'une étude rétrospective et descriptive réalisée sur une période de sept ans, du 1er janvier 2010 au 31 décembre 2016, concernant les examens d'IRM réalisés au sein de l'unité d'IRM de la polyclinique Internationale Saint Joseph de Lomé.

Résultats :

Nous avons recensés 1135 examens d'IRM, toutes les tranches d'âge ont été concernées avec une prédominance de tranche d'âge de [50-59] ans. Le sexe masculin était prédominant avec une sex-ratio de 1,42. Les patients provenaient principalement du Togo et du Bénin. Les examens d'IRM du rachis dans 41,50% (n=471), d'IRM cérébrale dans 36,04% (n=409) et d'IRM de l'appareil ostéoarticulaire dans 13,56% (n=154) ont été les types d'examen les plus réalisés. La lomboradiculalgie dans 24,42% (n=115), l'accident vasculaire cérébral dans 26,16% (n=107) et la gonalgie dans 34,42% (n=53) ont été les principales indications à la réalisation de ces différents types d'examen.

Les lésions dégénératives du rachis dans 83,18% (n=351), l'accident vasculaire cérébral ischémique dans 23,65% (n=57) et les lésions méniscales dans 39,9% (n=85) ont été les pathologies les plus répertoriées.

Conclusion :

L'IRM est une modalité d'imagerie qui joue un rôle non négligeable dans la prise en charge de plusieurs pathologies. Elle doit être de plus en plus vulgarisée en précisant ses indications. L'installation de cette modalité dans une structure sanitaire publique améliorera son accessibilité à la population.

Mots clés : IRM, indication, pathologie, Polyclinique privée, Lomé.

CO124 : PLACE DE L'ECHOGRAPHIE DANS LE DIAGNOSTIC DES DOULEURS ABDOMINALES AIGUES ET CHRONIQUES DE L'ENFANT A PROPOS DE 185 CAS A LA CNSS DE CONAKRY.

Auteurs : DOUMBOUYA I.S.

E-mail : isdoubouya93@gmail.com

Pays : Guinée

Objectif : Ressortir la place de l'échographie dans le diagnostic des douleurs abdominales aiguës ou chroniques chez l'enfant au centre de diagnostic de la caisse nationale de sécurité sociale de Conakry

Méthodologie : Etude prospective de type descriptif d'une durée de 03mois

Résultats : Nous avons colligé 185 enfants durant la période d'étude et 128 cas d'échographie ont été réalisés soit 69,19%. Les adénolymphites mésentériques ont été les plus rencontrées soit 50,74%.

Conclusion : L'échographie demeure un examen qui a un apport considérable dans le diagnostic et la prise en charge des douleurs abdominales aiguës ou chroniques de l'enfant.

Mots clés : Echographie, enfant, douleurs abdominales adénolymphite CNSS Conakry.

CO125 : PROFIL IRM DES TUMEURS DE LA FOSSE POSTERIEURE DE L'ENFANT A LOME.

Auteurs : DOUMBOUYA I.S.

E-mail : isdoubouya93@gmail.com

Pays : Guinée

Objectif : Etudier l'apport de l'IRM dans l'exploration des tumeurs de la fosse postérieure de l'enfant à Lomé

Méthodologie : Etude rétrospective et descriptive multicentrique qui s'est déroulée sur une période de



36 mois. Elle a porté sur les résultats d'IRM cérébrale effectués chez les enfants d'âge inférieur ou égal à 15 ans.

Résultats : Durant la période d'étude 32 dossiers répondaient aux critères de sélection avec une prévalence de 30,47 %
Le médulloblastome était la tumeur la plus dominante.

Conclusion : L'IRM est le moyen d'imagerie le plus utile dans le diagnostic des tumeurs de la fosse postérieure de l'enfant. Elle apporte des informations nécessaires au diagnostic et à la prise en charge des personnes atteintes.

Mots clés : IRM, fosse postérieure, médulloblastome, enfant, Lomé

CO126 : PROFIL DES RESULTATS DES EXAMENS RADIOGRAPHIQUES STANDARDS ABANDONNÉS PAR LES PATIENTS AU SERVICE DE RADIOLOGIE ET D'IMAGERIE MEDICALE EN 2019 AU CHU-SO (TOGO)

AKPO E1, AHONYI K1, ONDO MEBALEH DONG JA1, GBANDE P2, BARAKI NAON V1, TCHAOU2, N'TIMON3, AGODA-KOUSSEMA LK1,2, ADJENOU V4.

- 1- Service de Radiologie, Centre Hospitalier Universitaire Sylvanus Olympio (Lomé, TOGO)
- 2- Service de Radiologie, Centre Hospitalier Régional de SOKODE (Sokodé, TOGO)
- 3- Service de Radiologie, Centre Hospitalier Universitaire Kara (Kara, TOGO)
- 4- Service de Radiologie, Centre Hospitalier Universitaire Campus (Lomé, TOGO)

*Auteur correspondant : AGODA-KOUSSEMA L.K, Médecin Radiologue, Chef service de Radiologie et Imagerie Médicale CHU SO

Email : Koussemaagoda@gmail.com

Résumé

Objectif :

Ce travail a pour but d'étudier le profil des résultats des examens radiographiques standards abandonnés

au service de radiologie et d'imagerie médicale en 2019 au CHU-SO (Togo).

Méthodologie :

Il s'est agi d'une étude rétrospective et descriptive portant sur les résultats des examens radiographiques abandonnés par les patients du 01 janvier 2019 au 31 décembre 2019 dans le service de radiologie et d'imagerie médicale du CHU-SO de Lomé (Togo).

Résultats :

Au total 18020 examens radiographiques standards ont été réalisés dont 222 avaient répondu à nos critères d'inclusion. La tranche d'âge de 41 à 45 ans était la plus représentée avec 11,7%. Le sex ratio a été de 1,6. Les services du CHU-SO étaient les principaux demandeurs avec 96%, l'urgence chirurgicale (16 %) était le principal service demandeur des examens. Les internes des hôpitaux (49,5%) étaient les principaux prescripteurs. Le traumatisme et le bilan préopératoire ont été les principales indications. Le thorax (66,8 %) était la région la plus représentée, les lésions étaient dominées par la cardiomégalie, la pneumopathie, la pleurésie. Les résultats des examens radiographiques abandonnés étaient normaux dans 51,5% des cas.

Conclusion :

La radiographie standard est d'un apport capital dans la prise en charge, le suivi et le traitement de certaines pathologies. Mais la pertinence dans les demandes d'examen radiographiques s'avère nécessaire pour éviter aux patients des irradiations et des dépenses inutiles.

Mots clés : radiographie standard, résultats, abandonnés, pertinence, Lomé.

CO127 : PANORAMA DES EXAMENS RADIOLOGIQUES DE GARDE : CAS DU SERVICE DE RADIOLOGIE ET IMAGERIE MEDICALE AU CHU SYLVANUS OLYMPIO DE LOME (TOGO)

KOUZOU A.S1, AHONYI K1, ONDO MEBALEH DONG JA1, GBANDE P2, BARAKI NAON V1, TCHAOU2, N'TIMON3, AGODA-KOUSSEMA LK1,2, ADJENOU V4.

- 1- Service de Radiologie, Centre Hospitalier Universitaire Sylvanus Olympio (Lomé, TOGO)



2- Service de Radiologie, Centre Hospitalier Régional de SOKODE (Sokodé, TOGO)

3- Service de Radiologie, Centre Hospitalier Universitaire Kara (Kara, TOGO)

4- Service de Radiologie, Centre Hospitalier Universitaire Campus (Lomé, TOGO)

*Auteur correspondant : AGODA-KOUSSEMA L.K, Médecin Radiologue, Chef service de Radiologie et Imagerie Médicale CHU SO

Email : Koussemaagoda@gmail.com

RESUME :

Objectif :

Ce travail avait pour but d'évaluer l'activité radiologique médicale de garde dans le service d'imagerie médicale du Centre Hospitalier Universitaire au Sylvanus Olympio.

Méthode d'étude :

Il s'est agi d'une étude prospective, transversale et descriptive portant sur les examens radiographiques standards et échographiques des patients reçus à la garde dans le service de radiologie et imagerie médicale durant 6 mois (16 avril au 16 octobre 2020) portant sur 290 radiographies standards et 50 examens échographique, colligées au centre hospitalier universitaire Sylvanus Olympio de Lomé.

Résultats :

Au total 9144 examens radiologiques ont été réalisés dont 7344 examens radiographiques standards et 1800 examens échographiques. La tranche d'âge de 30 à 40 ans était représentée avec 28,8%. La sex-ratio a été de 1,9. L'urgence chirurgicale (57,6%) était le service demandeur des examens. La radiographie du thorax (28,5%), les membres thoraciques (23,8%), les membres pelviens (40,4%), l'abdomen 30% à l'échographie ont été les examens réalisés. Les traumatismes (57,5%) et la toux (8,5%) étaient certaines indications de ces différents examens. Les fractures (22,7%), les pleurésies (35%) et appendicite aiguë (24,0%) ont été les pathologies certaines diagnostiquées.

Conclusion :

La radiologie conventionnelle demeure un outil de diagnostic indispensable et incontournable dans la prise en charge des patients. Les échographies réalisées durant toute la garde ont contribué à la prise en charge des patients.

Mots clés : panorama, examens radiologiques, garde, lésions, Lomé, Togo.